



การศึกษาสมบัติทางการไหล เสิงกล และทางความร้อนของอะคิโล่ในโตร-บิวตะไดอีน-สไตรีน เกรด  
ต่าง ๆ ที่มีผงไม้เป็นสารเสริมแรง

โดย  
นายวัฒนา เทพปินดา

วิทยานิพนธ์นี้เป็นส่วนหนึ่งของการศึกษาตามหลักสูตรปริญญาวิศวกรรมศาสตรมหาบัณฑิต  
สาขาวิชาวิทยาการและวิศวกรรมพอลิเมอร์  
ภาควิชาวิทยาการและวิศวกรรมวัสดุ  
บัณฑิตวิทยาลัย มหาวิทยาลัยศิลปากร  
ปีการศึกษา 2552  
ลิขสิทธิ์ของบัณฑิตวิทยาลัย มหาวิทยาลัยศิลปากร

การศึกษาสมบัติทางการไฟล เซิงกล และทางความร้อนของอะคิโลในไตร-บิวตําไดอิน-สไตรีน เกรด  
ต่าง ๆ ที่มีผงไม้เป็นสารเสริมแรง

โดย  
นายวัฒนา เพพปินดา

วิทยานิพนธ์นี้เป็นส่วนหนึ่งของการศึกษาตามหลักสูตรปริญญาวิศวกรรมศาสตรมหาบัณฑิต  
สาขาวิชาวิทยาการและวิศวกรรมพลังงานร  
ภาควิชาวิทยาการและวิศวกรรมวัสดุ  
บัณฑิตวิทยาลัย มหาวิทยาลัยศิลปากร  
ปีการศึกษา 2552  
ลิขสิทธิ์ของบัณฑิตวิทยาลัย มหาวิทยาลัยศิลปากร

**STUDY OF RHEOLOGICAL , MECHANICAL AND THERMAL PROPERTIES OF  
VARIOUS GRADES OF ABS REINFORCED WITH WOOD SAWDUST**

**By**

**Wattana Teppinta**

**A Thesis Submitted in Partial Fulfillment of the Requirements for the Degree  
MASTER OF ENGINEERING  
Department of Materials Science and Engineering  
Graduate School  
SILPAKORN UNIVERSITY  
2009**

บัณฑิตวิทยาลัย มหาวิทยาลัยศิลปากร อนุมัติให้วิทยานิพนธ์เรื่อง “การศึกษาสมบัติทางการ  
ไฟล เซิงกล และทางความร้อนของอะคิโลในไตร-บิวตะไดอิน-สไตรีน เกรด ต่าง ๆ ที่มีผลไม้เป็นสาร  
เสริมแรง” เสนอโดย นายวัฒนา เทพปินดา เป็นส่วนหนึ่งของการศึกษาตามหลักสูตรปริญญาวิศวกรรม  
ศาสตรมหาบัณฑิต สาขาวิชาชีววิทยาการและวิศวกรรมพอลิเมอร์

.....  
(รองศาสตราจารย์ ดร.ศิริชัย ชินะตังกุร)

คณบดีบัณฑิตวิทยาลัย  
วันที่.....เดือน..... พ.ศ.....

อาจารย์ที่ปรึกษาวิทยานิพนธ์

1. อาจารย์ ดร.พูนทรัพย์ ตรีกพนาถกุล
2. ศาสตราจารย์ ดร.ณรงค์ฤทธิ์ สมบัติสมภพ

คณะกรรมการตรวจสอบวิทยานิพนธ์

..... ประธานกรรมการ  
(อาจารย์ ดร.นิติ ยงวนิชย์)

...../...../.....

..... กรรมการ  
(อาจารย์ ดร.สมเจตน์ พัชรพันธ์ )  
...../...../.....

..... กรรมการ  
(ผู้ช่วยศาสตราจารย์ ดร.จันทร์ฉาย ทองปืน)  
...../...../.....

..... กรรมการ  
(อาจารย์ ดร.พูนทรัพย์ ตรีกพนาถกุล)  
...../...../.....

..... กรรมการ  
(ศาสตราจารย์ ดร.ณรงค์ฤทธิ์ สมบัติสมภพ)  
...../...../.....

50402236 : สาขาวิชาวิทยาการและวิศวกรรมพอลิเมอร์

คำสำคัญ : อะคิโลไนไตร-บิวตะไดอีน-สไตรีน/คอมโพสิต/ปีเลี่ยม

วัตถุนา เทพปินดา : การศึกษาสมบัติทางการไฟล เชิงกล และทางความร้อนของอะคิโลไนไตร-บิวตะไดอีน-สไตรีน เกรด ต่าง ๆ ที่มีผงไม้เป็นสารเสริมแรง. อาจารย์ที่ปรึกษาวิทยานิพนธ์ : อ.ดร.พูนทรัพย์ ตรีภพนาถกุล และ ศ.ดร.ณรงค์ฤทธิ์ สมบัติสมภพ. 111 หน้า.

งานวิจัยนี้ทำการศึกษาสมบัติของวัสดุคอมโพสิตของผงไม้กับเอบีโอส ได้แก่ สมบัติการไฟล สมบัติทางความร้อน สมบัติเชิงกล และ สมบัติอสัมฐาน โดยใช้สารคู่ควบไชเดน ชนิด N-2-(aminoethyl)-3-(aminopropyl)trimethoxysilane ปริมาณร้อยละ 0.5 ของน้ำหนักผงไม้ เพื่อเพิ่มความเข้ากัน ได้ของผงไม้กับเอบีโอส โดยจะศึกษาที่การเติมผงไม้ในปริมาณร้อยละ 9.1 และ 33.3 และทำการทดสอบด้วยเครื่องอัตโนมัติแบบเกลียวหนอนคู่ จากนั้นนำไปขึ้นรูปเป็นชิ้นงานทดสอบด้วยเครื่องนีด

จากการศึกษาพบว่าอะคิโลไนไตรจะมีอิทธิพลต่อสมบัติการไฟลของวัสดุนั้นคือจะทำให้ความหนืดของพลาสติกเอบีโอสและคอมโพสิตของผงไม้กับเอบีโอสลดลงเหลือมีค่าสูง และการที่มีปริมาณบิวตะไดอีนน้อยจะทำให้ความหนืดของพอลิเมอร์ลดลงเหลือลดลงอย่างรวดเร็วตามอัตราการเสื่อมที่เพิ่มขึ้นซึ่งแสดงให้เห็นจากค่าครรชนีกำลัง และในส่วนของการศึกษาการบวมตัวที่หัวขึ้นรูป แม้ว่าบิวตะไดอีนจะเป็นเฟสที่ทำให้เกิดการบวมตัวที่มาก แต่กลับพบว่าอิทธิพลของน้ำหนักไม้เล็กน้อยจะมีผลมากกว่าแม้ว่าจะเป็นเอบีโอสที่มีปริมาณยางน้อยที่สุดก็ตาม

การศึกษาการสลายตัวเนื่องจากความร้อน พบรากล ไกการสลายตัวของวัสดุ คอมโพสิตของผงไม้กับเอบีโอสทุกเกรดประกอบด้วยสองขั้นและยังพบว่าอุณหภูมิการสลายตัวของเอบีโอสและวัสดุคอมโพสิตทุกเกรดมีค่าไม่แตกต่างกันเท่าเดียวกับกรณีของอุณหภูมิการเปลี่ยนสถานะคล้ายเก็บจากการทดสอบด้วยเทคนิค DMA

ในกรณีของสมบัติเชิงกล อะคิโลไนไตรยังมีส่วนสำคัญที่จะเข้าทำปฏิกิริยากับสารคู่ควบทำให้เกิดการเข้ากัน ได้ดีระหว่างเฟสพลาสติกกับผงไม้ ทำให้วัสดุคอมโพสิตที่ผลิตจากเอบีโอสที่มีอะคิโลไนไตรมาก มีความแข็งแรงและมอดุลลสูง สำหรับยางบิวตะไดอีนจะเป็นส่วนที่สำคัญในการรับแรงกระแทกของเอบีโอสแต่ในกรณีของคอมโพสิตพบว่าอิทธิพลของปริมาณยางมีผลน้อยลงตามปริมาณผงไม้ที่เพิ่มขึ้น

---

ภาควิชาวิทยาการและวิศวกรรมวัสดุ บัณฑิตวิทยาลัย มหาวิทยาลัยศิลปากร ปีการศึกษา 2552  
ลายมือชื่อนักศึกษา.....

ลายมือชื่ออาจารย์ที่ปรึกษาวิทยานิพนธ์ 1 ..... 2 .....

50402236 : MAJOR : POLYMER SCIENCE AND ENGINEERING

KEY WORDS : COMPOSITES/SAWDUST/ABS

WATTANA TEPPINTA : STUDY OF RHEOLOGICAL , MECHANICAL AND THERMAL PROPERTIES OF VARIOUS GRADES OF ABS REINFORCED WITH WOOD SAWDUST. THESIS ADVISORS : POONSUB THREEPOPNATKUL, Ph.D., AND PROF. NARONGRIT SOMBATSOMPOP, Ph.D. 111 pp.

The rheological, thermal, mechanical, and morphological properties of Acrylonitrile-Butadiene-Styrene copolymer (ABS)/ wood sawdust composites with different co-monomer contents in ABS were investigated. Three grades of commercial ABS resin (High flow; HF-ABS, super high impact; SI-ABS, and medium impact; MI-ABS grades) were characterized using Nuclear Magnetic Resonance (H-NMR) and CHN elemental analyzer for determination of co-monomer content. Sawdust from Para rubber tree were treated with N-2-(aminoethyl)-3-(aminopropyl)trimethoxysilane as coupling agent to improve the interfacial adhesion in the composites formed by wood sawdust and ABS. The composites of wood sawdust and ABS were prepared by varying wood sawdust contents of 10 and 50 phr. Blends of wood sawdust filled ABS were compounded using twin-screw extruder and specimens formed by injection molding machine.

The NMR and CHN elemental analyzer results indicated that SI-ABS contains highest amount of butadiene but least amount of styrene than MI-ABS and HF-ABS, respectively.

For rheological properties, shear thinning behavior was found for all of composites in the same shear rate ranges for testing that were investigated. At the low shear rate, the composites which contain higher acrylonitrile content, showed higher viscosity. At high shear rate, the viscosity of each co-monomer dependent composites tends to come close to each other on the curves. Similar behavior on the plot was also found in the high sawdust content composites. In this study, Carreau model was used for curve fitting and those parameters were also determined. Die swell ratio of the composites tended to increase at the initial ranges of shear rate of  $10\text{-}500 \text{ s}^{-1}$ , and then the swelling ratio value decreased dramatically once the shear rate were further applied. The molecular weight has more effects than comonomer content on the die swell behavior i.e., at the same molecular weight, composites with higher butadiene content show higher swelling ratio.

For thermal properties, the results from thermalgravimetric analysis (TGA) showed that thermal stability of the composites is lower than that of neat ABS resin and thermal stability decreased with increasing wood sawdust content. TGA was performed on the wood sawdust/ ABS composites degraded in two-stages. Firstly, it occurred at the temperature of  $250\text{-}350^\circ\text{C}$  which represented to the thermal degradation of sawdust. The second stage took place between  $350$  and  $470^\circ\text{C}$  assigned to the degradation of ABS main chain. All composites show the same decomposition temperature ranges with their neat. Moreover, glass transition temperature characterized by dynamic mechanical analysis (DMA) technique of neat ABS and wood sawdust/ ABS composites has no affected by co-monomer content.

The mechanical properties namely tensile strength, tensile modulus, flexural strength, flexural modulus, and impact strength were investigated. Tensile strength, tensile modulus, flexural strength and flexural modulus of HF-ABS/wood sawdust composites were lower than MI-ABS and SI-ABS composites, respectively. They can be explained by bonding between acrylonitrile monomer and silane coupling agent cause of improving in strength and modulus. Therefore, the acrylonitrile content in ABS/wood composites plays an important role in both tensile and flexural properties. However, the impact strength of SI-ABS/wood sawdust composites was higher than MI-ABS and HF-ABS/wood sawdust composites, respectively. This could be explained with the influence of butadiene content.

## กิตติกรรมประกาศ

งานวิจัยนี้สำเร็จลุล่วงไปด้วยดี โดยได้รับความรู้และคำแนะนำเพื่อเป็นแนวทางในงานวิจัยจากอาจารย์ที่ปรึกษาวิทยานิพนธ์ ดร.พูนทรัพย์ ตรีภพนาถกุล และ ศ.ดร.ณรงค์ฤทธิ์ สมบัติ สมภพ รวมทั้งผู้ช่วยศาสตราจารย์ ดร.จันทร์ฉาย ทองปืน ตลอดจนคณาจารย์และเจ้าหน้าที่ทุกท่าน ในภาควิชาวิทยาการและวิศวกรรมวัสดุที่ให้คำปรึกษาและอำนวยความสะดวกในการทำวิจัยครั้งนี้

ขอขอบคุณภาควิชาวิทยาการและวิศวกรรมวัสดุ คณะวิศวกรรมศาสตร์และเทคโนโลยี อุตสาหกรรม มหาวิทยาลัยศิลปากรและศูนย์ความเป็นเลิศแห่งชาติด้านปีโตรเคมี ปีโตรเคมีและวัสดุขั้นสูงสำหรับเงินทุนและเครื่องมือในการทำวิจัย ขอขอบคุณเพื่อนๆทุกคนรวมถึงกลุ่มสมาชิก วิจัย P-PROF ทุกท่านที่ให้ความช่วยเหลือทั้งกำลังกายและกำลังใจในการทำงาน สุดท้ายนี้ ขอขอบพระคุณ คุณพ่อ คุณแม่ และครอบครัวสำหรับกำลังใจ คำแนะนำและความช่วยเหลือในด้านต่างๆด้วยดีเสมอมา

ด้วยความกรุณาของทุกท่านที่กล่าวมาข้างต้น จึงทำให้งานวิจัยนี้สำเร็จลุล่วงไปด้วยดี ผู้วิจัยจึงขอขอบพระคุณเป็นอย่างสูงมา ณ โอกาสนี้

## สารบัญ

	หน้า
บทคัดย่อภาษาไทย .....	๑
บทคัดย่อภาษาอังกฤษ .....	๒
กิตติกรรมประกาศ.....	๓
สารบัญตาราง .....	๔
สารบัญรูปภาพ .....	๕
<b>บทที่</b>	
<b>1 บทนำ.....</b>	<b>1</b>
ความเป็นมาและความสำคัญของปัญหา .....	1
วัตถุประสงค์ของการวิจัย .....	2
ขอบเขตและวิธีดำเนินการวิจัยโดยสังเขป .....	2
ประโยชน์ที่จะได้รับ.....	2
<b>2 เอกสารที่เกี่ยวข้องกับงานวิจัย .....</b>	<b>3</b>
อะคริโลไนไตรล์-บิวตะไดอีน-สไตรีนโคลพอลิเมอร์ .....	3
ความเป็นมาของอะคริโลไนไตรล์-บิวตะไดอีน-สไตรีนโคลพอลิเมอร์ .....	3
กำจัดความและโครงสร้างทางเคมีของพลาสติกเอบีโอดีเอส.....	4
การเตรียมและสังเคราะห์พลาสติกเอบีโอดีเอส .....	5
สมบัติโดยทั่วไปของพลาสติกเอบีโอดีเอส .....	7
เส้นใยธรรมชาติ.....	12
องค์ประกอบและโครงสร้างทางเคมีของเส้นใยธรรมชาติ .....	12
สมบัติโดยทั่วไปของเส้นใยธรรมชาติ .....	14
การปรับปรุงพื้นผิวของเส้นใยธรรมชาติ .....	16
การปรับปรุงพื้นผิวด้วยกระบวนการกราฟแท่นที่ด้วยวงแหวนเบนซีน.....	16
การปรับปรุงพื้นผิวของเส้นใยด้วยกระบวนการกราฟแท่นเทอเรฟิลีเซน .....	17
การปรับปรุงพื้นผิวของเส้นใยด้วยสารคุกคามไชเลน .....	18
วัสดุคอมโพสิต.....	21
ส่วนเสริมแรง .....	21
ส่วนเมทริกซ์.....	22

บทที่		หน้า
	ปัจจัยที่ส่งผลต่อสมบัติของวัสดุเชิงประกอบ .....	23
	ทฤษฎีการยึดเกาะระหว่างเฟสของสัสดุเชิงประกอบ.....	22
	งานวิจัยที่เกี่ยวข้อง .....	25
3	วิธีการทดลอง .....	28
	อุปกรณ์และเครื่องมือที่ใช้ในการทดลอง .....	28
	สารเคมีที่ใช้ในการทดลอง .....	29
	การพิสูจน์เอกลักษณ์ของพลาสติกเอบีโอด .....	29
	การวิเคราะห์หาปริมาณ โนโนเมอร์ในพลาสติกเอบีโอด .....	29
	การวิเคราะห์หนานัก โนเลกูลด้วย Ubbelohde Viscometer .....	30
	การปรับปรุงพื้นผิวด้วยสารคุ่มควบไชเลน .....	31
	การทดสอบไม้ที่ถูกปรับปรุงพื้นผิวแล้วกับเม็ดพลาสติกเอบีโอด .....	32
	การขึ้นรูปขึ้นงานทดสอบ .....	32
	การนิดขึ้นรูป .....	32
	การยัดขึ้นรูป.....	33
	การทดสอบและตรวจสอบสมบัติของวัสดุคงไม้กับเอบีโอด .....	33
	การศึกษาสมบัติการไหลของวัสดุคอมโพลิทพงไม้กับเอบีโอด.....	33
	การศึกษาสมบัติทางความร้อนของวัสดุคอมโพลิทพงไม้กับเอบีโอด.....	36
	อุณหภูมิการถลายตัวของวัสดุคอมโพลิทพงไม้กับเอบีโอด.....	36
	อุณหภูมิการเปลี่ยนสถานะคล้ายแก้วของวัสดุคอมโพลิทพงไม้กับ เอบีโอด .....	36
	การศึกษาสมบัติเชิงกลของวัสดุคอมโพลิทพงไม้กับเอบีโอด .....	37
	สมบัติความต้านแรงดึง.....	37
	สมบัติความต้านทานแรงกระแทก.....	37
	สมบัติความต้านทานแรงดึงดัน.....	38
	การศึกษาสัณฐานวิทยาของวัสดุคอมโพลิทพงไม้กับเอบีโอด .....	38
4	ผลการทดลองและวิจารณ์ผลการทดลอง.....	39
	การพิสูจน์เอกลักษณ์ของพลาสติกเอบีโอด .....	39
	การวิเคราะห์หาปริมาณ โนโนเมอร์ในเอบีโอด .....	39

บทที่	หน้า
การศึกษาสมบัติการไหลของวัสดุคอมโพสิตพงไม้กับเอ็นบีเอส.....	42
อิทธิพลของโโคโน่โนนเมอร์ อุณหภูมิ และอัตราการเยื่องต่อความหนืดของ วัสดุคอมโพสิตพงไม้กับเอ็นบีเอส .....	42
สมการของการไหล .....	45
Master curve.....	48
การศึกษาระบวนตัวที่หัวขึ้นรูปของวัสดุคอมโพสิตพงไม้กับเอ็นบีเอส.....	49
การศึกษาสมบัติทางความร้อนของวัสดุคอมโพสิตพงไม้กับเอ็นบีเอส.....	51
อุณหภูมิการสลายตัวของวัสดุคอมโพสิตพงไม้กับเอ็นบีเอส .....	51
อุณหภูมิการเปลี่ยนสถานะคล้ายแก้วของวัสดุคอมโพสิตพงไม้กับเอ็นบีเอส..	53
การศึกษาสมบัติเชิงกลของวัสดุคอมโพสิตพงไม้กับเอ็นบีเอส .....	56
อิทธิพลของปริมาณไขเลนที่มีต่อสมบัติเชิงกลของวัสดุเชิงประกอบไม้ กับพลาสติกเอ็นบีเอส .....	56
อิทธิพลของปริมาณโโคโน่โนนเมอร์ในเอ็นบีเอสต่อสมบัติเชิงกลของวัสดุคอม- โพสิตพงไม้กับเอ็นบีเอส .....	59
5 สรุปผลการทดลอง .....	69
บรรณานุกรม .....	71
ภาคผนวก .....	76
ภาคผนวก ก องค์ประกอบและสมบัติของพลาสติกเอ็นบีเอส .....	77
ภาคผนวก ข สมบัติการไหล .....	80
ภาคผนวก ค สมบัติทางความร้อน .....	104
ภาคผนวก ง สมบัติเชิงกล .....	107
ประวัติผู้วิจัย .....	111

## สารบัญตาราง

ตารางที่		หน้า
1	สมบัติโดยทั่วไปของพลาสติกเอปีโอด .....	8
2	สมบัติของเรซินเมทริกซ์ในพลาสติกเอปีโอด .....	9
3	สมบัติทางกลของเส้นใยธรรมชาติเมื่อเทียบกับเส้นใยเสริมแรงทั่วไป .....	15
4	สภาพในการนิดขึ้นรูป .....	33
5	สัดส่วน (molar) ระหว่างสไตรีนต่อบิวตะไดอีนของเอปีโอดที่ใช้ .....	41
6	แสดงผลการวิเคราะห์หาธาตุองค์ประกอบในเม็ดพลาสติกเอปีโอดด้วย Elemental analyzer .....	41
7	แสดงปริมาณ โนโนเมอร์ในพลาสติกเอปีโอดแต่ละเกรด .....	42
8	แสดงค่า $R^2$ ระหว่างข้อมูลที่ได้จากการทดลองจริงกับข้อมูลที่ได้จากการสมการ การไฟล .....	46
9	แสดงค่าคงที่ของ Carreau .....	47
10	แสดงค่าอุณหภูมิการสลายตัวของพลาสติกเอปีโอดและวัสดุคอมโพสิต .....	53
11	อุณหภูมิการเปลี่ยนสถานะคล้ายแก้วของเอปีโอดและคอมโพสิต .....	55
12	แสดงการเปรียบเทียบสมบัติเชิงกลระหว่างเอปีโอดและไม้ยางพารา .....	60
13	แสดงค่ามอดุลัสแรงดึง  modulus โค้งงอ ความหนาต่อแรงดึงสูงสุดและความหนา ต่อการโค้งงอสูงสุดของวัสดุคอมโพสิตผังไม้กับเอปีโอดที่ปริมาณการเติม ผงไม้ 10 phr .....	61
14	แสดงค่ามอดุลัสแรงดึง  modulus โค้งงอ ความหนาต่อแรงดึงสูงสุดและความหนา ต่อการโค้งงอสูงสุดของวัสดุคอมโพสิตผังไม้กับเอปีโอดที่ปริมาณการเติม ผงไม้ 50 phr .....	61
15	แสดงค่าความแตกต่างของสมบัติเชิงกลที่ได้จากการทดลองเทียบกับค่าที่ได้จาก กฏการผสม ของวัสดุคอมโพสิตของผงไม้กับ HF-ABS และวัสดุคอมโพสิตของผงไม้กับ SI-ABS .....	62
16	แสดงเปอร์เซ็นต์ความแตกต่างของสมบัติเชิงกลที่ได้จากการทดลองเทียบกับค่า ที่ได้จากการผสม ของวัสดุคอมโพสิตของผงไม้กับ MI-ABS และวัสดุ คอมโพสิตของผงไม้กับ SI-ABS .....	64

ตารางที่		หน้า
17	แสดงสมบัติของพลาสติกเอปีโอดที่ใช้ในงานวิจัย จากบริษัท ไออาร์พีซี จำกัด มาชาน .....	78
18	แสดงข้อมูลการ ไอลและการบวมตัวของ HF-ABS ที่อุณหภูมิต่างๆ .....	81
19	แสดงข้อมูลการ ไอลและการบวมตัวของ MI-ABS ที่อุณหภูมิต่างๆ .....	82
20	แสดงข้อมูลการ ไอลและการบวมตัวของ SI-ABS ที่อุณหภูมิต่างๆ .....	83
21	แสดงข้อมูลการ ไอลและการบวมตัวของวัสดุคอมโพลิทของผง ไม่กับ HF-ABS ที่การเติมผง ไม่ 10 phr ที่อุณหภูมิต่างๆ.....	84
22	แสดงข้อมูลการ ไอลและการบวมตัวของวัสดุคอมโพลิทของผง ไม่กับ MI-ABS ที่การเติมผง ไม่ 10 phr ที่อุณหภูมิต่างๆ.....	85
23	แสดงข้อมูลการ ไอลและการบวมตัวของวัสดุคอมโพลิทของผง ไม่กับ SI-ABS ที่การเติมผง ไม่ 10 phr ที่อุณหภูมิต่างๆ.....	86
24	แสดงข้อมูลการ ไอลและการบวมตัวของวัสดุคอมโพลิทของผง ไม่กับ HF-ABS ที่การเติมผง ไม่ 50 phr ที่อุณหภูมิต่างๆ.....	87
25	แสดงข้อมูลการ ไอลและการบวมตัวของวัสดุคอมโพลิทของผง ไม่กับ MI-ABS ที่การเติมผง ไม่ 50 phr ที่อุณหภูมิต่างๆ.....	88
26	แสดงข้อมูลการ ไอลและการบวมตัวของวัสดุคอมโพลิทของผง ไม่กับ SI-ABS ที่การเติมผง ไม่ 50 phr ที่อุณหภูมิต่างๆ.....	89
27	ค่าคงที่จากสมการการ ไอลแบบต่างๆของ HF-ABS ที่อุณหภูมิ 180 องศาเซลเซียส .....	90
28	ค่าคงที่จากสมการการ ไอลแบบต่างๆของ MI-ABS ที่อุณหภูมิ 180 องศาเซลเซียส .....	90
29	ค่าคงที่จากสมการการ ไอลแบบต่างๆของ SI-ABS ที่อุณหภูมิ 180 องศาเซลเซียส .....	90
30	ค่าคงที่จากสมการการ ไอลแบบต่างๆของ HF-ABS ที่อุณหภูมิ 190 องศาเซลเซียส .....	91
31	ค่าคงที่จากสมการการ ไอลแบบต่างๆของ MI-ABS ที่อุณหภูมิ 190 องศาเซลเซียส .....	91



ตารางที่		หน้า
46	ค่าคงที่จากการการ ไอลແບນต่างๆของวัสดุคอมโพสิตพง ไม้กับ MI-ABS ที่การเติมพง ไม้ 50 phr อุณหภูมิ 180 องศาเซลเซียส .....	96
47	ค่าคงที่จากการการ ไอลແບນต่างๆของวัสดุคอมโพสิตพง ไม้กับ SI-ABS ที่การเติมพง ไม้ 50 phr อุณหภูมิ 180 องศาเซลเซียส .....	96
48	ค่าคงที่จากการการ ไอลແບນต่างๆของวัสดุคอมโพสิตพง ไม้กับ HF-ABS ที่การเติมพง ไม้ 50 phr อุณหภูมิ 190 องศาเซลเซียส .....	96
49	ค่าคงที่จากการการ ไอลແບນต่างๆของวัสดุคอมโพสิตพง ไม้กับ MI-ABS ที่การเติมพง ไม้ 50 phr อุณหภูมิ 190 องศาเซลเซียส .....	97
50	ค่าคงที่จากการการ ไอลແບນต่างๆของวัสดุคอมโพสิตพง ไม้กับ SI-ABS ที่การเติมพง ไม้ 50 phr อุณหภูมิ 190 องศาเซลเซียส .....	97
51	ค่าคงที่จากการการ ไอลແບນต่างๆของวัสดุคอมโพสิตพง ไม้กับ HF-ABS ที่การเติมพง ไม้ 50 phr อุณหภูมิ 200 องศาเซลเซียส .....	97
52	ค่าคงที่จากการการ ไอลແບນต่างๆของวัสดุคอมโพสิตพง ไม้กับ MI-ABS ที่การเติมพง ไม้ 50 phr อุณหภูมิ 200 องศาเซลเซียส .....	98
53	ค่าคงที่จากการการ ไอลແບນต่างๆของวัสดุคอมโพสิตพง ไม้กับ SI-ABS ที่การเติมพง ไม้ 50 phr อุณหภูมิ 200 องศาเซลเซียส .....	98
54	แสดงข้อมูลสมบัติเชิงกลของพลาสติกเอบีเอสบริสุทธิ์ .....	108
55	แสดงข้อมูลสมบัติเชิงกลของคอมโพสิตที่การใช้สารคุ่มควร 0.5% และพง ไม้ 9.1%.....	109
56	แสดงข้อมูลสมบัติเชิงกลของคอมโพสิตที่การใช้สารคุ่มควร 0.5% และพง ไม้ 33.3%.....	110

## สารบัญภาพ

ภาพที่		หน้า
1	แสดงกระบวนการผลิตของ BASF .....	3
2	แสดงขั้นตอนการผลิตเมทิลสైตرين ( $\alpha$ -methylstyrene) .....	4
3	โครงสร้างทางเคมีของพลาสติกเอบีอีอีส .....	5
4	กระบวนการของยางบิวตะไคอินใน สైตرين-อะคริโลインไตรล์โคโพลิเมอร์ เมทริกซ์ .....	5
5	แสดงกระบวนการผลิตพลาสติกเอบีอีอีส .....	6
6	แสดงสัมฐานวิทยาของเอบีอีอีสที่ผลิตจากการบวนที่ต่างกัน.....	6
7	แสดงการกราฟท์ SAN ลงบนบิวตะไคอิน.....	7
8	ความสัมพันธ์ระหว่างปริมาณของยางในพลาสติกเอบีอีอีสที่มีผลต่อสมบัติ ความต้านแรงกระแทก.....	10
9	ความสัมพันธ์ระหว่างปริมาณของยางในพลาสติกเอบีอีอีสที่มีผลต่อสมบัติ ความต้านแรงดึง .....	10
10	ปริมาณอะคริโลインไตรล์ที่เหมาะสมระหว่างในเฟสยางกับ SAN แมททริกซ์.....	11
11	แสดงภาพจาก TEM ของพลาสติกเอบีอีอีส .....	11
12	โครงสร้างทางเคมีของเซลลูโลส .....	13
13	โครงสร้างทางเคมีของลิกนิน.....	14
14	แสดงการปรับปรุงพื้นผิวของผงไม้ด้วยกระบวนการ Benzylation .....	16
15	แสดงภาพถ่ายจาก SEM ของวัสดุคอมโพสิต ระหว่างพอลิพอลีนกับผงไม้ ที่ผ่านการปรับปรุงพื้นผิวด้วยกระบวนการ Benzylation .....	17
16	แสดงการปรับปรุงพื้นผิวของผงไม้ด้วยกระบวนการ Esterification.....	17
17	แสดงโครงสร้างของกรดไขมัน .....	18
18	ปฏิกิริยาไฮโดรซิสของไซเลน .....	19
19	ปฏิกิริยาความแน่นของไซเลน .....	19
20	ขั้นตอนการปรับปรุงพื้นผิวเส้นใยชาร์มชาติด้วยพอลิไซเลน .....	20
21	โนเดลการแพร่ของพอลิเมอร์บนพื้นผิวเส้นใยชาร์มชาติที่ปรับปรุงด้วยไซเลน .	21
22	การจัดเรียงตัวที่ต่างกันของส่วนเสริมแรง.....	22
23	กลไกการยึดเกาะของพันธะที่เกิดขึ้นระหว่างเฟส.....	24

ภาพที่	หน้า
24 แสดงกลไกการบีดเกาของสารคุณภาพ KBM 603 และ 503 .....	25
25 เครื่อง CHNs/O Analyzer .....	30
26 เครื่องวัดความหนืด Ubbelohde viscometer .....	30
27 แสดงลักษณะการผลตกราฟเพื่อหาค่า Intrinsic viscosity จากสมการของ Huggins.....	31
28 แสดงชิ้นงานจากการฉีด .....	33
29 แสดงเครื่องทดสอบการไหลแบบ Capillary die rheometer.....	34
30 แสดงเครื่องทดสอบ Thermal gravimetric analyzer .....	36
31 เครื่อง Dynamic mechanical analyzer.....	37
32 เครื่องทดสอบความทนทานต่อแรงกระแทก .....	38
33 H-NMR spectra ของพลาสติกเอบีอีส เกรด High Flow (HF-ABS).....	40
34 H-NMR spectra ของพลาสติกเอบีอีส เกรด Medium impact (MI-ABS).....	40
35 H-NMR spectra ของพลาสติกเอบีอีส เกรด Super High Impact (SI-ABS) .....	40
36 แสดงความสัมพันธ์ระหว่างอุณหภูมิกับความหนืดของพลาสติกเอบีอีส บริสุทธิ์เกรดต่างๆและวัสดุคอมโพสิตที่อัตราเครียดเที่ยง 10 s <sup>-1</sup> .....	43
37 แสดงผลของอัตราการเนื้อนต่อกำลังของพลาสติกเอบีอีสและคอมโพลิท ที่อุณหภูมิ 190 องศาเซลเซียส .....	44
38 แสดงการใช้สมการการไหลในการ Fit กับข้อมูลจากการทดลองของวัสดุ คอมโพลิทผงไม้กับเอบีอีสเกรด HF ที่การเติมผงไม้ 50 phr.....	45
39 แสดง Master curve ของวัสดุคอมโพลิทผงไม้กับเอบีอีสเกรด HF ที่การเติมผง ไม้ 10 phr ที่อุณหภูมิอ้างอิง 190 องศาเซลเซียส .....	48
40 แสดงความสัมพันธ์ระหว่างอัตราเครียดเที่ยงกับการบวนตัวที่หัวเข็นรูป ที่อุณหภูมิ 190 องศาเซลเซียส .....	49
41 แสดงการเกิดรอยฟันฉลามที่ของวัสดุคอมโพลิทของผงไม้กับเอบีอีสในการ ทดสอบสมบัติการไหลที่อัตราเครียดเที่ยงสูง .....	50
42 ผลของอุณหภูมิต่อการบวนตัวที่หัวเข็นรูปของเอบีอีสและวัสดุคอมโพลิท ที่อัตราการเที่ยง 200 s <sup>-1</sup> .....	50
43 แสดงการสูญเสียหนักเนื่องจากความร้อนของตัวอย่างเกรด HF .....	52

ภาพที่		หน้า
44	แสดงความสัมพันธ์ระหว่างค่า $\tan\delta$ กับอุณหภูมิของเอบีเอสบริสุทธิ์ .....	54
45	แสดงความสัมพันธ์ระหว่างค่า $\tan\delta$ กับอุณหภูมิของวัสดุคอมโพสิต ของไนกันเอบีเอส.....	54
46	แสดงผลการการวิเคราะห์วัสดุคอมโพสิตของไนกัน MI-ABS ด้วยเทคนิค FTIR .....	55
47	แสดงผลของปริมาณสารคู่ควบต่อค่าความต้านการโค้งงอสูงสุดของ วัสดุคอมโพสิต .....	56
48	แสดงผลของปริมาณสารคู่ควบต่อค่ามอดุลัสโค้งของวัสดุคอมโพสิต .....	57
49	แสดงผลของปริมาณสารคู่ควบต่อ ค่าความทนต่อแรงดึงสูงสุด และ ค่ามอดุลัสแรงดึง .....	57
50	แสดงผลของปริมาณสารคู่ควบต่อเปอร์เซ็นต์ยึดตัว ณ จุดขาด และ ความต้านแรงกระแทกของวัสดุคอมโพสิต .....	58
51	แสดงความต้านแรงดึงสูงสุดและมอดุลัสแรงดึงของพลาสติกเอบีเอสและ วัสดุคอมโพสิต .....	59
52	แสดงความทนการโค้งงอสูงสุดและมอดุลัสโค้งของพลาสติกเอบีเอสและ วัสดุคอมโพสิต .....	60
53	แสดงภาพถ่ายจากกล้องจุลทรรศน์อิเล็กตรอนแบบส่อง粒ด ของวัสดุคอม- โพสิตพงไนกันเอบีเอสเกรด HF-ABS ที่กำลังขยาย 500 เท่า .....	63
54	แสดงภาพถ่ายจากกล้องจุลทรรศน์อิเล็กตรอนแบบส่อง粒ด ของวัสดุคอม- โพสิตพงไนกันเอบีเอสเกรด SI-ABS ที่กำลังขยาย 500 เท่า .....	63
55	แสดงภาพถ่ายจากกล้องจุลทรรศน์อิเล็กตรอนแบบส่อง粒ด ของวัสดุคอมโพ- สิตพงไนกันเอบีเอสเกรด MI-ABS และ SI-ABS .....	64
56	แสดงเปอร์เซ็นต์ยึดตัว ณ จุดขาดของพลาสติกเอบีเอสบริสุทธิ์และวัสดุคอม- โพสิตพงไนกันเอบีเอส .....	65
57	แสดงความสัมพันธ์ระหว่างค่า Storage modulus กับอุณหภูมิของ เอบีเอสบริสุทธิ์ .....	66
58	แสดงความสัมพันธ์ระหว่างค่า Storage modulus กับอุณหภูมิของวัสดุ คอมโพสิตของไนกันเอบีเอส .....	67

ภาพที่		หน้า
59	แสดงความทนต่อแรงกระแทกของพลาสติกเอบีเอสบริสุทธิ์ .....	67
60	แสดงความทนต่อแรงกระแทกของวัสดุคอมโพสิต .....	68
61	แสดง Master curve ของเอบีเอสเกรด HF-ABS ที่อุณหภูมิอ้างอิง 190 องศาเซลเซียส .....	99
62	แสดง Master curve ของเอบีเอสเกรด MI-ABS ที่อุณหภูมิอ้างอิง 190 องศาเซลเซียส .....	99
63	แสดง Master curve ของเอบีเอสเกรด SI-ABS ที่อุณหภูมิอ้างอิง 190 องศาเซลเซียส .....	100
64	แสดง Master curve ของวัสดุคอมโพสิตผง ไม่กับเอบีเอสเกรด HF-ABS ที่การเติมผง ไม่ 10 phr และที่อุณหภูมิอ้างอิง 190 องศาเซลเซียส .....	100
65	แสดง Master curve ของวัสดุคอมโพสิตผง ไม่กับเอบีเอสเกรด MI-ABS ที่การเติมผง ไม่ 10 phr และที่อุณหภูมิอ้างอิง 190 องศาเซลเซียส .....	101
66	แสดง Master curve ของวัสดุคอมโพสิตผง ไม่กับเอบีเอสเกรด SI-ABS ที่การเติมผง ไม่ 10 phr และที่อุณหภูมิอ้างอิง 190 องศาเซลเซียส .....	101
67	แสดง Master curve ของวัสดุคอมโพสิตผง ไม่กับเอบีเอสเกรด HF-ABS ที่การเติมผง ไม่ 50 phr และที่อุณหภูมิอ้างอิง 190 องศาเซลเซียส .....	102
68	แสดง Master curve ของวัสดุคอมโพสิตผง ไม่กับเอบีเอสเกรด MI-ABS ที่การเติมผง ไม่ 50 phr และที่อุณหภูมิอ้างอิง 190 องศาเซลเซียส .....	102
69	แสดง Master curve ของวัสดุคอมโพสิตผง ไม่กับเอบีเอสเกรด SI-ABS ที่การเติมผง ไม่ 50 phr และที่อุณหภูมิอ้างอิง 190 องศาเซลเซียส .....	103
70	แสดงการสูญเสียน้ำหนักเนื่องจากความร้อนของตัวอย่างเกรด HF .....	105
71	แสดงการสูญเสียน้ำหนักเนื่องจากความร้อนของตัวอย่างเกรด MI.....	105
72	แสดงการสูญเสียน้ำหนักเนื่องจากความร้อนของตัวอย่างเกรด HF .....	106

Unit 1

ນາທຸກໍາ

## 1.1 ความเป็นมาและความสำคัญของปัลพา

นี่เลือยที่ได้มาจากไม้ยางพาราเป็นเศษวัสดุเหลือใช้ที่มีปริมาณมากในประเทศไทย และยังเป็นวัตถุคุณภาพที่ไม่ได้มีการนำไปใช้ประโยชน์อย่างสูงสุดเท่าที่ควร ซึ่งในปัจจุบันโรงงานอุตสาหกรรมประเภทไม้มีความต้องการที่น้ำขี้เลือยที่มีเป็นจำนวนมากมาใช้ประโยชน์อย่างน้อยก็เพื่อเป็นการสร้างรายได้จากเศษวัสดุเหลือใช้ออกทางหนึ่ง โดยวิธีการหนึ่งที่น้ำขี้เลือยมาใช้เพื่อประโยชน์ในการค้านั้นก็คือการนำมาเสริมแรงในพลาสติก ซึ่งนอกจาเป็นการเพิ่มมูลค่าให้กับขี้เลือยแล้ว ยังเป็นการปรับปรุงคุณสมบัติของพลาสติกให้ดีขึ้นเพื่อให้สามารถนำพลาสติกมาใช้ประโยชน์ในการวิศวกรรมมากขึ้น โดยทั่วไปพบว่าอุตสาหกรรมของวัสดุพลาสติกคอมโพสิตพสมพงไม่นั้นพลาสติกที่นิยมใช้กันมาก ได้แก่ โพลีอีทธิลีน โพลิพอลีลีน และ โพลีไวนิลคลอไรด์ พลาสติกแต่ละชนิดจะมีข้อดี และ ข้อเสียแตกต่างกันไป เช่น วัสดุคอมโพสิตโพลีอีทธิลีนพสมพงไม่ทนต่อความร้อนได้ดีกว่า และถูกกว่าวัสดุคอมโพสิตโพลีไวนิลคลอไรด์พสมพงไม่ แต่วัสดุคอมโพสิตโพลีไวนิลคลอไรด์พสมพงไม่มีสมบัติเชิงกลที่ดีกว่าวัสดุคอมโพสิตโพลีอีทธิลีนพสมพงไม่ [1-10] ดังนั้นในงานวิจัยนี้จึงสนใจที่ศึกษาการนำเอาพลาสติกที่มีสมบัติคลอบคลุมทั้งด้านความทนต่อความร้อนและสมบัติเชิงกลที่ดีอย่างเช่นพลาสติกเอบีเอสสามารถกับผงไม่ และทำการศึกษาสมบัติต่างๆ ของวัสดุคอมโพสิตเอบีเอสพสมพงไม่ พลาสติกเอบีเอสเป็นส่วนประกอบในเครื่องใช้ไฟฟ้าหลักหลายชนิดที่ใช้ในชีวิตประจำวัน เช่น คอมพิวเตอร์ตั้งโต๊ะ คอมพิวเตอร์โน๊ตบุ๊ค โทรศัพท์มือถือ โทรศัพท์ เป็นต้น เอบีเอสเป็นพลาสติกที่มีความสมดุลทั้งในเรื่องความแข็ง (Hardness) และความเหนียว (Toughness) ทำให้พลาสติกมีสมบัติทนแรงกระแทก (Impact resistance) ดี นอกจากนี้เอบีเอสยังมีสมบัติเด่นอีกหลายเรื่อง เช่น ทนต่อแรงเสียดสี (Abrasion) คงสภาพรูปร่างได้ดี (Dimension stability) ทนความร้อน ทนสารเคมี มีช่วงอุณหภูมิใช้งานกว้าง และสามารถขึ้นรูปเป็นผลิตภัณฑ์ได้หลายวิธี

เอบีเอสเป็นเทอร์โมพลาสติก (Thermoplastic) ที่ได้จากการทำปฏิกริยาการเกิดโพลิเมอร์ของโนโนเมอร์ 3 ชนิด คือ ส్టైเรน (Styrene) อะคริโลไนไตร (Acrylonitrile) และบิวตะไดอีน (Butadiene) ซึ่งโพลิเมอร์ที่ได้จากโนโนเมอร์ 3 ชนิดเรียกว่า เทอร์โพลิเมอร์ (Terpolymer) โนโนเมอร์แต่ละชนิดที่ใช้เป็นวัตถุคิบสังเคราะห์ ABS ขึ้นมาหนึ่น ล้วนมีผลต่อสมบัติของพลาสติกทั้งสิ้น

อะคริโลไน ไตรเม็ลต่อสมบัติการทนความร้อนและสารเคมี บิวตะ ไคอินมีผลต่อสมบัติความทันทานต่อแรงกระแทก (Impact strength) และสไตรีนมีผลทำให้พลาสติกมีพื้นผิวเป็นมันเงา ตัดแต่งวัสดุได้ง่าย สามารถขึ้นรูปได้ง่าย และช่วยลดต้นทุน เนื่องจากเอ็นบีเอสเป็นพลาสติกที่ได้จากการนำโนโนเมอร์ 3 ชนิดมาผลิต ดังนั้นผู้ผลิตเอ็นบีเอส จึงสามารถปรับเปลี่ยนสัดส่วนของโนโนเมอร์ทั้งสามชนิดเพื่อให้ได้สมบัติอย่างที่ต้องการ ซึ่งเอ็นบีเอสที่จำหน่ายในห้องทดลองประกอบด้วยอะคริโลไนไตรประมาณ 15-30 % บิวตะ ไคอิน ประมาณ 5-30% และสไตรีนประมาณ 45-75% ดังนั้นในงานวิจัยนี้ มีวัตถุประสงค์เพื่อศึกษาผลของสัดส่วนโนโนเมอร์ทั้งสามชนิดในพลาสติกเอ็นบีเอสต่อกระบวนการขึ้นรูปและสมบัติต่างๆ ได้แก่ สมบัติการไหล สมบัติเชิงกล สมบัติทางความร้อนและสมบัติอัลตราโซนิกของวัสดุคอมโพสิตอะคริโลไนไตร-บิวตะ ไคอิน-สไตรีนผสมผสานไม้

### 1.1 วัตถุประสงค์ของการวิจัย

เพื่อศึกษาอิทธิพลของโโคโนโนเมอร์ในอะคริโลไนไตร-บิวตะ ไคอิน-สไตรีนที่มีต่อกระบวนการขึ้นรูปและสมบัติต่างๆ ได้แก่ สมบัติการไหล สมบัติเชิงกล สมบัติทางความร้อน สมบัติอัลตราโซนิก และสมบัติความทนทานต่อสารเคมี ของอะคริโลไนไตร-บิวตะ ไคอิน-สไตรีนผสมผสานไม้

### 1.3 ขอบเขตและวิธีดำเนินการวิจัยโดยสังเขป

งานวิจัยนี้เป็นการศึกษาอิทธิพลของโโคโนโนเมอร์ในอะคริโลไนไตร-บิวตะ ไคอิน-สไตรีน (เอ็นบีเอส) ที่มีต่อกระบวนการขึ้นรูปและสมบัติต่างๆ ได้แก่ สมบัติการไหล สมบัติเชิงกล สมบัติทางความร้อน สมบัติอัลตราโซนิก และสมบัติความทนทานต่อสารเคมีของวัสดุคอมโพสิตเอ็นบีเอส ผสมผสานไม้ยางพารา ด้วยการใช้ปริมาณผงไม้ 9.1 และ 33.3 เปอร์เซ็นต์โดยน้ำหนัก (หรือ 10 และ 50 phr) และใช้สารก่อ聚丙烯酰胺 N-2(aminoethyl)3-aminopropyl trimethoxysilane ในการปรับปรุงพื้นผิวของผงไม้เพื่อเพิ่มความเข้ากัน ได้ระหว่างเอ็นบีเอสกับผงไม้

### 1.4 ประโยชน์ที่จะได้รับ

1.4.1 ได้ข้อมูลซึ่งทำให้ทราบถึงผลของปริมาณโโคโนโนเมอร์ในพลาสติกเอ็นบีเอส ที่ส่งผลต่อสมบัติในด้านต่างๆ ของวัสดุคอมโพสิตเอ็นบีเอสกับผงไม้ ซึ่งเป็นประโยชน์ในการเลือกใช้วัสดุ และกระบวนการผลิตที่เหมาะสมในการขึ้นรูปของวัสดุคอมโพสิตระหว่างผงไม้กับพลาสติกเอ็นบีเอส

1.4.2 ข้อมูลที่ได้จะเป็นแนวทางในการพัฒนาวัตถุคุณภาพที่เหลือใช้จากโรงงานอุตสาหกรรม และยังเป็นการช่วยลดการตัดไม้ทำลายป่า

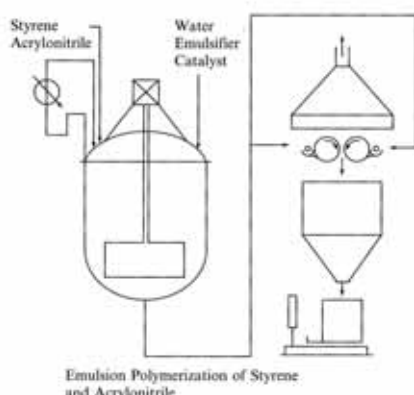
## บทที่ 2

### เอกสารที่เกี่ยวข้องกับงานวิจัย

#### 2.1 อะคริโลไนไตร-บิวตะไดอีน-สไตรีนโภคพอลิเมอร์

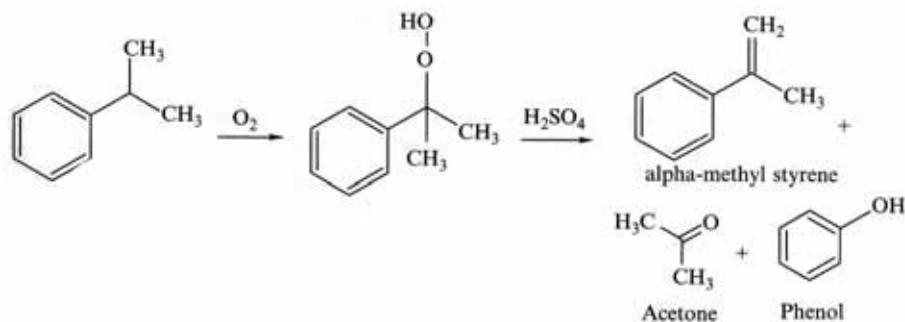
##### 2.1.1 ความเป็นมาของอะคริโลไนไตร-บิวตะไดอีน-สไตรีนโภคพอลิเมอร์ [11-13]

ปี ก.ศ. 1940 อะคริโลไนไตร-บิวตะไดอีน-สไตรีนโภคพอลิเมอร์ หรือ พลาสติกเอบีอีส (acrylonitrile-butadiene-styrene copolymer ,ABS) เริ่มรู้จักกันในช่วงสงครามโลกครั้งที่ 2 ประมาณกลางปี โดยเริ่มแรกของการผลิตพลาสติกเอบีอีสนั้น ทำได้โดยการผสมระหว่างสไตรีน-อะคริโลไนไตร โภคพอลิเมอร์ (SAN) กับบิวตะไดอีน-สไตรีน โภคพอลิเมอร์ (SBR) หรือบิวตะไดอีน-อะคริโลไนไตร โภคพอลิเมอร์ (NBR) แต่สุดดังกล่าวก็ยังมีปัญหาอยู่ เช่น ไม่มีความคงทนของสี ราคาสูง ขึ้นรูปยาก ผลิตภัณฑ์ที่ได้ไม่มี ความสวยงาม พื้นผิวที่ไม่มีความเงา หรือพื้นผิวด้าน และโดยเฉพาะอย่างยิ่ง ทนต่อแรงกระแทก ได้ไม่ดีที่อุณหภูมิต่ำแต่ปัญหาดังกล่าวก็สามารถแก้ได้ โดยในปี 1948 ทีมนักวิจัยจากบริษัท Marbon (บริษัทในเครือ Marsene Corp. ซึ่งภายหลังเปลี่ยนชื่อเป็น Borg Warner) พบร่วมกับบิวตะไดอีนมีอุณหภูมิранซิชันต่ำกว่าในกรณีที่เป็นโภคพอลิเมอร์ จึงคิดที่จะนำพอลิบิวตะไดอีนมาผสมกับ SAN โดยตรงเพื่อผลิตวัสดุเอบีอีสแต่ก็ยังมีปัญหารี่องความเข้ากันได้ของเฟสทั้งสอง ซึ่งปัญหาดังกล่าวก็สามารถแก้ได้โดยการใช้กระบวนการ Emulsion polymerization เพื่อสังเคราะห์อนุภาคพอลิบิวตะไดอีนขึ้นมาก่อนจากนั้นกราฟท์ SAN ลงไปโดยใช้กระบวนการผลิตของ BASF ดังแสดงในภาพที่ 1 จนกระทั่งในปี 1959 Borg Warner ได้ทำการจดสิทธิบัตรสำหรับกระบวนการผลิตเอบีอีสด้วยวิธีดังกล่าวและใช้ผลิตเอบีอีสออกสู่ตลาด โดยใช้ชื่อทางการค้าว่า CyclolacTM



ภาพที่ 1 แสดงกระบวนการผลิตของ BASF [13]

การวิจัยและพัฒนาวัสดุเอบีโอสเป็นไปอย่างต่อเนื่อง Borg Warner ใช้เงินลงทุนมหาศาลสำหรับงานวิจัยกว่า 10,000 ชั่วโมง เพื่อหาสัดส่วนมอนомерที่เหมาะสมในการผลิตเอบีโอสในด้านการพานิชย์ ต่อมามีการผลิตพลาสติกเอบีโอสชนิดทนความร้อนสูงขึ้นโดยใช้อัลฟามทิลสไตรีน ( $\alpha$ -methylstyrene) แทนสไตรีนทึ้งในส่วนแมทริกส์และส่วนกราฟท์ ซึ่งทำให้วัสดุเอบีโอสมีอุณหภูมิในการเสียรูป (Heat deflection temperature) สูงขึ้น โดยในปี 1958 เอบีโอสเกรดทนความร้อนเป็นที่นิยมมากในอุตสาหกรรมยานยนต์ แต่ข้อเสียของเอบีโอสเกรดนี้คือความหนืดที่เพิ่มสูงขึ้นเนื่องจากหมู่เมทธิลที่เพิ่มเข้าไปจะขัดขวางการไหลของพลาสติกหลอมเหลวทำให้มีข้อจำกัดในการขึ้นรูปสำหรับเอบีโอสเกรดดังกล่าว

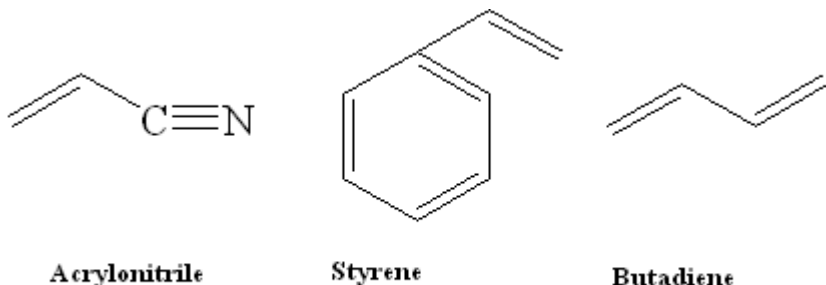


ภาพที่ 2 แสดงขั้นตอนการผลิตอัลฟามทิลสไตรีน ( $\alpha$ -methylstyrene) [13]

ต่อมาก็ได้เกิดแนวคิดที่ผลิตวัสดุเอบีโอสที่มีความใสขึ้น ซึ่งเอบีโอสชนิดที่มีอยู่นั้นมีลักษณะขุ่นเนื่องจากการกระเจิงแสงของเฟสยาง จึงมีการทดลองลดขนาดของอนุภาคบิวตะได้อีก พนักงานสามารถผลิตเอบีโอสที่มีความใสได้แต่กลับทำให้ความทนต่อแรงกระแทกลดลง ต่อมามีการทดลองเติมมอนอมอร์อิกชนิดลงไปซึ่งคือ เมทิลเมทาคริเลต (Methyl methacrylate; MMA) เพื่อลดความแตกต่างระหว่างน้ำหนักแห้งขององค์ประกอบต่างๆ จนประสบความสำเร็จในการผลิตเอบีโอสชนิดใสและอุดร่องสูตรตลาดด้วยชื่อทางการค้า Cycloloc™ CIT

### 2.1.2 คำจำกัดความและโครงสร้างทางเคมีของพลาสติกเอบีโอส

พลาสติกเอบีโอส เกิดจากมอนอมอร์ 3 ชนิดด้วยกัน คือ อะคริโลไนไตร บิวตะไดอิน และสไตรีน โดยมาตรฐาน ASTM D1788 พบว่า พลาสติกเอบีโอส โดยทั่วไปประกอบด้วยอะคริโลไนไตรอย่างน้อย 13 เปอร์เซ็นต์ บิวตะไดอินอย่างน้อย 5 เปอร์เซ็นต์ และสไตรีโนอย่างน้อย 15 เปอร์เซ็นต์ นับว่าเป็นเทอร์โมพลาสติกที่มีความสำคัญในภาคอุตสาหกรรม และจัดเป็นพลาสติกวิศวกรรมที่มีสมบัติทางกลที่ดีเยี่ยม คือ มีความแข็งแรงสูง เหนียว ทนต่อแรงกระแทก สารเคมี และความร้อน โดยมีโครงสร้างทางเคมีแสดงดังภาพที่ 3



ภาพที่ 3 โครงสร้างทางเคมีของพลาสติกเอปีโอล

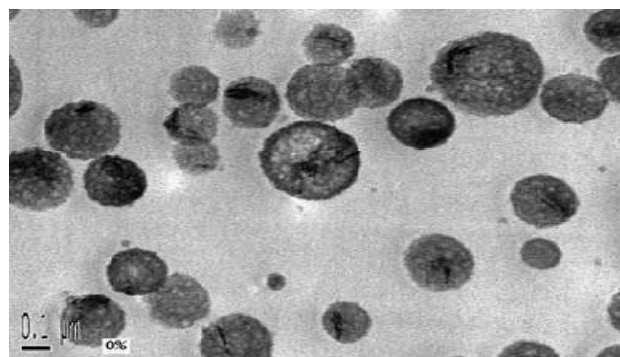
### 2.1.3 การเตรียมและสังเคราะห์พลาสติกเอปีโอล

#### 2.1.3.1 การเตรียมพลาสติกเอปีโอล

พลาสติกเอปีโอล สามารถเตรียมได้ 2 แบบ คือ

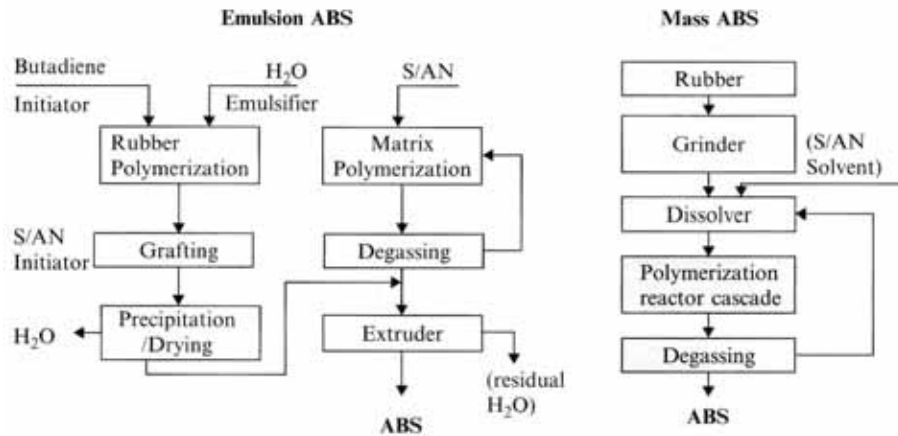
1. แบบที่เกิดจากการผสมระหว่างยางอะคริโลไลน์ไตร-บิวตะไดอีน โคโพลิเมอร์กับโคโพลิเมอร์ของสไตรีน-อะคริโลไลน์ไตรซึ่งการผสมแบบนี้ไม่เป็นที่นิยมใช้กันในปัจจุบัน

2. แบบที่เกิดจากการกราฟต์ โดยการทำให้บิวตะไดอีนเกิดกราฟต์กับสไตรีน-อะคริโลไลน์ไตร โคโพลิเมอร์ ซึ่งเป็นที่นิยมในปัจจุบัน และสำหรับการเตรียมพลาสติกเอปีโอลสังกล่าว ประกอบด้วยสองส่วนหลัก คือ ส่วนที่เป็นสไตรีน-อะคริโลไลน์ไตร โคโพลิเมอร์เป็นเฟสหลัก (Matrix phase) ที่มีความต่อเนื่อง (Continuous phase) และส่วนที่เป็นยางบิวตะไดอีนเป็นเฟสที่กระจายอยู่ในเฟสที่ต่อเนื่องดังกล่าว แสดงดังภาพที่ 4



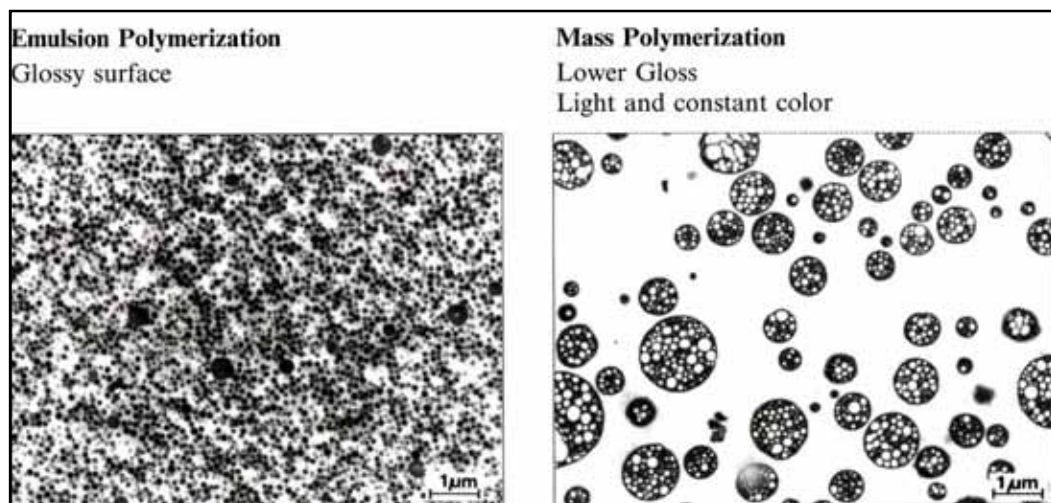
ภาพที่ 4 การกระจายตัวของยางบิวตะไดอีนใน สไตรีน-อะคริโลไลน์ไตร โคโพลิเมอร์เมทริกซ์ [14]

ในกระบวนการผลิตพลาสติกแบบการกราฟท์บิวตะ ไดอีน โดยทั่วไปแล้วจะใช้เทคโนโลยี การผลิตเช่นเดียวกันกับการผลิต GPPS (General propose polystyrene) และ HIPS (High impact polystyrene) โดยมีอยู่สองกระบวนการที่นิยมใช้คือ Emulsion polymerization และ Mass polymerization ดังภาพที่ 5



ภาพที่ 5 แสดงกระบวนการผลิตพลาสติกเอบีเยอส [13]

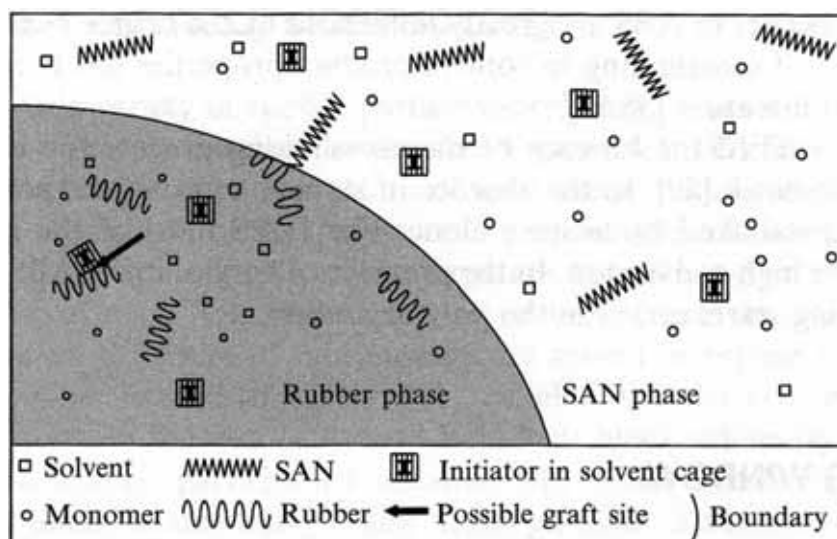
แต่สำหรับพลาสติกเอบีเยอสนั้นการที่ทำให้วัสดุมีความทนทานต่อแรงกระแทกได้ดีนั้น จะต้องควบคุมให้ขนาดของอนุภาคเฟสยางมีขนาดเล็ก ดังนั้นกระบวนการผลิตแบบ Emulsion polymerization จึงเป็นที่นิยมมากกว่าสำหรับใช้ในการผลิตเอบีเยอส ซึ่งกระบวนการดังกล่าว สามารถควบคุมขนาดอนุภาคยางให้มีขนาดเล็กกว่า 1 ไมครอน ดังในภาพที่ 6 แสดงลักษณะของพอลิบิวตะ ไดอีนในเอบีเยอสที่ผลิตได้จากกระบวนการที่แตกต่างกัน



ภาพที่ 6 แสดงสัมฐานวิทยาของเอบีเยอสที่ผลิตจากกระบวนการที่ต่างกัน[11]

### 2.1.3.2 การเตรียมยางที่เป็นตัวเกิดกราฟต์

ยางบิวตะไคอินที่เป็นตัวเกิดกราฟต์ (Polybutadiene substrate) มีกระบวนการเตรียม 2 แบบ กือ แบบอัมลัชัน (Emulsion polymerization) หรือแบบสารละลาย (Solution polymerization) โดยใช้วิธีทำให้เกิดเป็นอนุนูโลลิสระ (Free radical) เป็นวิธีที่สามารถทำได้อย่างต่อเนื่องไม่จำเป็นต้องใช้สารตัวเติมภายนอก (External additives) และได้ของประกอบที่เป็นลาเท็กซ์ (Latex) ซึ่งสามารถนำไปใช้งานได้ทันที



ภาพที่ 7 แสดงการกราฟต์ SAN ลงบนบิวตะไคอิน[11]

### 2.1.4 สมบัติโดยทั่วไปของพลาสติกเอ็นเมอส์

เนื่องจากพลาสติกเอ็นเมอส์เป็นพลาสติกที่ประกอบด้วยมอนомер 3 ชนิด จึงทำให้สมบัติในด้านต่างๆ ของพลาสติกเอ็นเมอส์เป็นไปตามสมบัติของมอนอมอร์น้ำ ดังนี้

1. พอลิอะคริโลไนไตร เป็นพอลิเมอร์ชนิดอัมฟูราน (Amorphous) ช่วยเสริมความแข็งแรง (Strength) ความแข็ง (Rigid) ทนต่อความร้อน สารเคมี และเป็นตัวทำละลาย ได้ดี
2. พอลิบิวตะไคอิน เป็นวัสดุที่เป็นยาง มีอุณหภูมิอ่อนตัว ( $T_g$ ) ต่ำ (ต่ำกว่า  $-76^{\circ}\text{F}$  หรือ  $-60^{\circ}\text{C}$ ) และมีพันธะคู่ที่ทำให้เกิดการเชื่อมโยง (Cross-linking) เป็นเทอร์โมเซทพลาสติกซึ่งเป็นที่นิยมทั่วไปในบริษัทที่ผลิตไโซโนพอลิเมอร์ (Homopolymer) และโโคพอลิเมอร์ (Copolymer) เช่น ยาง เอสบีอาร์ (SBR) และ เอ็นบีอาร์ (NBR) เป็นต้น เนื่องจากยางบิวตะไคอินช่วยทำให้อุณหภูมิอ่อนตัว ของวัสดุลดลงจึงทำให้วัสดุดังกล่าว ทนต่อแรงกระแทก ได้ดี เพื่อความเหนียว และสามารถใช้งานได้ที่อุณหภูมิต่ำ

3. พอลิสไตรีน เป็นพอลิเมอร์ชนิดอสัมฐาน มีความแข็งสูง (Rigid materials) ความหนืดต่ำ (low viscosity) จึงสามารถไหลได้ง่าย (Flowability) ทำให้ง่ายต่อการขึ้นรูปในกระบวนการผลิต และมีความมั่นคงแต่มีข้อด้อย คือ มีความเปราะ (Brittleness)

จากสมบัติดังกล่าวของมอนومอร์ทั้งสามชนิด ทำให้พลาสติกเอบีเอสมีสมบัติที่ดีหลายอย่างด้วยกัน แสดงดังตารางที่ 1 โดยสมบัติต่างๆ ของพลาสติกเอบีเอส ขึ้นอยู่กับองค์ประกอบบนน้ำหนักไม่เลกุล และลักษณะทางสัมฐานวิทยา (morphology) ของพอลิเมอร์ต่างๆ ดังกล่าว และจากสมบัติที่ดีหลายอย่างนี้จึงทำให้พลาสติกเอบีเอสได้รับความนิยมในการใช้งานอย่างมาก แต่เนื่องจากกระบวนการผลิตเม็ดพลาสติกเอบีเอสที่ค่อนข้างซับซ้อนจึงมีข้อจำกัดในเรื่องของราคา และสำหรับกระบวนการขึ้นรูปพลาสติกเอบีเอสนั้นใช้อุณหภูมิในการผลิตช่วง 220-260 องศาเซลเซียส นอกจากนี้ยังต้องระวังในเรื่องของความชื้นระหว่างกระบวนการขึ้นรูปเป็นพิเศษด้วย

ตารางที่ 1 สมบัติโดยทั่วไปของพลาสติกเอบีเอส [12]

Properties	Units	Injection-molding grades		Extrusion grades
		High impact	Medium impact	
Izod impact (3.2 mm.thick specimen)	J/m	320-500	160-320	80-640
Hardness	R	85-106	102-115	75-115
Tensile yield strength	MPa	18-41	35-50	30-44
Elongation at break	%	5-75	5-60	20-100
Tensile modulus	GPa	1.02-4	2.1-2.8	0.9-2.9
Specific gravity	-	1.01-1.05	1.03-1.06	1.02-1.08

สมบัติของพลาสติกเอบีเอสโดยทั่วไปขึ้นกับเฟสหลัก ซึ่งเป็นส่วนสำคัญในการกำหนดความสามารถในการผลิต (Processibility) และการทนความร้อนของพลาสติกเอบีเอสคอมปาวด์ (Compound) โดยความสามารถในการผลิตจะขึ้นอยู่กับน้ำหนักไม่เลกุล และสัดส่วนทางเคมีของพลาสติกเอบีเอสคอมปาวด์ เช่น หน่วยของมอนอมอร์ การจัดเรียงตัวของสายโซ่ไมเลกุลพอลิเมอร์ และอุณหภูมิคล้ายแก้วของเฟสหลักในพลาสติกเอบีเอส แสดงดังตารางที่ 2

ตารางที่ 2 สมบัติของเรซินเมทริกซ์ในพลาสติกเอบีโอล [12]

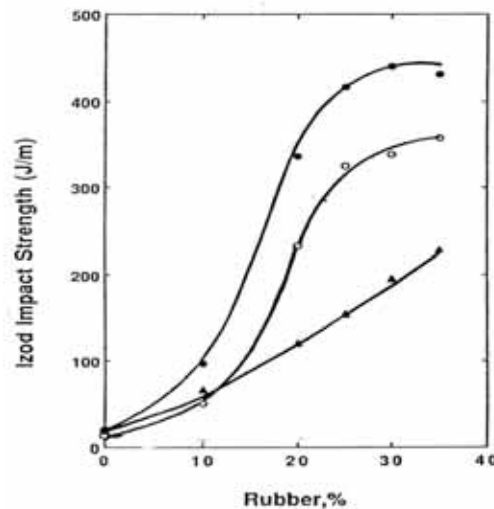
<b>Matrix component</b>	<b>Chemical constructure</b>	<b>T<sub>g</sub> (°C)</b>	<b>Concentra-tion in the ABS blend (wt%)</b>	<b>Heat resistanc e Vicat B 120 (°C)</b>	<b>Other properties</b>
SAN	Random copolymer S:AN 80:20-65:35	115	95-50	104	Increase in thermal-stability at high acrylonitrile contents
AMS-AN copolymer	Random copolymer AMS:AN 70:30	128	95-50	117	Depolymerization begins at 280 °C
AMS-AN Sequence polymer	AMS:AN 70:30 high proportion of AMS pairs	140	95-50	~130	Toughness lower than with random copolymers
Styrene-AN- NPMI terpolymer	Random terpolymer S:AN:NPMI 67:28:5	140	95-80	~130	High reactivity of the anhydride ring, Heat resistance limited

AN = acrylonitrile; AMS =  $\alpha$ -methylstyrene; MA = maleicanhydride; S = styrene;

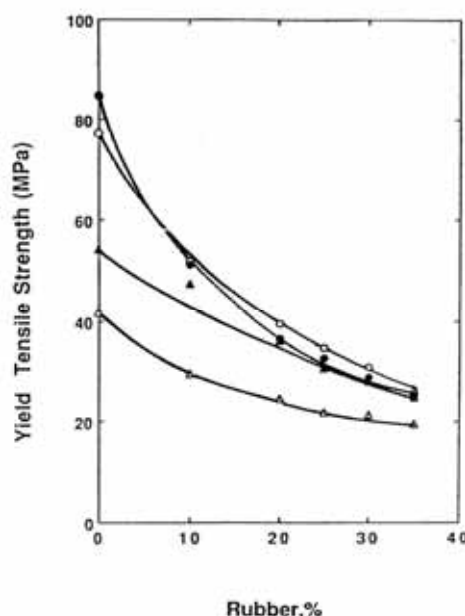
NPMI = *N*-phenylmaleimide

พลาสติกเอบีโอลที่ผลิตจากโโคโพลิเมอร์ของเอลฟ่าเมทิลสైຕ్రెన-อะคริโลインไตร ( $\alpha$ -methylstyrene-acrylonitrile) มีสมบัติที่คล้ายคลึงกับสైຕ్రెน-อะคริโลインไตรโโคโพลิเมอร์ คือ เป็นพอลิเมอร์ที่มีอุณหภูมิคล้ายแก้วสูง และมีพฤติกรรมทางเคมีคล้ายกับสైຕ్రెน-อะคริโลインไตรโโคโพลิเมอร์ คือ สามารถทำให้เกิดพลาสติกเอบีโอลที่ทนต่อความร้อนสูงได้ ซึ่งความสามารถในการทนต่อความร้อนของพลาสติกเอบีโอลยังขึ้นกับปริมาณของเอลฟ่าเมทิลสైຕ్రెนอีกด้วย และโโคโพลิเมอร์แบบพิเศษนี้มีสัดส่วนของเอลฟ่าเมทิลสైຕ్రెนสูงขึ้น สามารถทำได้โดยการผลิตด้วยวิธีอัดขันพอลิเมอร์ไรซ์ชัน ได้ผลิตภัณฑ์พลาสติกเอบีโอลที่มีความต้านทานต่อความร้อนสูงถึง 130 องศาเซลเซียส (Vicat B temperature)

สมบัติของพลาสติกเอบีเอสนอกจากขึ้นอยู่กับส่วนที่เป็นเมทริกซ์แล้ว ยังขึ้นอยู่กับส่วนที่เป็นยางอีกด้วย นั่นคือ เมื่อเพิ่มสัดส่วนของเฟลที่เป็นยาง ณ อุณหภูมิห้อง ความเหนียวของพลาสติก เอบีเอสสูงขึ้น และทำให้ความต้านแรงกระแทก (Izod impact strength) สูงขึ้นด้วย แสดงดังภาพที่ 8 แต่ความแข็งแรง (Tensile strength) และค่ามอดูลัสความต้านแรงดึง (Tensile modulus) ลดลงตามสัดส่วนของเฟลยางที่เพิ่มขึ้น แสดงดังภาพที่ 9

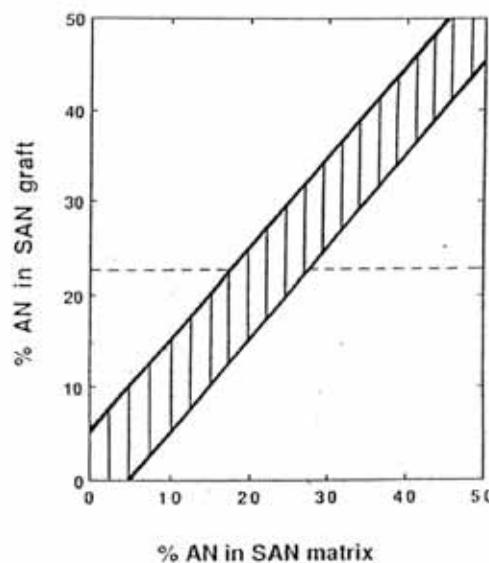


ภาพที่ 8 ความสัมพันธ์ระหว่างปริมาณของยางในพลาสติกเอบีเอสที่มีต่อสมบัติความต้านแรงกระแทก [15]

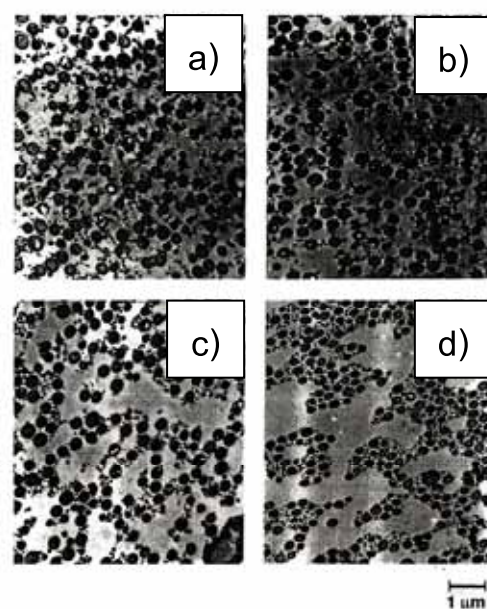


ภาพที่ 9 ความสัมพันธ์ระหว่างปริมาณของยางในเอบีเอสที่มีต่อสมบัติความต้านแรงดึง [15]

นอกจากนี้สมบัติของพลาสติกเอ็นบีอีอย่างขึ้นอยู่กับความเหมาะสมของปริมาณของอะคริโลลไนไตรระหว่างในส่วนที่เป็นเมทริกซ์กับส่วนที่กราฟท์กับบิวตะไดอินชีง Kim และคณะ[15, 16]ได้แสดงให้เห็นถึงสัดส่วนปริมาณอะคริโลลไนไตรที่เหมาะสมระหว่างเฟสของยางและแมทริกซ์ดังแสดงในภาพที่ 10 ด้วยปริมาณอะคริโลลไนไตรที่เหมาะสมจะทำให้เฟสของยางบิวตะไดอินกระจายตัวกันอย่างสม่ำเสมอตามดังภาพที่ 11 ส่งผลต่อความทนทานต่อแรงกระแทกที่ดี



ภาพที่ 10 ปริมาณอะคริโลลไนไตรที่เหมาะสมระหว่างในเฟสยางกับ SAN แมทริกซ์ [16]



ภาพที่ 11 แสดงภาพจาก TEM ของพลาสติกเอ็นบีอีส ภาพ a และ b เฟสยางกระจายสม่ำเสมอในแมทริกซ์ ส่วนภาพ c และ d แสดงให้เห็นการรวมตัวกันของเฟสยางในเอ็นบีอีส [16]

## 2.2 เส้นใยธรรมชาติ

เส้นใยธรรมชาติ (Natural fiber) เป็นเส้นใยที่สามารถย่อยสลายทางชีวภาพได้ เช่น เส้นใยจากไม้ หรือขี้เลื่อย เส้นใยปอ และป่าน เป็นต้น ซึ่งประกอบด้วยองค์ประกอบหลักที่สำคัญ คือ เชลลูโลส (cellulose) ประมาณ 50-55 เปอร์เซ็นต์ เสมิเซลลูโลส (hemicellulose) ประมาณ 15-25 เปอร์เซ็นต์ และลิกนิน (lignin) ประมาณ 20-30 เปอร์เซ็นต์ ซึ่งจากองค์ประกอบดังกล่าว พบว่า มีส่วนของเชลลูโลสมากที่สุด ทำหน้าที่ให้ความแข็งแรงกับเส้นใย โดยองค์ประกอบทั้งหมดจะอยู่ใน พนังเซลของเนื้อไม้ และมีน้ำหนักโมเลกุลสูงทั้งสิ้น นอกจากนี้ปริมาณของแต่ละองค์ประกอบยังขึ้นอยู่กับชนิดของเนื้อไม้อีกด้วย และโดยทั่วไปไม้เนื้อแข็งมีปริมาณของเอมิเซลลูโลสมากกว่าไม้เนื้ออ่อน แต่มีลิกนินน้อยกว่าไม้เนื้ออ่อน

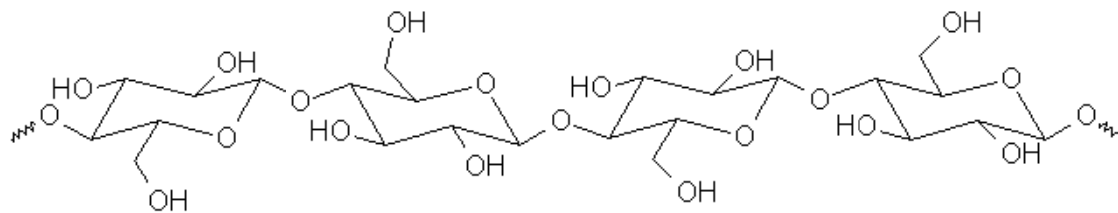
อนุภาคขี้เลื่อย หรือ ผงไม้ เป็นเส้นใยธรรมชาติชนิดหนึ่ง มีลักษณะเป็นผงคล้ายแป้ง ขนาดอนุภาคอยู่ในช่วงประมาณ 40-80 เมช (Mesh) สามารถนำมาใช้เป็นสารเพิ่มเนื้อ (Extender) หรือสารเสริมแรง (Reinforcement) ในพลาสติกได้ โดยมีข้อดี คือ ช่วยลดการหดตัว (Shrinkage) ของพอลิเมอร์ เพิ่มค่ามอดคุลลัส (Modulus) เพิ่มความแข็งแรง (Strength) และช่วยลดต้นทุนในการผลิตผลิตภัณฑ์ แต่มีข้อเสียคือ ทำให้กระบวนการผลิตขึ้นรูปทำได้ยากขึ้น ลดเสถียรภาพทางความร้อน ความทนทานต่อสภาพแวดล้อมไม่ดี ลดความสามารถในการรับแรงกระแทก และไม่สามารถขึ้นรูปได้ที่อุณหภูมิสูงๆ เนื่องจากขี้เลื่อยมีอุณหภูมิเริ่มเสียสภาพ (Degradation temperature) ประมาณ 200-300 องศาเซลเซียส

### 2.2.1 องค์ประกอบและโครงสร้างทางเคมีของเส้นใยธรรมชาติ

องค์ประกอบทางเคมีของเส้นใยธรรมชาติ เช่น เส้นใยฝ้าย (Cotton) ปอกระเจา (Jute) ลินิน (Flax) ป่านلامี (Ramie) และป่านศรนารายณ์ (Sisal) เป็นต้น มีองค์ประกอบหลักอยู่ 3 ชนิด คือ เชลลูโลส เสมิเซลลูโลส และลิกนิน

#### 2.2.1.1 เชลลูโลส

เชลลูโลส มีโครงสร้างทางเคมีประกอบด้วย แอนไฮdro glucopyranose ซึ่งเป็นหน่วยของโครงสร้างที่เชื่อมต่อกันด้วยพันธะไกลโคสติดิก (Glycosidic bond) โดยเชลลูโลสของไม้มีน้ำหนักโมเลกุลประมาณ 10,000 กรัมต่้อมล โดยคิดจากปริมาณกลูโคสที่มีอยู่ และโดยทั่วไปของเชลลูโลสมีการจัดเรียงตัวเป็นแบบเส้นตรง (Linear) ทำให้โครงสร้างโมเลกุลของเชลลูโลสมีความเป็นระเบียบสูง นอกจากนี้ระหว่างสายโซ่โมเลกุลของเชลลูโลสสามารถเกิดแรงกระทำระหว่างกัน (Interaction) ด้วยพันธะไฮโดรเจน (Hydrogen bond) จึงทำให้เชลลูโลสเป็นส่วนที่ทนต่อตัวทำลายสูง มีความเป็นผลึก และมีความแข็งแรงสูง ซึ่งเชลลูโลสมีโครงสร้างทางเคมี แสดงดังภาพที่ 12



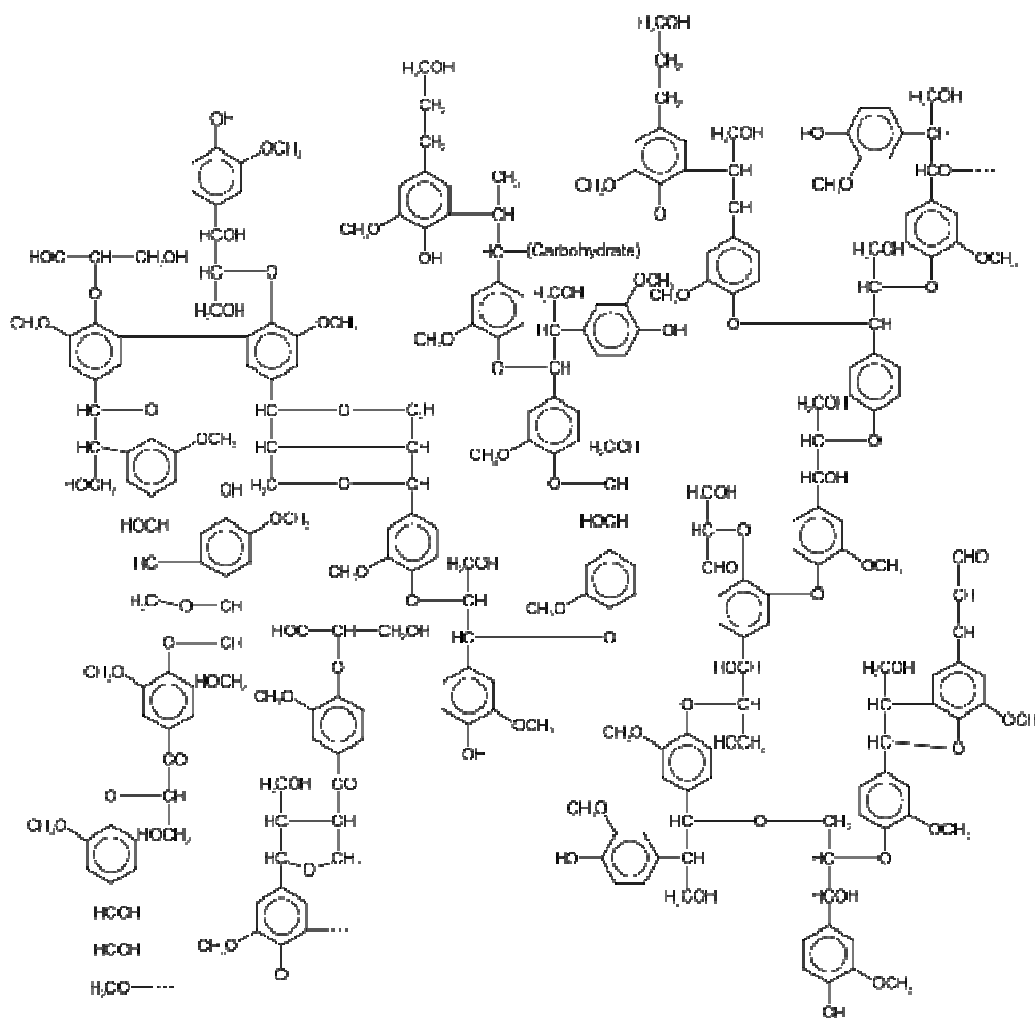
ภาพที่ 12 โครงสร้างทางเคมีของเซลลูโลส [17]

### 2.2.1.2 เอมิเซลลูโลส

เอมิเซลลูโลส (Hemicellulose) เป็นสารประกอบที่มีโมเลกุลใหญ่ ซึ่งเป็นสารประกอบประเภทเซอทเทอร์โรจีเนียส โพลีแซคคาไรด์ (Heterogeneous Polysaccharides) ที่ประกอบด้วยน้ำตาลโมโนแซคคาไรด์หลายชนิดประกอบอยู่ในโมเลกุลเดียวกัน โดยเอมิเซลลูโลสแตกต่างกับเซลลูโลส (Cellulose) ซึ่งเป็นสารประเภทโซโนจีเนียส โพลีแซคคาไรด์ (Homogeneous Polysaccharides) ที่ประกอบด้วยน้ำตาลกลูโคสประเภทเดียวประกอบอยู่ในโมเลกุล เอมิเซลลูโลส เป็นโมเลกุลที่มีน้ำหนักโมเลกุลน้อยกว่าน้ำหนักโมเลกุลของเซลลูโลส และมีค่า Degree of Polymerization ไม่เกิน 200 โมเลกุลของเอมิเซลลูโลสสามารถถูกไฮโดรไลซ์ได้ง่ายโดยสารละลายกรด แล้วให้โมเลกุลของน้ำตาลที่มีขนาดเล็กลงคือ โมเลกุลเดียวของน้ำตาลกลูโคส แม่นโนส ไซโลส และอะราบิโนส โดยปกติทั่วๆไปบริเวณของเอมิเซลลูโลสที่ประกอบอยู่ในพืชมีปริมาณประมาณ 20-30% โดยที่เอมิเซลลูโลสนี้สามารถแบ่งออกได้เป็นชนิดต่างๆ ดังนี้คือ กากแลคโตกลูโคส แม่นแนน (Galactoglucomannan) ประกอบด้วยน้ำตาลแม่นโนส กลูโคส และกากแลคโตส อะราบิโนกลูโคโนไธแอล (Arabinoglucuronoxylan) ประกอบด้วยน้ำตาลกากแลคโตสและอะราบิโนส กลูโคโนไธแอล (Glucuronoxylan) ประกอบด้วยน้ำตาลกลูโคสและไซโลส และกลูโคแม่นแนน (Glucomannan) ประกอบด้วยน้ำตาลกลูโคสและแม่นโนส

### 2.2.1.3 ลิกนิน

ลิกนิน (Lignin หรือ Lignen; มาจากภาษาละติน Linum ซึ่งแปลว่า ไม้) ถูกค้นพบในปี 1819 โดย De Candolle เป็นพอลิเมอร์ที่มีโครงสร้างที่ซับซ้อน และมีการจัดเรียงตัวแบบสามมิติ ซึ่งประกอบไปด้วยไฮdrocarburants ทั้งส่วนที่เป็นวงแหวนเบนซีน (aromatic hydrocarbon) คือ ส่วนของฟีนิล โพร์เพน (phenyl propane) และส่วนที่เป็นเส้นตรง (aliphatic hydrocarbon) แสดงดังภาพที่ 13 พบมากในผนังเซลล์ของพืช



ภาพที่ 13 โครงสร้างทางเคมีของลิกนิน [18]

### 2.2.2 สมบัติโดยทั่วไปของเส้นใยธรรมชาติ

เส้นใยธรรมชาติเป็นวัสดุเสริมแรงที่สามารถใช้ได้ทั้งในเทอร์โมเซตและเทอร์โมพลาสติกเนื่องจากมีสมบัติทางกลที่ดี เช่น มีความแข็งแรง และมีความแข็งสูง เป็นต้น แต่มีความหนาแน่นต่ำ แสดงดังตารางที่ 3 ซึ่งจากค่าที่ได้พบว่าเส้นใยลินิน (Flax) และเส้นใยที่ได้จากเยื่อกระดาษ (Kraft) มีค่าใกล้เคียงกับเส้นใยแก้วชนิด E ซึ่งเป็นชนิดที่นำไปใช้ในงานพวกรุปกรณ์อิเล็กทรอนิกและเป็นที่นิยมมากในปัจจุบัน

ตารางที่ 3 สมบัติทางกลของเส้นใยธรรมชาติเมื่อเทียบกับเส้นใยสợiแรงทั่วไป [19]

Fibers	Density (g/cm <sup>3</sup> )	Elongation (%)	Tensile strength (MPa)	Young's modulus (GPa)
Cotton	1.5-1.6	7.0-8.0	287-597	5.5-12.6
Jute	1.3	1.5-1..8	393-773	26.5
Flax	1.5	2.7-3.2	345-1035	27.6
Hemp	-	1.6	690	-
Ramie	-	3.6-3.8	400-938	61.4-128.0
Sisal	1.5	2.0-2.5	511-635	9.4-22.0
Coir	1.2	30.0	175	4.0-6.0
Viscose (cord)	-	11.4	593	11.0
Soft wood kraft	1.5	-	1000	40.0
E-glass	2.5	2.5	2000-3500	70.0
S-glass	2.5	2.8	4570	86.0
Aramid (normal)	1.4	3.3-3.7	3000-3150	63.0-67.0
Carbon (normal)	1.4	1.4-1.8	4000	230.0-240.0

จากตารางข้างต้น พบว่า ช่วงค่าของสมบัติดังกล่าว มีอุปสรรคอย่างหนึ่งที่ทำให้ค่าของผลิตภัณฑ์จากเส้นใยธรรมชาติเปลี่ยนแปลงไปมากกว่าเส้นใยแก้ว เนื่องจากเส้นใยธรรมชาติมีโครงสร้างที่แตกต่างกันขึ้นอยู่กับสภาพแวดล้อมของเส้นใยธรรมชาติในระหว่างการเติบโต และปัจจัยอื่นๆ อีก

เส้นใยธรรมชาติสามารถผลิตเป็นเส้นใยเสริมแรงได้หลายวิธี ด้วยกัน ซึ่งส่วนใหญ่สมบัติทางกลที่ได้แตกต่างกันออกไป เนื่องจากวิธีที่ใช้ไม่ผ่านกระบวนการทางเคมี เมื่อนำมาใช้เป็นวัสดุเสริมแรงให้ค่ามอดูลัสประมาณ 10 GPa แต่เมื่อผ่านกระบวนการทางเคมี โดยแยกเส้นใยเซลลูโลโซออกจากเนื้อไม้แล้วนำมาเป็นวัสดุเสริมแรงให้ค่ามอดูลัสสูงถึง 40 GPa และเมื่อทำการไฮโดรไลซิสเซลลูโลสจะได้เส้นใยขนาดเล็ก (Microfibril) ซึ่งให้ค่ามอดูลัสประมาณ 70 GPa แต่ตามทฤษฎีแล้วเซลลูโลสสามารถให้ค่ามอดูลัสได้สูงถึง 250 GPa อย่างไรก็ตามยังไม่มีวิธีที่สามารถแยกเซลลูโลโซออกมาจากเส้นใยขนาดเล็กได้ ในปัจจุบันจึงนิยมทำการเตรียมเส้นใยธรรมชาติดึงเพียงกระบวนการที่สอง (Microfibril) เพื่อนำ

จากโครงสร้างทางเคมีของเส้นใยธรรมชาติที่มีหมู่ไฮดรอกซิลชี้งชอนน้ำ จึงทำให้เส้นใยธรรมชาติสามารถดูดความชื้นได้ ปริมาณความชื้นของเส้นใยธรรมชาติขึ้นอยู่กับปริมาณของส่วนที่ไม่เป็นผลึกและช่องว่างภายในเส้นใย โดยในสภาวะปกติเส้นใยธรรมชาติมีปริมาณความชื้นสูงถึง 10 เบอร์เซ็นต์โดยน้ำหนัก ซึ่งส่วนใหญ่ต่อสมบัติทางกลและลักษณะทางกายภาพ คือ เมื่อนำมาผสมกับพลาสติกเกิดช่องว่างระหว่างเฟล็กซ์ของเส้นใยธรรมชาติกับพลาสติก ทำให้สมบัติกลของพลาสติกที่ได้ไม่ดีนัก

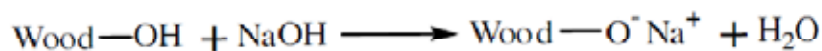
ในกรณีของเส้นใยแก้วค่าความแข็งแรง (Tensile strength) ของวัสดุผสมขึ้นอยู่กับความยาว และชนิดของเส้นใยนั้นๆ พบว่าความแข็งแรงของเส้นใยลินินขึ้นอยู่กับความยาวของเส้นใยมากกว่าเส้นใยแก้ว แต่สำหรับเส้นใยลับประดุจความยาวของเส้นใยส่วนประกอบต่อความแข็งแรงน้อยมาก นอก จากนี้ ความแข็งแรงของเส้นใยธรรมชาติขึ้นอยู่กับวิธีการเตรียมเส้นใย เช่น การเตรียมเส้นใยที่มีขนาดเล็กๆ ช่วยเพิ่มความแข็งแรงให้กับวัสดุผสมได้

### 2.3 การปรับปรุงพื้นผิวของเส้นใยธรรมชาติ

การปรับปรุงสมบัติทางกลโดยการผสมพอลิเมอร์กับเส้นใยธรรมชาติ โดยทั่วไปจะเกิดความไม่เข้ากันของวัสดุผสมเนื่องจากสมบัติที่แตกต่างกันของวัสดุทั้งสองที่นำมาผสมกัน เช่น มีสมบัติทางกล (Mechanical properties) ความหนาแน่น (Density) ความยืดหยุ่น (Elastic modulus) การขยายตัวทางความร้อน (Thermal expansion) และพลังงานพื้นผิว (Surface energy) ที่ต่างกันมาก และโดยเฉพาะอย่างยิ่งความแตกต่างในเรื่องของความเป็นข้าว (Polarity) ของพลาสติกกับเส้นใยธรรมชาติ ทำให้เส้นใยธรรมชาติไม่สามารถกระจายตัวในเมทริกซ์ได้อย่างสม่ำเสมอ ไม่เกิดการยึดเกาะกันระหว่างเฟล็กซ์ จึงจำเป็นอย่างยิ่งที่ต้องมีการปรับปรุงพื้นผิวของเส้นใย เพื่อเพิ่มความเข้ากันได้ของวัสดุทั้งสอง

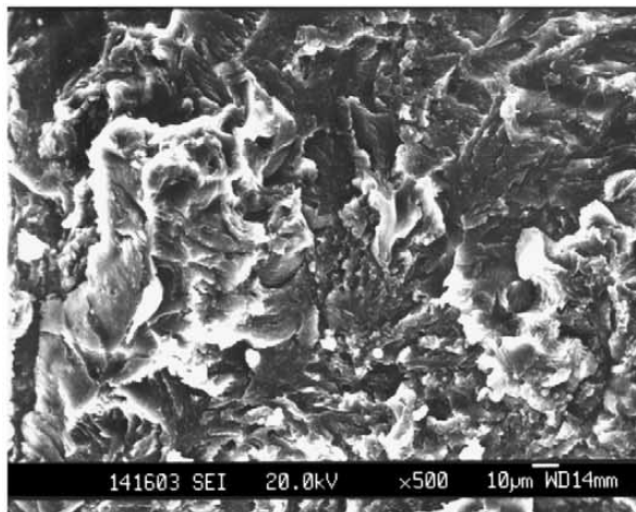
#### 2.3.1 การปรับปรุงพื้นผิวด้วยกระบวนการแทนที่ด้วยวงแหวนเบนซีน (Benzylation) [20-22]

กระบวนการปรับปรุงพื้นผิวเส้นใยด้วยกระบวนการ Benzylation เป็นการแทนที่หมู่ไฮดรอกซิล (-OH) บนพื้นผิวเส้นใย ด้วย Alkoxide หรือ Phenoxide ion ด้วยกระบวนการหักของ Williamson ดังแสดงในภาพที่ 14



ภาพที่ 14 แสดงการปรับปรุงพื้นผิวของผงไม้ด้วยกระบวนการ Benzylation [20]

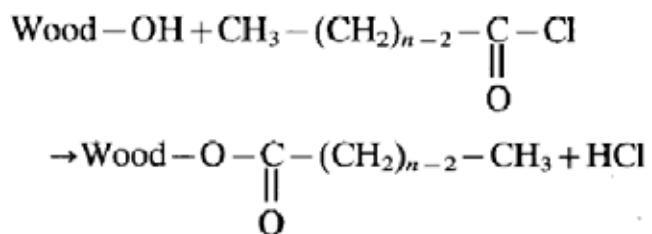
การที่หมู่ไอีดรอกซิลิบันพื้นผิวของผงไม้ถูกแทนที่ด้วยวงแหวนเบนซิน จะทำให้ความเป็นข้าวที่ผิวคลลง และเมื่อนำผงไม้ที่ผ่านการปรับปรุงพื้นผิวแล้วไปผสมกับพลาสติกซึ่งมีความเป็นข้าวต่ำ ทำให้เกิดการกระจายตัวที่สม่ำเสมอของผงไม้ดังแสดงในภาพที่ 15



ภาพที่ 15 แสดงภาพถ่ายจาก SEM ของวัสดุคอมโพสิต ระหว่างพอลิพิลิโนกับผงไม้ที่ผ่านการปรับปรุงพื้นผิวด้วยกระบวนการ Benzylation [21]

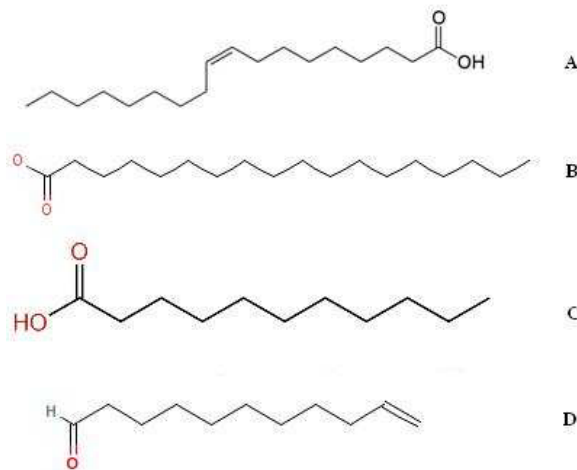
### 2.3.2 การปรับปรุงพื้นผิวของเส้นใยด้วยกระบวนการเอสเตอเรฟิเคชัน (Esterification) [23-31]

การปรับปรุงพื้นผิวเส้นใยด้วยเทคนิคนี้ จะเป็นการใช้กระบวนการเอสเตอเรฟิเคชัน เพื่อเปลี่ยนหมู่ไอีดรอกซิลิบันพื้นผิวของผงไม้ให้กลายเป็นหมู่เอสเตอร์ซึ่งมีความเป็นข้าวน้อยกว่ากระบวนการดังกล่าวแสดงในภาพที่ 16



ภาพที่ 16 แสดงการปรับปรุงพื้นผิวของผงไม้โดยกระบวนการ Esterification [24]

สารที่ใช้ในการปรับปรุงพื้นผิวในกระบวนการนี้นิยมใช้กรดไบมัน เพราะมีส่วนของสายโซ่ carbon-on-carbon (มี carbon-on 8-18 อะตอม) เพราะมีความเป็นข้าวต่ำ ซึ่งประเภทของกรดไบมันที่นิยมใช้มีทั้งแบบอิมตัวและไม่อิมตัว ยกตัวอย่างเช่น อันเดคิลเลอิก อัลเดคาโนอิค โอลีอิค หรือ สเตียริก เป็นต้น



ภาพที่ 17 แสดงโครงสร้างของกรดไขมัน Oleic Acid (A), Stearic acid (B), Undecanoic acid (C) และ Undecylenic acid (D)

### 2.3.3 การปรับปรุงพื้นผิวของเส้นใยด้วยสารคุ่มป้าไซเลน

สารคุ่มป้าที่นิยมใช้กันมากในปัจจุบัน ได้แก่ ไซเลน (Silane coupling agents) เนื่องจากไซเลนนำไปใช้งานได้หลากหลาย เช่น ในพลาสติกเสริมแรง งานเคลือบพิว งานทาสี ทำหมึก กาว สารขึ้นตัว และยาง และมีความหวังไวในการเข้าทำปฏิกิริยาได้ดี

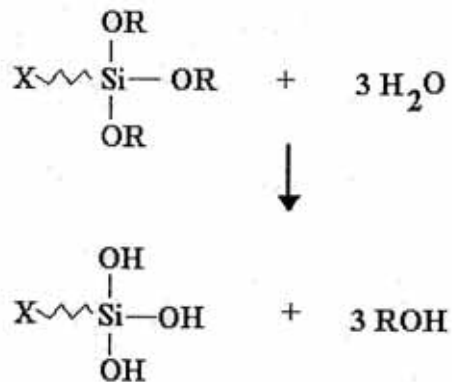
#### 2.3.3.1 ความหมายและสูตรโครงสร้างทางเคมีของไซเลน

ไซเลน เป็นสารคุ่มป้าที่มีชาติสิลิโคน (silicon) อยู่ในโครงสร้าง มีสูตรโครงสร้างทางเคมีคือ  $((OR)_3-Si-R'-X)$  ซึ่งประกอบด้วยหมู่แทนที่ 2 ชนิด คือ หมู่แทนที่ซึ่งเป็นสารอินทรีย์ (Organic substituents) และหมู่ที่เป็นสารอนินทรีย์ (Inorganic substituents) ขึ้นอยู่บนสายโซ่โมเลกุลเดียวกัน โดยหมู่ฟังก์ชันที่เป็นพวกรสสารอินทรีย์ ในที่นี้แทนด้วย X เช่น อะมิโน (Amino) อีพอกซี่ (Epoxy) และเมทาไครเลต (Methacrylate) จะเข้าทำปฏิกิริยากับวัสดุอินทรีย์ (Organic materials) เช่น พวกรสสารอินทรีย์ ส่วนตัวเชื่อมหรือพันธะอัลกิลีน (Alkylene linkage) แทนด้วย R' ซึ่งเป็นตัวเชื่อมระหว่างชาติสิลิโคนและหมู่ฟังก์ชันที่เป็นพวกรสสารอินทรีย์และอีกชนิดหนึ่งคือ หมู่ฟังก์ชันที่สามารถทำปฏิกิริยากับน้ำได้ (Hydrolysable functional group) ในที่นี้แทนด้วย OR เช่น เมทอโอลซี (Methoxy) และเอทธอლซี (Ethoxy) โดยจะเปลี่ยนเป็นหมู่ไซลานอล (Silanol group) คือ Si-OH เมื่อเข้าทำปฏิกิริยากับน้ำ ซึ่งหมู่นี้สามารถเข้าทำปฏิกิริยากับวัสดุอินทรีย์ (inorganic materials) เช่น พวกรสเส้นใยแก้ว และยังสามารถเข้าทำปฏิกิริยากับวัสดุอินทรีย์ เช่น เส้นใยธรรมชาติ ทำให้เส้นใยธรรมชาติสามารถยึดเกาะกับพวกรสได้ดี โดยไซเลนที่จำหน่ายกันอยู่ในปัจจุบันนี้มี

หมู่ฟังก์ชัน คือ หมู่ X แตกต่างกัน ซึ่งเกิดจากการสังเคราะห์ที่แตกต่างกัน เพื่อให้เหมาะสมกับพอลิเมอร์แต่ละชนิด

กลไกการสร้างพันธะของ ไซเลนสามารถแบ่งออกได้เป็น 3 ขั้นตอน ดังนี้

### 1. ปฏิกิริยาไฮโดรไลซิส (hydrolysis)

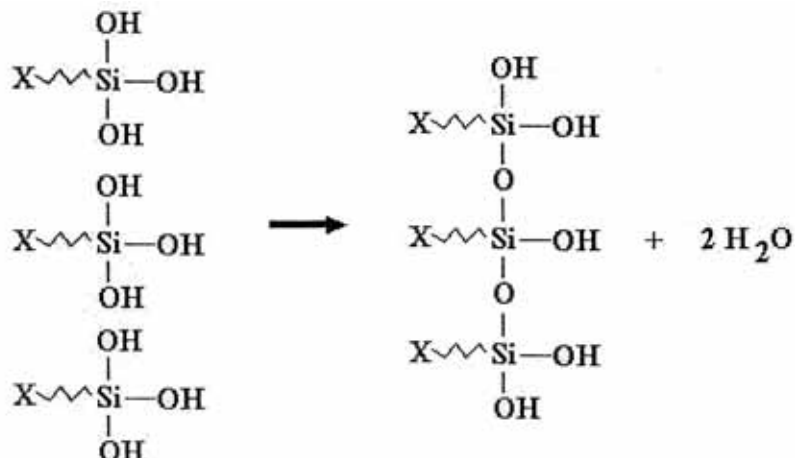


ภาพที่ 18 ปฏิกิริยาไฮโดรไลซิสของไซเลน[12]

จากภาพที่ 18 X คือ หมู่ฟังก์ชันที่เป็นพวกสารอินทรี และ OR คือ หมู่ฟังก์ชันที่สามารถทำปฏิกิริยากับน้ำได้ พบว่า ไซเลนถูกทำปฏิกิริยาไฮโดรไลซิสกับน้ำ ทำให้หมู่อัลกอไฮด์ (Alkoxide) หรือหมู่ OR บนไซเลนถูกเปลี่ยนเป็นหมู่ไฮดรอกซิล (-OH) เรียกว่า ไซลanol (Silanol) เพื่อให้เกิดพันธะไฮโดรเจนระหว่างไซเลนกับเส้นใยธรรมชาติ

### 2. ปฏิกิริยาควบแน่น (Condensation reaction)

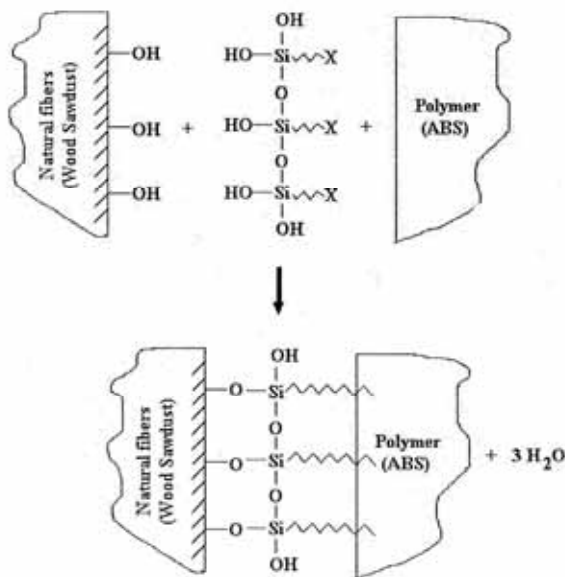
ปฏิกิริยาควบแน่น แสดงดังภาพที่ 19 โดยเริ่มเกิดจากขั้นตอนแรกไซลanol สามอัน ไม่เลกูเล็กซ์ทำปฏิกิริยาควบแน่น (Condensation reaction) กันเอง ทำให้ได้สายโซ่ไม่เลกูเล็กซ์ที่ยาวขึ้น เป็นพอลิไซลanol (polysilanol) และจะเข้าทำปฏิกิริยากับเส้นใยธรรมชาติในขั้นตอนต่อไป



ภาพที่ 19 ปฏิกิริยาควบแน่นของไซลanol [12]

### 3. ขั้นตอนการปรับปรุงพิวสีนัยธรรมชาติ (Surface modification)

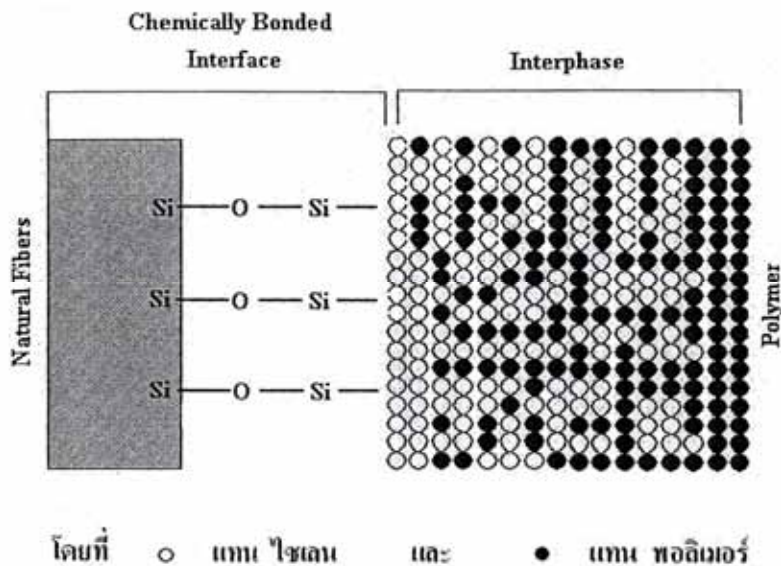
ขั้นตอนการปรับปรุงพิวสีนัยธรรมชาติ เป็นการนำพอลิไชลานอลที่ได้มาทำปฏิกิริยาทางเคมีกับเส้นใยธรรมชาติ โดยด้านที่มีหมู่ไฮดรอกซิลสร้างพันธะไฮโดรเจนกับหมู่ไฮดรอกซิลของโมเลกุลเซลลูโลสในเส้นใยธรรมชาติ และเมื่อได้รับความร้อนโมเลกุลดังกล่าวปลดปล่อยน้ำออกมานำไปเกิดการสร้างพันธะโควาเลนซ์ระหว่างเส้นใยธรรมชาติกับพอลิไชลานอลด้วยหมู่อีเทอร์ (Ether linkage) และปลายสายโซ่โมเลกุลออกข้างหนึ่งของไชเลน (X) จับกับพอลิเมอร์ แสดงดังภาพที่ 20



ภาพที่ 20 ขั้นตอนการปรับปรุงพิวสีนัยธรรมชาติด้วยพอลิไชลานอล [12]

#### 2.3.3.2 การแพร่เข้าไปของพอลิเมอร์ในส่วนเสริมแรงที่ผ่านการปรับปรุงพิว

พันธะที่เกิดระหว่างไชเลนและพอลิเมอร์เป็นพันธะที่ซับซ้อน โดยการเกิดพันธะระหว่างไชเลนและพอลิเมอร์ชนิดเทอร์โมพลาสติกนั้นเกิดโดยการแพร่ (Diffusion) เข้าไปภายในส่วนที่เกิดการซึมต่อระหว่างเฟสของพอลิเมอร์ แสดงดังภาพที่ 21 การที่พอลิเมอร์แทรกซึมเข้าไปภายในหลาຍฯ ชั้นของโครงสร้างเส้นใยธรรมชาติที่ผ่านการปรับปรุงพื้นผิวด้วยไชเลนแล้วนั้น ความเข้ากันได้ (Solubility) อย่างเหมาะสมระหว่างไชเลนกับพอลิเมอร์จะช่วยเพิ่มสมบัติทางกล เช่น ความต้านแรงดึง แรงกระแทก และการโคงงอ และสามารถลดการดูดซับความชื้นของวัสดุเชิงประกอบ (Composites) ด้วย



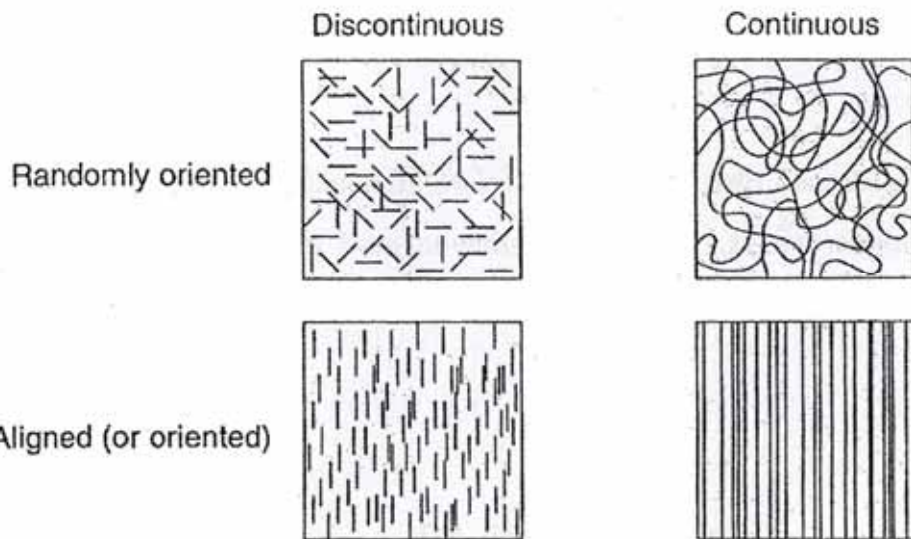
ภาพที่ 21 โนเดลการแพร่ของพอลิเมอร์บนพื้นผิวเส้นใยธรรมชาติที่ปรับปรุงด้วยไชเลน [12]

## 2.4 วัสดุคอมโพสิต

วัสดุคอมโพสิต (Composite materials) คือ วัสดุที่ประกอบด้วยองค์ประกอบอนหลักอย่างน้อย 2 ส่วน ซึ่งแต่ละส่วนเป็นองค์ประกอบที่มีความแตกต่างกันอย่างเห็นได้ชัด และองค์ประกอบหลัก 2 ส่วนดังกล่าวจะถูกเรียกว่า ส่วนเสริมแรง (Reinforcement) และส่วนของเมทริกซ์ (Matrix)

### 2.4.1 ส่วนเสริมแรง

ส่วนเสริมแรง (Reinforcement) เป็นส่วนที่ทำหน้าที่เพิ่มความแข็งแรงให้กับวัสดุเชิงประกอบ ซึ่งเป็นส่วนที่มีความแข็งแรง และมีค่ามอดูลัสสูง จึงเป็นส่วนที่คอยรับแรงหลักของวัสดุเชิงประกอบ และส่วนเสริมแรงที่นิยมใช้กันมีหลายชนิด และที่เป็นประเภทเด่นๆ ได้แก่ เส้นใยธรรมชาติ เส้นไนโตรเจน เส้นไยการ์บอน และเส้นไยอะรามิด (Aramid) ซึ่งเส้นไยพากนี้อาจเป็นเส้นใยยาวหรือเส้นไขสัน្ត และอาจเกิดเป็นเส้นไยพันกันหรือห่อให้มีโครงสร้างแบบต่างๆ โดยการจัดเรียงตัวของส่วนเสริมแรงแบบต่างๆ ขึ้นอยู่กับความต้องการในการใช้งาน แสดงดังภาพที่ 22



ภาพที่ 22 การจัดเรียงตัวที่ต่างกันของส่วนเสริมแรง [32]

#### 2.4.2 ส่วนแมทริกซ์

ส่วนแมทริกซ์ (Matrix) เป็นส่วนที่ทำหน้าที่ยึดส่วนเสริมแรงเข้าด้วยกัน เพื่อให้ส่วนเสริมแรงอยู่ในตำแหน่งและมีการจัดเรียงตัวตามที่กำหนด โดยส่วนนี้อยู่ล้อมรอบและค่อยปักปiesel ส่วนเสริมแรงจากการเสื่อมสภาพเนื่องมาจากการสิ่งแวดล้อม เช่น ความชื้น แสงแดด และอากาศ เป็นต้น ซึ่งส่วนนี้มักมีความแข็งแรง และมีค่ามอดูลัสต่ำกว่าส่วนเสริมแรง เมทริกซ์เป็นส่วนที่มีความต่อเนื่องทำให้สามารถถ่ายเทแรงที่ได้รับไปสู่ส่วนเสริมแรงได้ง่าย และเมทริกซ์ที่นิยมใช้ในปัจจุบันได้แก่ พอลิเมอร์ โลหะ และเซรามิกส์ เป็นต้น

#### 2.4.3 ปัจจัยที่ส่งผลต่อสมบัติของวัสดุเชิงประกอบ

1. สัดส่วนของส่วนผสม
2. ความแข็งและพันธะทางเคมีที่เกิดขึ้นระหว่างเฟส
3. ภาพร่าง ขนาด การจัดเรียงตัว และการกระจายตัวของส่วนเสริมแรง
4. สภาพแวดล้อม

#### 2.4.4 ทฤษฎีการยึดเกาะระหว่างเฟสของสสารเชิงประกอบ

ในวัสดุเชิงประกอบ เมทริกซ์สามารถยึดเกาะกับเส้นใยในบริเวณระหว่างเฟส (interphases) ได้หลายวิธีด้วยกัน โดยมีกลไกการยึดเกาะหลักๆ 5 กลไกด้วยกัน แสดงดังภาพที่ 23 ซึ่งอาจเกิดแบบใดแบบหนึ่งหรือเกิดร่วมกันก็ได้ ดังต่อไปนี้

#### **2.4.4.1 การดูดซับและการเปียก (Absorption and wetting)**

การดูดซับและการเปียก เกิดขึ้นเมื่อพื้นผิวสองพื้นผิวที่ไม่มีประจุไฟฟ้าเข้าใกล้กันมากพอ จนสามารถเกิดแรงดึงดูดทางกล ได้ (Physical attraction) เช่น เกิดการเปียก (Wetting) ของของเหลว บนพื้นผิวของของแข็ง ส่วนในกรณีของของแข็งสองชนิดที่อยู่ใกล้กันมากพอในระดับจุลภาค หรือ ระดับอะตอม ความรุบธรรมของพื้นผิวจะขัดขวางไม่ให้เกิดการยึดเกาะกัน ได้ ในกรณีนี้จึงเกิดการยึดเกาะแบบการดูดซับ (Absorption) และการเปียก (Wetting) ได้ยาก ซึ่งการยึดเกาะแบบการดูดซับ และการเปียกนี้ เกิดจากการกระจายตัวของแรงระหว่างโมเลกุลที่สัมผัสกัน ซึ่งตามทฤษฎีแล้วการยึดเกาะแบบนี้จะมีความแข็งแรงสูง แต่ในความเป็นจริงแล้วกลับมีความแข็งแรงน้อยมาก อาจ เนื่องจากพื้นผิวของเส้นใยที่มีความสักปัก การเกิดฟองอากาศระหว่างกระบวนการขึ้นรูป หรือการ หดตัวของเมทริกซ์เอง จึงทำให้เกิดแรงค่าน (Stress) และซ่องว่างระหว่างเมทริกซ์กับเส้นใย

#### **2.4.4.2 การแพร่เข้าหากัน (Interdiffusion)**

การแพร่เข้าหากัน เกิดจากการยึดเกาะของพื้นผิวพอลิเมอร์สองชนิด โดยโมเลกุลของพอลิเมอร์ที่บริเวณพื้นผิวสัมผัสทั้งสองมีการแพร่เข้าหากัน ความแข็งแรงของการยึดเกาะชนิดนี้จะขึ้นกับ ปริมาณการพันกันของสายโซ่โมเลกุล (Molecular entanglement) และความสามารถในการแพร่โดยการพันกันขึ้นอยู่กับความสามารถในการเคลื่อนที่ของสายโซ่โมเลกุล ดังนั้นการยึดเกาะแบบ การแพร่เข้าหากัน (Interdiffusion) สามารถเพิ่มขึ้น ได้โดยการใช้ตัวทำละลายที่บริเวณพื้นผิว หรือการเติมสารพลาสติกเซอร์ (Plasticizers) ทำให้สายโซ่โมเลกุลของพอลิเมอร์สามารถเคลื่อนที่ ได้ง่าย ซึ่งกลไกการยึดเกาะแบบนี้เกิดขึ้นได้กับเส้นใยที่มีการเคลื่อนพอลิเมอร์ เพื่อปรับปรุงพื้นผิว ก่อนการผสมกับเมทริกซ์ แต่ไม่เกิดในคอมโพสิตที่มีพื้นผิวของเส้นใยแข็ง และไม่มีการเคลื่อนที่ ของสายโซ่โมเลกุล

#### **2.4.4.3 แรงดึงดูประจุหรือไฟฟ้าสถิต (Electrostatic attraction)**

แรงดึงดูประจุหรือไฟฟ้าสถิต เกิดขึ้นเมื่อพื้นผิวสองชนิดมีประจุต่างกันมารอยู่ใกล้กัน คือ พื้นผิวหนึ่งมีประจุเป็นบวกและอีกพื้นผิวหนึ่งมีประจุเป็นลบ ความแข็งแรงของกลไกการยึดเกาะ ชนิดนี้ขึ้นกับความหนาแน่นของประจุ แรงดึงดูดระหว่างประจุ หรือไฟฟ้าสถิต (Electrostatic attraction) กลไกการยึดเกาะชนิดอื่นคือ ช่วยให้เกิดการยึดเกาะในคอมโพสิตได้ดีขึ้น เช่น การยึดเกาะของสารคุณภาพประเภทสารไฮเดนที่มีหมู่ฟังก์ชันเป็นประจุบวกมีการยึดติดได้ดีกับเส้นใยแก้วที่ มีประจุลบของหมู่ไฮดรอกซิล (-OH) บนพื้นผิวเส้นใย

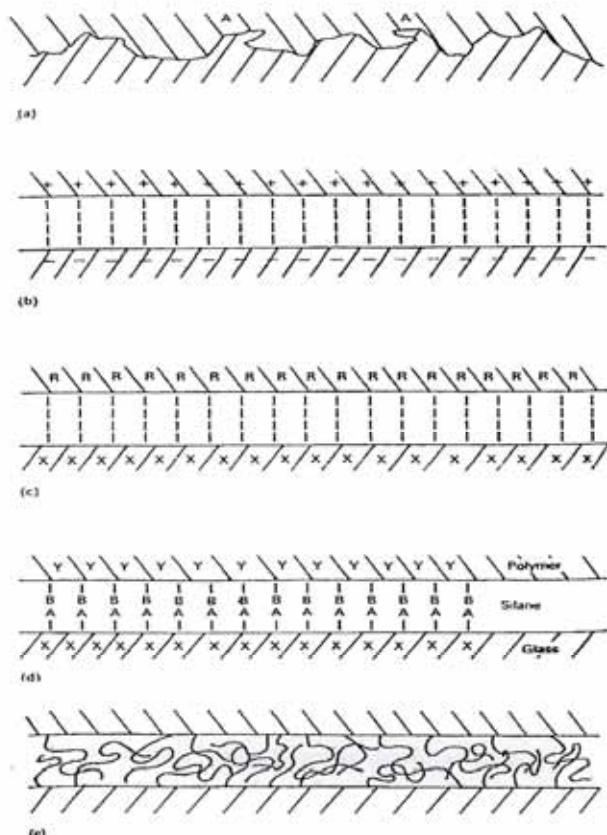
#### **2.4.4.4 พันธะเคมี (Chemical bonding)**

พันธะเคมี เป็นกลไกการยึดเกาะที่สำคัญชนิดหนึ่ง เกิดขึ้นเมื่อเส้นใยมีหมู่ฟังก์ชันเคมีบน พื้นผิวและเมทริกซ์มีหมู่ฟังก์ชันเคมีที่สามารถเกิดปฏิกิริยาเคมีหรือเกิดเป็นพันธะเคมี ได้ เช่น การ

เกิดพันธะโควาเลนต์เชื่อมระหว่างเส้นใยกับเมทริกซ์ ซึ่งเป็นการยึดเกาะที่แข็งแรง และความแข็งแรงของกลการยึดเกาะขึ้นอยู่กับจำนวนและชนิดของพันธะที่เกิดขึ้น ซึ่งพันธะเคมีที่เกิดขึ้นมี 5 ชนิด คือ พันธะโควาเลนต์ (Covalent bonds) พันธะที่เกิดจากแรงไออ้อนิก (Ionic force) พันธะโลหะ (Metallic bonds) พันธะไฮโดรเจน (Hydrogen bonds) และพันธะที่เกิดจากแรงแวนเดอร์วัล (Van der waals forces)

#### 2.4.4.5 การยึดเกาะทางกล

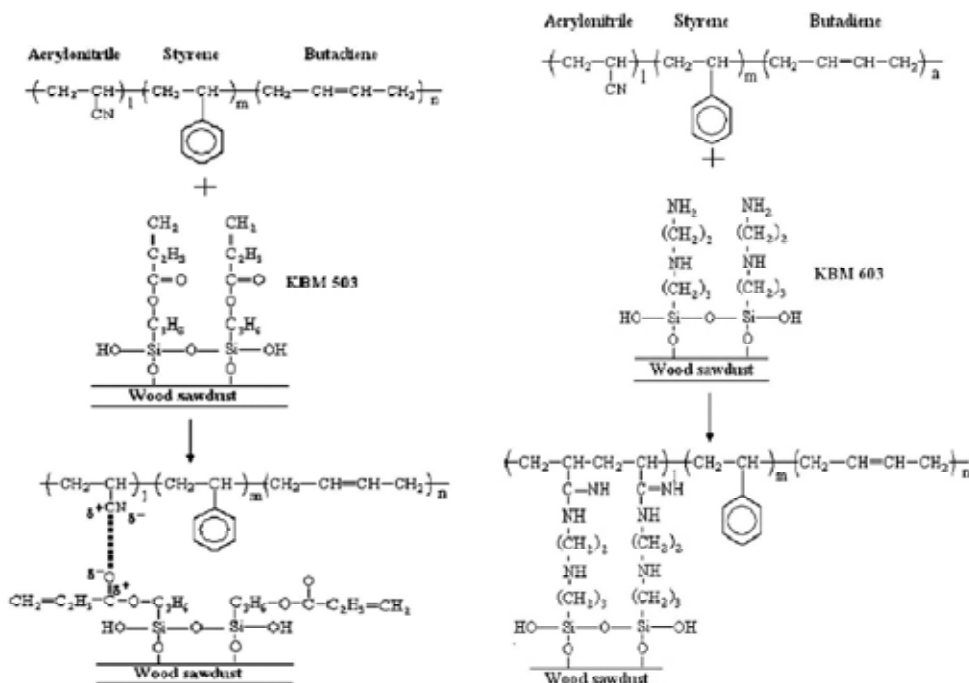
การยึดเกาะทางกล (Mechanical attraction หรือ mechanical interlocking) เกิดขึ้นในกระบวนการผลิตหรือในกระบวนการขึ้นรูป คือ เมื่อเมทริกซ์เปียกบนพื้นผิวของเส้นใยในขณะที่เป็นของเหลว ซึ่งทำให้เมทริกซ์สามารถแทรกตัวไปตามพื้นผิวที่ขรุขระของเส้นใย หรือในร่องบนพื้นผิวเส้นใยแล้วทำให้เกิดการเชื่อมโยง เมทริกซ์แข็งตัวติดกับพื้นผิวของเส้นใย ซึ่งความแข็งแรงของการยึดเกาะชนิดนี้ขึ้นอยู่กับ ความรุขระของพื้นผิวเส้นใยที่ทำให้เมทริกซ์แทรกตัวเข้าไปได้ และความหนืดของเมทริกซ์เอง



ภาพที่ 23 กลไกการยึดเกาะของพันธะที่เกิดขึ้นระหว่างเฟส a) การยึดเกาะทางกลการ b) แรงดึงดูดประจุหรือไฟฟ้าสถิต c) การแปรรูปหากัน d) พันธะเคมี e) ดูดซับและการเปียก [32]

## 2.5 งานวิจัยที่เกี่ยวข้อง

**Chotirat และคณะ [33]** ทำการศึกษากลไกการยึดเกาะระหว่างวัสดุคอมโพสิตอะคริโลไนไตร์ - บิวตัล ไดอีน - สไตรีน (ABS) กับชีลเลอร์ไม้ที่ผ่านการปรับปรุงพิวแอล์ดี้วายสารคูคูควบไชเลน 2 ชนิด คือ N-2(aminoethyl)3-aminopropyl trimethoxysilane (KBM603) และ 3-Methacryloxypropyl trimethoxysilane (KBM503) ที่ปริมาณความเข้มข้น 0-2 % โดยนำหนักของชีลเลอร์ไม้ ออกจากน้ำยังศึกษาปริมาณชีลเลอร์ไม้ที่เหมาะสมในการผสมกับเอ็นเบส รวมถึงการหานิคและปริมาณของสารคูคูควบไชเลนที่เหมาะสมที่ใช้ปรับปรุงพิวแอล์ดี้วายสารคูคูคอมโพสิตที่มีเอ็นเบสเป็นเมติกิซ์จากการศึกษาพบว่า เมื่อปริมาณชีลเลอร์ไม้ที่ผสมกับ ABS เพิ่มขึ้น ทำให้มีค่ามอคูลัสเพิ่มขึ้น แต่ค่าความแข็งแรงของวัสดุคอมโพสิตลดลง และ ยังพบว่า ปริมาณที่เหมาะสมของสารคูคูควบไชเลนชนิด KBM503 และ ชนิด KBM603 ที่ใช้ปรับปรุงพิวแอล์ดี้วายไม้คือ 1 % และ 0.5 % โดยนำหนักของชีลเลอร์ไม้ตามลำดับ โดยชีลเลอร์ไม้ที่ผ่านการปรับปรุงพิวแல์ดี้วายสารคูคูควบไชเลนชนิด KBM603 มีประสิทธิภาพในการยึดเกาะระหว่างวัสดุคอมโพสิตเอ็นเบสกับชีลเลอร์ไม้ที่ดีกว่า ชนิด KBM503 เป็นผลเนื่องมาจากการยึดเกาะเกิดจากการเชื่อมโยงด้วยพันธะโควาเลนต์ของ N-C จากหมู่ -NH<sub>2</sub> ของสารคูคูควบไชเลนชนิด KBM603 กับ หมู่ -C≡N ของ ABS ซึ่งแข็งแรงกว่า การเชื่อมโยงด้วยแรงไคลโพร์-ไคลโพร์ ระหว่าง หมู่ C=O ของสารคูคูควบไชเลนชนิด KBM503 และ หมู่ -C≡N ของเอ็นเบสดังแสดงในภาพที่ 24



ภาพที่ 24 แสดงกลไกการยึดเกาะของสารคูคูควบ KBM 603 และ 503

**Tiganis และคณะ [34]** ได้ทำการศึกษาการสลายตัวทางความร้อนของเอบีอีอีส โดยการทำ Aging ที่อุณหภูมิสูงกว่า 80 องศาเซลเซียสในสภาวะที่มี Oxygen จากการศึกษาพบว่าการเกิดการสลายตัวของ ABS จะเกิดที่ผิวของชิ้นงาน ABS เนื่องจาก Oxygen แพร่เข้าไปในเนื้อชิ้นงานได้อย่างจำกัด และการ Aging ภายใต้สภาวะแรงดึงดูดจะทำให้เกิดการแตกหักของชิ้นงานจะเริ่มจากร่องรอยที่เกิดจากการสลายตัวที่พื้นผิวของชิ้นงาน โดยที่ชั้นของ ABS ที่เกิดการสลายตัวจะต้องมีความหนาจนถึง 0.08 นิ้ว จึงจะทำให้รอยแตกที่ข้าดใหญ่พอก็จะเกิดการแตกหักเข้าไปในเนื้อของชิ้นงาน ผลจาก FTIR แสดงให้เห็นถึงการสลายตัวของ ABS จะเกิดในเฟสของ Polybutadiene (PB) โดยจะเริ่มจาก การ Abstract ของ Hydrogen จาก C carbon ที่พันธะคู่ ทำให้เกิดอนุมูลอิสระซึ่งเป็นสาเหตุให้เกิดหมู่คาร์บอนิลและไฮดรอกซิลชิ้น นอกจากนี้ยังทำให้เกิดการ Crosslink ระหว่างสายโซ่ของ ABS ชิ้นอีกด้วยซึ่งลูกยืนยันด้วยผลจาก Positron annihilation lifetime spectroscopy โดยแสดงให้เห็นถึงการลดลงของ Free volume ที่บริเวณพื้นผิวของชิ้นงาน และจะทำให้ผลิตเมอร์มีความหนาแน่น ความแข็งและความดูลัสมากขึ้น นอกจากนี้ยังมีการใช้เทคนิค DMA ในการยืนยันการเกิด Crosslink โดยแสดงให้เห็นถึงการเพิ่มขึ้นของ Tg ของเฟส PB เฟส ภายหลังการ Aging

**Kim และ คณะ [15, 16]** ทำการศึกษาการผลิตวัสดุเอบีอีอีส ด้วยการผสมของ SAN กับ Butadiene ที่กราฟท์ด้วย SAN โดยใช้กระบวนการ Emulsion ซึ่ง SAN matrix ที่ใช้จะมีปริมาณ Acrylonitrile (AN) ที่แตกต่างกันตั้งแต่ 0-40% ในขณะที่ SAN ที่กราฟท์กับ Butadiene จะมีปริมาณ Acrylonitrile คงที่ที่ 22.5% พบว่าค่าความแข็งแรงและค่าความเหนียวของวัสดุมีค่าสูงสุดที่การใช้ SAN matrix ที่มีปริมาณ Acrylonitrile 34% ส่วนการศึกษาพฤติกรรมการเปลี่ยนรูปด้วยเทคนิค Dilatometry พบว่าไม่มีการเปลี่ยนแปลงกลไกการเปลี่ยนรูปเมื่อมีการเปลี่ยนแปลงปริมาณ Acrylonitrile ใน SAN matrix นอกจากนี้การศึกษาด้วย TEM แสดงให้เห็นถึงการกระจายตัวที่แตกต่างกันของ Rubber phase ใน Matrix รวมทั้งการศึกษา Morphology ของพื้นผิวที่แตกหักด้วยเทคนิค SEM พบว่ามีลักษณะที่แตกต่างกัน ซึ่งเกี่ยวข้องกับ miscible region ของ SAN graft และ SAN matrix นอกจากนี้ Kim และคณะ ได้ทำการศึกษาวัสดุ ABS ซึ่งเตรียมด้วยวิธีการเดิมแต่ทำการปรับเปลี่ยนปริมาณ AN ทั้งใน SAN matrix (14.7- 40%) และ SAN graft (14.2 - 37.5%) จากนั้นทำการศึกษาสมบัติเชิงกล แรงดึงดูดระหว่าง SAN graft และ SAN matrix รวมถึง Dynamic mechanical properties ซึ่งจากผลการทดลองพบว่าพฤติกรรมเชิงกลของวัสดุ ABS ที่เตรียมขึ้นพบว่าจะมีค่าเดียวกันที่สุดเมื่อปริมาณ AN ใน SAN matrix มีค่าๆหนึ่งและมากกว่าปริมาณ AN ใน SAN graft และค่าสูงสุดดังกล่าวจะสูงขึ้นตามปริมาณ AN ใน SAN graft สำหรับการศึกษาการยึดติดระหว่างเฟสด้วย Lap shear measurement พบว่าการยึดติดจะมีค่าสูงสุดที่ปริมาณ AN ของทั้ง SAN

graft และ SAN matrix มีค่าที่เหมาะสมอยู่ค่าหนึ่ง แต่จะอยู่นอก miscible region ตามทฤษฎี และใน การศึกษา Dynamic mechanical properties โดยจะพิจารณาค่า Glass transition temperature พบว่า ค่า Tg ของ Rubber phase จะเพิ่มขึ้นตามปริมาณ AN ใน matrix

**Chastagner** [35] ทำการศึกษาปริมาณปีเลือยไม้ ปริมาณ SAN และ อุณหภูมิในการขึ้นรูป ต่อคุณสมบัติการ ไฟลของวัสดุคอมโพสิตระหว่าง ABS กับปีเลือยไม้เมเปิล (maple wood flour) ที่ ทดสอบโดยใช้ slit die rheometer ที่มีขนาดความสูง 5 มิลลิเมตร และ ความกว้าง 50 มิลลิเมตร โดย ปีเลือยไม้เมเปิลมีขนาด 40 mesh โดยปรับเปลี่ยนปริมาณปีเลือยตั้งแต่ 20 – 40 % โดยน้ำหนัก นอกจากนี้ ยังทำการศึกษาปริมาณปีเลือยไม้ ต่อคุณสมบัติการ ไฟลของวัสดุคอมโพสิตระหว่าง พอลี พอลีเอ็นชิดความหนาแน่นสูง (HDPE) กับปีเลือยไม้เมเปิลที่ทดสอบโดยใช้ slit die จากการศึกษา พบว่า เมื่อปริมาณปีเลือยไม้ที่ผสมกับ ABS เพิ่มขึ้น และ ปริมาณ SAN เพิ่มขึ้น ทำให้ความหนืดของ พอลิเมอร์หลอมเหลวลดลง เช่นเดียวกันกับเมื่อปริมาณปีเลือยไม้ที่ผสมใน HDPE เพิ่มขึ้น ทำให้ ความหนืดของพอลิเมอร์หลอมเหลวลดลง ซึ่งผลที่ได้สอดคล้องกับการทดสอบคุณสมบัติการ ไฟล ของวัสดุคอมโพสิตที่ทดสอบโดยใช้ capillary die rheometer

## บทที่ 3

### วิธีการทดลอง

#### 3.1 อุปกรณ์และเครื่องมือที่ใช้ในการทดลอง

##### 3.1.1 เครื่องมือสำหรับทำการทดสอบวัสดุคอมโพสิตระหว่างผงไม้และเอนบีอีส

- เครื่องอัดรีดแบบเกลียวหนอนคู่ (Twin screw extruder)
- เครื่องผสมความเร็วสูง (High speed mixer)

##### 3.1.2 เครื่องมือสำหรับขึ้นรูปชิ้นงาน

- เครื่องนีดพลาสติก (Injection molding machine)
- เครื่องอัดขึ้นรูป (Compression molding machine)

##### 3.1.3 เครื่องทดสอบสมบัติต่างๆของวัสดุคอมโพสิต

###### 3.1.3.1 เครื่องมือสำหรับวิเคราะห์หาปริมาณโมโนเมอร์ในพลาสติกเอนบีอีส

- เครื่องนิวเคลียร์แมกเนติกเรโซแนนซ์ (NMR)
  - เครื่องวิเคราะห์องค์ประกอบชาตุ (CHN Analyzer)
- เครื่องมือวิเคราะห์น้ำหนักโมเลกุลเอนบีอีส

###### 3.1.3.2 เครื่องมือสำหรับทดสอบสมบัติการไหล

- คาปิลารี รีโอมิเตอร์ (Capillary Rheometer)

###### 3.1.3.3 เครื่องมือสำหรับทดสอบสมบัติทางความร้อน

- เครื่องศึกษาการเปลี่ยนแปลงน้ำหนักของสาร โดยอาศัยสมบัติทางความร้อน (TGA)
- เครื่องทดสอบสมบัติพลวัติเชิงกล (DMA)

###### 3.1.3.4 เครื่องทดสอบสมบัติทางกล

- เครื่องทดสอบแรงดึงแรงดันก่อประ朔งก (Universal Testing Machine)
- เครื่องทดสอบความต้านแรงกระแทก (Impact Tester)

###### 3.1.3.5 เครื่องทดสอบสัมฐานวิทยา

- กล้องจุลทรรศน์อิเล็กตรอนแบบส่องกราด (SEM)

### 3.2 สารเคมีที่ใช้ในการทดลอง

3.2.1 เม็ดพลาสติกอะบีโอส จากบริษัท ไออาร์พีซี จำกัด (มหาชน) ห้องหมุด 3 เกรด ได้แก่

- GA300 (High flow; HF-ABS)
- MH-1(Medium Impact; MI-ABS)
- SP200 (Super high impact; SI-ABS)

3.2.2 ผงไม้ข้างพารา (Para-sawdust) จากบริษัท วี.พี. วูด จำกัด ซึ่งผงไม้ดังกล่าว暖มาคัดแยกขนาด โดยขนาดผงไม้ที่ใช้ในงานวิจัยนี้จะอยู่ในช่วง 100 – 300 ไมครอน

3.2.3 สารคุณภาพไชเลนชนิด N-2(aminoethyl)3-aminopropyl trimethoxysilane จากบริษัท Sigma-Aldrich, Inc. ประเทศเยอรมัน

3.2.4 น้ำปราศจากไฮเดรต (Deionized water)

3.2.5 กรดอะซิติกแอซิด (Acetic acid)

3.2.6 สารละลายน้ำไดคลอโรฟอร์ม (Dichloroform)

### 3.3 การพิสูจน์เอกสารณฑ์ของพลาสติกอะบีโอส

3.3.1 การวิเคราะห์หาปริมาณโมโนเมอร์ในพลาสติกอะบีโอส

ในการวิเคราะห์หาปริมาณ โมโนเมอร์แต่ละชนิดในพลาสติก ABS แต่ละเกรดนั้น ใช้สองเทคนิคในการวิเคราะห์คือ Proton-nuclear magnetic resonance (H-NMR) และเทคนิค Elemental Analysis (CHN/O) ในการวิเคราะห์

**3.3.1.1 การวิเคราะห์ด้วยเทคนิค H-NMR**

การวิเคราะห์ด้วยเทคนิค H-NMR ทำการวิเคราะห์ด้วยเครื่อง NMR spectrometer ยี่ห้อ Bruker รุ่น 300 ด้วยความถี่ส่วนแม่เหล็ก 300 MHz โดยตัวอย่างที่นำมาวิเคราะห์อยู่ในรูปสารละลายน้ำจาง โดยนำเม็ดพลาสติกอะบีโอส ประมาณ 5-10 มิลลิกรัม ละลายใน D-Chloroform แล้วเขย่าจนกระพี้ด้วยตัวอย่างละลายเป็นเนื้อเดียว แล้วจึงนำไปวิเคราะห์ด้วย NMR spectrometer ซึ่งผลที่ได้บ่งบอกถึงสัดส่วนของโมโนเมอร์แต่ละชนิด

**3.3.1.2 การวิเคราะห์ด้วย Elemental Analysis (CHN)**

ทำการวิเคราะห์หาปริมาณธาตุคงค์ประกอบในเม็ดพลาสติกอะบีโอส ด้วยเครื่อง CHNs/O Analyzer ของบริษัท Perkin Elmer Instrument รุ่น Series II 2400 ดังแสดงในภาพที่ 25 ซึ่งใช้ตัวอย่างเม็ดพลาสติกอะบีโอสน้ำหนักประมาณ 1.0 – 1.5 มิลลิกรัม ผลที่ได้อยู่ในรูปของปริมาณธาตุแต่ละชนิดได้แก่ C, H และ N ในพลาสติกอะบีโอส



ภาพที่ 25 เครื่อง CHNs/O Analyzer [36]

### 3.3.2 การวิเคราะห์หน้าแน่นักโภมเลกุลด้วย Ubbelohde Viscometer

การวิเคราะห์หน้าแน่นักโภมเลกุลด้วย Ubbelohde viscometer โดยอาศัยหลักการของความสัมพันธ์ระหว่างความหนืดกับหน้าแน่นักโภมเลกุลตามสมการของ Mark-Houwink-Sakurada [37] ดังแสดงในสมการที่ 3.1

$$[\eta] = KM_v^a \quad (\text{สมการที่ } 3.1)$$

เมื่อ  $M_v$  คือหน้าแน่นักโภมเลกุล

$[\eta]$  คือค่า intrinsic viscosity

K และ a คือค่าคงที่ของสมการ



ภาพที่ 26 เครื่องวัดความหนืด Ubbelohde viscometer [38]

โดยในการทดลอง เริ่มจากการเติมสารละลายนีโอสที่ความเข้มข้น 1, 0.5, 0.25, 0.125 และ 0.063 กรัมต่อลิตร ในตัวทำละลายคลอร์ฟอร์ม จากนั้นใส่สารละลายนีโอสลงในกระเบาของ Ubbelohde Viscometer ดังภาพที่ 26 และวัดเวลาที่สารละลายนีโอสและตัวทำละลายบริสุทธิ์ไหลผ่านกระเบาของ Viscometer ซึ่งเวลาที่วัดได้สามารถคำนวณหาค่าความหนืดจำเพาะ (Specific viscosity,  $\eta_{sp}$ ) จากสมการที่ 3.2

$$\eta_{sp} = (t_c - t_0)/t_0 \quad (\text{สมการที่ } 3.2)$$

เมื่อ  $\eta_{sp}$  คือ ค่าความหนืดจำเพาะ

$t_c$  คือ เวลาที่สารละลายนีโอสไหลผ่านกระเบา (วินาที)

$t_0$  คือ เวลาที่ตัวทำละลายบริสุทธิ์ไหลผ่านกระเบา (วินาที)

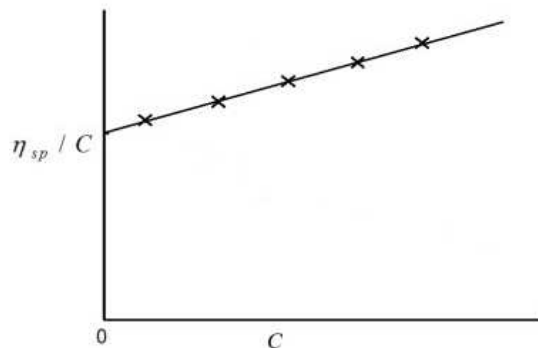
จากนั้นข้อมูลที่ได้จะนำมาใช้ในการคำนวณหาค่า Intrinsic viscosity จากสมการของ Huggins ดังสมการที่ 3.3

$$(\eta_{sp}/c) = [\eta] + k[\eta]^2 c \quad (\text{สมการที่ } 3.3)$$

เมื่อ  $k$  คือ ค่าคงที่สมการ

$c$  คือ ความเข้มข้น (g/L)

จากสมการที่ 3.3 เมื่อผลตกราฟระหว่าง  $(\eta_{sp}/c)$  กับ  $c$  ทำให้สามารถหาค่า Intrinsic viscosity จากจุดตัดแกน Y ของเส้นกราฟดังภาพที่ 27



ภาพที่ 27 แสดงลักษณะการผลตกราฟเพื่อหาค่า Intrinsic viscosity จากสมการของ Huggins [39]

เมื่อแทนค่า Intrinsic viscosity ที่คำนวณได้ลงในสมการที่ 3.1 และแทนค่าคงที่ต่างๆลงในสมการที่ 3.1 ( $k = 1.5 \times 10^{-4}$  และ  $a = 0.7$  [40]) แล้วคำนวณนำหนักโนมเลกุลเฉลี่ยของเนื้อเยื่อได้

### 3.4 การปรับปรุงพื้นผิวด้วยสารคุ้มกันไฮเดน (Silane coupling agent)

3.4.1 นำผงไม้ที่ผ่านการคัดแยกขนาดแล้วปอกเพื่อไล่ความชื้นที่อุณหภูมิ 80 องศาเซลเซียส เป็นเวลา 24 ชั่วโมง

3.4.2 เตรียมสารละลายคุ้มกันชนิด N-2(aminoethyl) 3-aminopropyl trimethoxysilane ซึ่งปริมาณไฮเดนที่ใช้ในงานวิจัยนี้คือ 0, 0.5, 1.0 และ 1.5 % ของน้ำหนักของผงไม้ โดยไฮเดนดังกล่าวถูกหยดลงในน้ำปราศจากไอออน (Deionized water) ที่มีกรดอะซิติกละลายอยู่ 1% โดยน้ำหนัก และในระหว่างที่ทำการหยดไฮเดน ที่ทำการกวนสารละลายอยู่ตลอดเวลาจนกระทั่งไฮเดนถูกหยดจนหมดและสารละลายรวมเป็นเนื้อเดียวกัน

3.4.3 พ่นสารละลายไฮเดนที่เตรียมได้จากข้อ 3.4.2 ผสมกับผงไม้ทันที ในเครื่องผสมความเร็วสูงด้วยความถี่ในการวน 25 เฮิร์ส เป็นเวลา 5 นาที จากนั้นนำไปอบที่อุณหภูมิ 100 องศาเซลเซียส เป็นเวลา 12 ชั่วโมง

### 3.5. การผสมผงไม้ที่ถูกปรับปรุงพื้นผิวแล้วกับเม็ดพลาสติกเอบีอีอส

ผงไม้ที่ถูกปรับปรุงพื้นผิวแล้วถูกนำมาผสมแบบแห้ง (Dry-blending) กับพลาสติกเอบีอีอส (สัดส่วน 10 และ 50 ในเอบีอีอส 100 ส่วน) ด้วยเครื่องผสมความเร็วสูงด้วยความถี่การหมุนของใบกว้าง 25 เฮิร์ส จากนั้นนำไปผสม (Melt-blending) ด้วยเครื่องอัครีดแบบเกลียวหนอนคู่แบบหมุนตามกัน (co-rotating twin screw extruder) ด้วยสกรูขนาดเส้นผ่าศูนย์กลาง 36 มิลลิเมตร และหัวขึ้นรูป ลักษณะเป็นวงกลมเส้นผ่าศูนย์กลาง 3 มิลลิเมตร จำนวน 8 รู ทำการผสมด้วยความถี่การหมุนของสกรูที่ 9.0 เฮิร์ส และอุณหภูมิที่ใช้ในการผสมตั้งแต่กรวยป้อนจนถึงหัวขึ้นรูป คือ 100, 170, 175, 175, 180, 180, 185, 185 และ 190 องศาเซลเซียส คอมปาวด์ที่ออกมายังถูกหล่อเย็นด้วยน้ำ และถูกตัดเป็นเม็ด หลังจากนั้นนำอบให้แห้งที่อุณหภูมิ 80 องศาเซลเซียส เป็นเวลา 24 ชั่วโมง

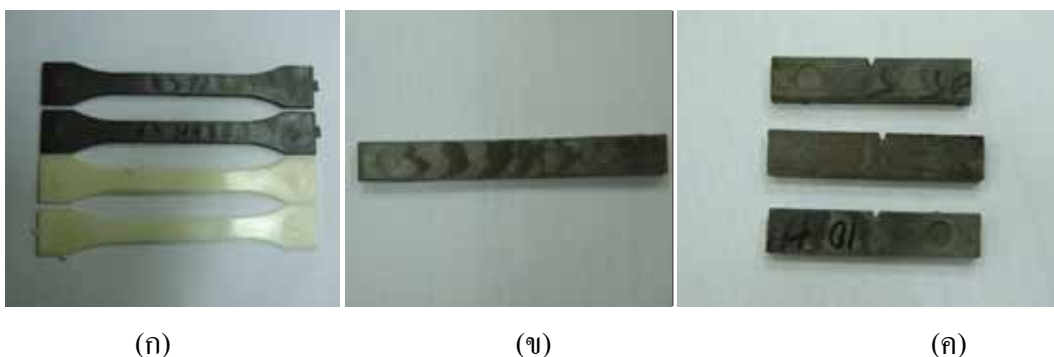
### 3.6 การขึ้นรูปชิ้นงานทดสอบ

#### 3.6.1 การฉีดขึ้นรูป (Injection molding)

นำเม็ดคอมปาวด์ที่ได้จากข้อ 3.5 มาฉีดขึ้นรูปเป็นชิ้นงานทดสอบด้วยเครื่องฉีดขึ้นรูป (Injection molding machine) รุ่น E-80B ของบริษัท Elite Precision Machinery Ltd. โดยชิ้นงานที่ทำการฉีดจะเป็นชิ้นงานที่นำไปทดสอบสมบัติแรงดึง การโถ้งงอ และ ความทนทานต่อแรงกระแทก ดังแสดงในภาพที่ 28 และสภาวะที่ใช้ในการขึ้นรูปแสดงดังตารางที่ 4

ตารางที่ 4 สภาพะในการนีดขึ้นรูป

พารามิเตอร์ควบคุม	สภาพะ
อุณหภูมิไกล์กรวยป้อน	180 องศาเซลเซียส
อุณหภูมิกระบวนการหลอม	185 องศาเซลเซียส
อุณหภูมิไกล์หัวนีด	190 องศาเซลเซียส
ความเร็วรอบสกaru	85 รอบต่อนาที
ความเร็วในการนีด	50 ลูกบาศก์เซนติเมตรต่อวินาที
ความดันในการนีด	65 กิโลกรัมต่ำต่อตารางเซนติเมตร



ภาพที่ 28 แสดงชิ้นงานจากการนีด (ก) ชิ้นงานทดสอบการดึงยืด (ข) ชิ้นงานทดสอบการ โค้งงอ และ (ค) ชิ้นงานทดสอบความทนทานต่อแรงกระแทก

### 3.6.2 การอัดขึ้นรูป (Compression molding)

นำเม็ดคอมพาวด์ที่ได้จากข้อ 3.5 มาขึ้นรูปชิ้นงานแผ่นสี่เหลี่ยมขนาด  $20 \times 20$  เซนติเมตร ด้วยเครื่องอัดขึ้นรูป (Compression molding) เพื่อนำไปทดสอบสมบัติพลวัตเชิงกล ด้วยเทคนิค DMA โดยมีสภาพการขึ้นรูปได้แก่ อุณหภูมิที่ใช้คือ 190 องศาเซลเซียส แรงดันและเวลาที่ใช้ในการอัดขึ้นรูปคือ 10,000 kPa และ 2 นาที ตามลำดับ

## 3.7 การทดสอบและตรวจสอบสมบัติของวัสดุคอมโพลิทพอยน์เตอร์

### 3.7.1 การศึกษาสมบัติการไหลของวัสดุคอมโพลิทพอยน์เตอร์

การศึกษาสมบัติการไหลของวัสดุคอมโพลิท โดยเครื่องทดสอบการไหลแบบ Capillary rheometer ยี่ห้อ CEAST รุ่น Rheologic 5000 ดังแสดงในภาพที่ 29 ด้วยหัวขึ้นรูปขนาดเส้นผ่านศูนย์กลาง 2 มิลลิเมตร ยาว 40 มิลลิเมตร ( $L/D = 20:1$ )



ภาพที่ 29 แสดงเครื่องทดสอบการไหลแบบ Capillary die rheometer ยี่ห้อ CEAST รุ่น Rheologic 5000 [41]

โดยอุณหภูมิที่ทำการศึกษาคือที่ 180 190 และ 200 องศาเซลเซียส ในช่วงอัตราเครียดเฉือน (Shear rate) 5 ถึง  $1500 \text{ s}^{-1}$  พร้อมทั้งมีการวัดการบวมตัวที่หัวขึ้นรูป ด้วยเซนเซอร์แสงในขณะที่พลาสติกหลอมเหลวไหลออกมากจากขึ้นรูป ข้อมูลที่ได้จากการทดลองจะแสดงผลในรูปของความสัมพันธ์ระหว่างความหนืดกับอัตราเครียดเฉือน ซึ่งในงานวิจัยนี้นำสมการการไหลมาอธิบายพฤติกรรมการไหลซึ่งประกอบไปด้วยสมการดังแสดงในสมการความสัมพันธ์ต่างๆ ดังนี้ [42]

$$\text{Power law} \quad \eta = m \dot{\gamma}^{1-n} \quad (\text{สมการที่ 3.4})$$

$$\text{Carreau} \quad \frac{\eta}{\eta_0} = \frac{1}{[1 + (\lambda \dot{\gamma})^2]^{\frac{1-n}{2}}} \quad (\text{สมการที่ 3.5})$$

$$\text{Herschel-Bulkley} \quad \eta = \frac{\sigma_0}{\dot{\gamma}} + m \dot{\gamma}^{n-1} \quad (\text{สมการที่ 3.6})$$

$$\text{Cross-Williamson} \quad \eta = \frac{\eta_0}{1 + (\lambda \dot{\gamma})^{(1-n)}} \quad (\text{สมการที่ 3.7})$$

เมื่อ  $\eta$  คือ ความหนืด (Viscosity) (Pa.s)

$\eta_0$  คือ ความหนืดที่อัตราเครียดเฉือนเป็นศูนย์ (Zero-shear viscosity) (Pa.s)

$\dot{\gamma}$  คือ อัตราเครียดเฉือน (Shear rate) ( $\text{s}^{-1}$ )

n คือ ดรรชนีการไหล (Power law index)

m คือ ค่าคงที่การไหล (Consistency coefficient) ( $\text{Pa.s}^2$ )

$\lambda$  คือ เวลาคลายความเก็บ (Relaxation time) (s)

$\sigma_0$  คือ ความเค้นยึด (Yield stress) (Pa)

ซึ่งค่าคงที่ต่างๆเหล่านี้สามารถคำนวณได้โดยการแทนค่าความหนืดและอัตราเครียดเฉือนที่ได้จากการทดลองไป โดยค่า  $n$  คือ ค่าครรชนีกำลัง (Power law index) บ่งบอกถึงสมบัติของของไหหล โดยทั่วไปพล็อกเมอร์โลมเหลวมีค่า  $n$  อยู่ในช่วง  $0 \leq n \leq 1$  ค่า  $\eta_0$  ความหนืดของของไหหลที่อัตราเครียดเฉือนเท่ากับศูนย์ และค่า  $\lambda$  คือค่า Relaxation time ซึ่งบ่งบอกถึงระยะเวลาที่ของไหหลใช้ในการคลายความเครียดเมื่อมีแรงภายนอกมากระทำ [43]

นอกจากนี้ในการทดลองในส่วนนี้มีการนำหลักการของ Time-Temperature super position มาใช้ในการสร้าง Master curve ที่อุณหภูมิอ้างอิง 190 องศาเซลเซียสโดยใช้ Shift factor ในการเลื่อนแกนของเส้นกราฟ โดย Shift factor ดังกล่าวหาได้จากสมการ

$$a_T = \frac{\eta_0(T_{ref})\rho_{ref}}{\eta_0(T_{ref})T\rho} \quad (\text{สมการที่ } 3.8)$$

เมื่อ  $a_T$  คือ ค่า Shift factor

$T$ ,  $\rho$  และ  $\eta_0$  คือ อุณหภูมิ ( $^{\circ}\text{C}$ ) ความหนาแน่น ( $\text{g/cm}^3$ ) และ ความหนืดที่อัตราเครียดเฉือนเป็นศูนย์ ( $\text{Pa.s}$ ) ตามลำดับ

$T_{ref}$ ,  $\rho_{ref}$  และ  $\eta_0(T_{ref})$  คือ อุณหภูมิ ( $^{\circ}\text{C}$ ) ความหนาแน่น ( $\text{g/cm}^3$ ) และ ความหนืดที่อัตราเครียดเฉือนเป็นศูนย์ ( $\text{Pa.s}$ ) ที่สภาวะอ้างอิงตามลำดับ

ภายใต้สมมติฐาน เมื่อมีการเปลี่ยนแปลงอุณหภูมิในช่วงที่ทำการศึกษา (180-200 องศาเซลเซียส) ความหนาแน่นของวัสดุจะไม่เปลี่ยนแปลงหรือมีการเปลี่ยนแปลงน้อยมากดังนั้นสมการที่ 3.5 จะลดรูปเป็น

$$a_T = \frac{\eta_0(T_{ref})}{\eta_0(T_{ref})T} \quad (\text{สมการที่ } 3.9)$$

จากนั้นค่า Shift factor ที่คำนวณได้จะถูกนำไปใช้ในการเปลี่ยนค่าความหนืดและอัตราเครียดเฉือนด้วยสมการที่ 3.7 และ 3.8 ดังต่อไปนี้

$$\dot{\gamma}_r = a_T \dot{\gamma} \quad (\text{สมการที่ } 3.10)$$

เมื่อ  $\dot{\gamma}_r$  คือ ค่า Reduced shear rate

$$\eta_r = \frac{\eta(T, \dot{\gamma})}{a_T} \quad (\text{สมการที่ } 3.11)$$

เมื่อ  $\eta_r$  คือ ค่า Reduced viscosity

### 3.7.2 การศึกษาสมบัติทางความร้อนของวัสดุคอมโพสิตพงไม้กับเอ็นเจอส

#### 3.7.2.1 อุณหภูมิการสลายตัวของวัสดุคอมโพสิตพงไม้กับเอ็นเจอส

การศึกษาในส่วนนี้ทำการทดสอบด้วยเทคนิค TGA เพื่อหาอุณหภูมิการสลายตัว (Decomposition temperature;  $T_d$ ) ของวัสดุ โดยตัวอย่างที่ใช้ทดสอบเครื่ยมจากเม็ดคอมปาวด์จาก ข้อ 3.5 โดยตัดให้มีน้ำหนักประมาณ 3-8 มิลลิกรัม และนำไปทดสอบด้วยเครื่อง Perkin-Elmer Thermal analyzer รุ่น TGA7 แสดงดังภาพที่ 30 โดยช่วงอุณหภูมิที่ใช้ในการทดสอบคือ 50-600 องศาเซลเซียส ในก๊าซไนโตรเจน ด้วยอัตราการเพิ่มอุณหภูมิ 5 องศาเซลเซียสต่อนาที ผลการทดลองที่ได้แสดงในรูปของความสัมพันธ์ระหว่างเปอร์เซ็นต์น้ำหนักที่สูญเสียกับอุณหภูมิ ซึ่งบ่งบอกถึงอุณหภูมิท่องค์ประกอบต่างๆในวัสดุคอมโพสิตเกิดการสลายตัว

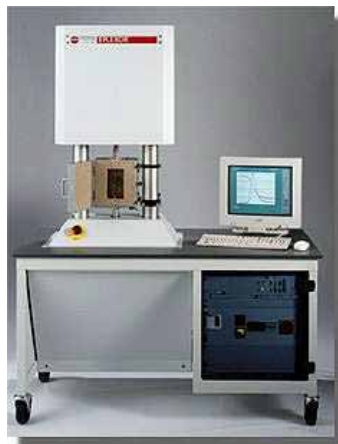


ภาพที่ 30 แสดงเครื่องทดสอบ Thermal gravimetric analyzer (TGA)

#### 3.7.2.2 อุณหภูมิการเปลี่ยนสถานะคล้ายแก้วของวัสดุคอมโพสิตพงไม้กับเอ็นเจอส

การศึกษาในส่วนนี้ทำการทดสอบด้วยเทคนิค DMA เป็นการทดสอบด้วยการให้แรงกับชิ้นงานอย่างต่อเนื่องด้วยความถี่ค่าหนึ่ง ข้อมูลที่ได้แสดงผลในรูปของ Loss modulus ( $E''$ ) storage modulus ( $E'$ ) และ  $\tan\delta$  ซึ่งจะบ่งบอกถึงอุณหภูมิการเปลี่ยนแปลงสมบัติของตัวอย่างจากของแข็งไปเป็นของเหลวหรือที่เรียกว่า อุณหภูมิการเปลี่ยนแปลง (Transition temperature;  $T_g$ ) โดยทำการทดสอบด้วยเครื่อง Dynamic mechanical analyzer ยี่ห้อ GABO รุ่น EPLEXOR QC 25 ทำการทดสอบด้วย荷重การดึงที่ 0.1 % strain ด้วยความถี่ 10 เฮิร์ตส ในช่วงอุณหภูมิ 50-150 องศา

เซลเซียส ด้วยอัตราการเพิ่มอุณหภูมิ 2 องศาเซลเซียสต่อนาที ซึ่งชิ้นงานที่ใช้ในการทดสอบเตรียมโดยการตัดจากแผ่นชิ้นงานที่เตรียมในหัวข้อ 3.6.2 ให้มีขนาด  $10 \times 60 \times 2$  มิลลิเมตร



ภาพที่ 31 เครื่อง Dynamic mechanical analyzer

### 3.7.3 การศึกษาสมบัติเชิงกลของวัสดุคอมโพลิทของผงไม้กับเอ็นเจอส

#### 3.7.3.1 สมบัติความต้านแรงดึง

ในการทดสอบสมบัติความต้านแรงดึงของชิ้นงาน (Tensile properties) ทำการทดสอบตามมาตรฐาน BS 2782: Part 3 (1996) Methods 320A โดยชิ้นงานที่ใช้คือชิ้นงานรูปดัมเบลล์ (Dumbbell) ที่ได้จากหัวข้อ 3.6.1 ด้วยความยาวเกจ (Gauge length) 50 มิลลิเมตร ทดสอบด้วยเครื่อง Universal Testing Machine ยี่ห้อ LLOYD Instrument รุ่น LR 50K ด้วยโหมดการทดสอบการดึงยึดใช้ load cell ขนาด 50 กิโลนิวตัน ความเร็วในการดึง 50 มิลลิเมตรต่อนาที ค่าที่ได้จากการทดสอบถูกแปลงเป็น 3 ค่าคือ ค่าขั้นตอนดัลลัส ค่าความต้านแรงดึงสูงสุด และ ค่าเปอร์เซ็นต์การยึด ณ จุดขาด

#### 3.7.3.2 สมบัติความต้านการโค้งงอ

การทดสอบสมบัติการโค้งงอ (Flexural properties) เป็นการทดสอบการต้านการโค้งงอของชิ้นงานเมื่อได้รับแรงกด 3 จุด (Three point bending) ชิ้นงานที่ใช้ทดสอบเป็นแท่งสี่เหลี่ยมตามมาตรฐาน ASTM D790 (1999) แสดงดังภาพ โดยทำการทดสอบด้วยเครื่องทดสอบแบบเดียวกับการทดสอบสมบัติความต้านแรงดึง แต่เปลี่ยนโหมดการทดสอบเป็นการให้แรงกดด้วย load cell ขนาด 5 กิโลนิวตัน ความเร็วในการกด 2.8 มิลลิเมตรต่อนาที ระยะห่างระหว่างฐานรองรับ (support span) 100 มิลลิเมตร ข้อมูลที่ได้รายงานในรูปของค่าคงดัลลัสความต้านการโค้งงอ (Flexural modulus) และค่าความแข็งแรงต่อการโค้งงอ (Flexural strength)

### 3.7.3.3 สมบัติความต้านทานแรงกระแทก

การทดสอบความต้านทานแรงกระแทกของวัสดุคอมโพสิตใช้การทดสอบแบบ Notched izod impact test ตามมาตรฐาน ASTM D256 ซึ่งวิธีดังกล่าวมีการทำรอยบากที่ชิ้นงาน โดยการทดสอบใช้เครื่องทดสอบแบบค้อนเหวี่ยง (Pendulum impact tester) ยี่ห้อ Zwick รุ่นII ดังแสดงในภาพที่ 32 โดยการใช้ค้อนเหวี่ยงขนาด 4 จูล โดยข้อมูลที่ได้จะแสดงในรูปของค่าความแข็งแรงต่อแรงกระแทก (Impact strength)



ภาพที่ 32 เครื่องทดสอบความทนทานต่อแรงกระแทก

### 3.7.4 การศึกษาสมบัติสัณฐานวิทยาของวัสดุคอมโพสิตของผงไม้กันเนื้อส

สัณฐานวิทยา (Morphology) ของวัสดุคอมโพสิตทำการตรวจด้วยกล้องจุลทรรศน์อิเล็กตรอนแบบส่อง粒弧 (Scanning electron microscope; SEM) ยี่ห้อ CamScan ด้วยการใช้พลังงาน 15 keV ที่กำลังขยาย 500 และ 1500 เท่า โดยชิ้นงานที่นำไปทดสอบเป็นชิ้นงานที่มีการแตกหักจากการทดสอบความทนทานต่อแรงกระแทก (หัวข้อ 3.7.3.3)

## บทที่ 4

### ผลการทดลองและวิจารณ์ผลการทดลอง

งานวิจัยนี้เป็นการศึกษาสมบัติต่างๆของวัสดุคอมโพสิตระหว่างพูนเมอร์ไม้ยางพาราและพลาสติกเอบีอีสที่มีองค์ประกอบโน้มเนื้อในสัดส่วนที่แตกต่างกัน ได้แก่ สมบัติการไหล สมบัติทางความร้อน สมบัติเชิงกล สัมฐานวิทยา พลาสติกเอบีอีสที่ใช้ในงานวิจัยนี้เป็นเอบีอีสจากบริษัทไอลาร์พีซีจำกัดมาชน ซึ่งได้แก่ เกรด High Flow, Medium high impact และ super high impact โดยในงานวิจัยนี้ใช้ตัวอักษรย่อแทนชื่อของเม็ดพลาสติกทั้งสามเกรดดังนี้ HF-ABS, MI-ABS และ SI-ABS ตามลำดับ พูนเมียางพาราที่ใช้ในงานวิจัยนี้มีขนาดอนุภาคเฉลี่ยอยู่ในช่วง 100-300 ไมโครเมตร และปรับปรุงพื้นผิวด้วยสาคูร์คิว ไซเลนชnid N-2-(aminoethyl)-3-(aminopropyl) trimethoxysilane และเติมพูนเมียางพาราที่ใช้ในวัสดุคอมโพสิทในปริมาณร้อยละ 9.1(10phr) และ 33.3(50phr) ของหนักวัสดุคอมโพสิท โดยผลการทดลองในส่วนต่างๆจะแสดงดังต่อไปนี้

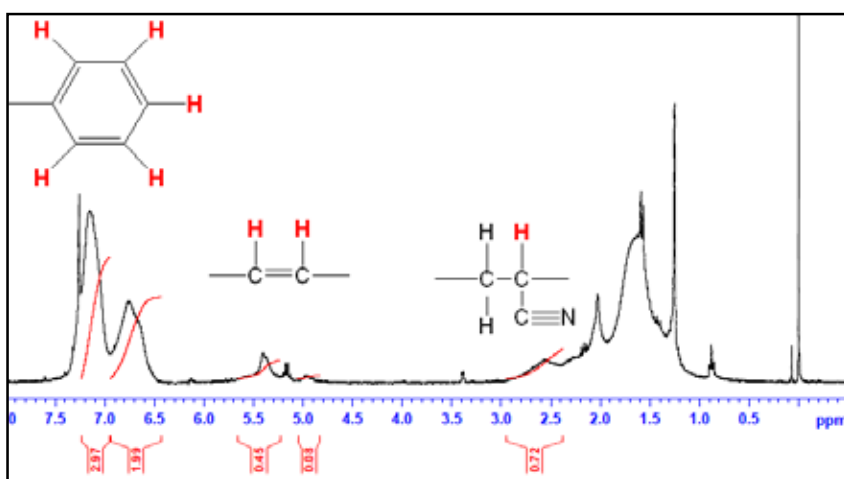
#### 4.1 การพิสูจน์เอกสารณ์ของพลาสติกเอบีอีส

##### 4.1.1 การวิเคราะห์หาปริมาณโน้มเนื้อในพลาสติกเอบีอีส

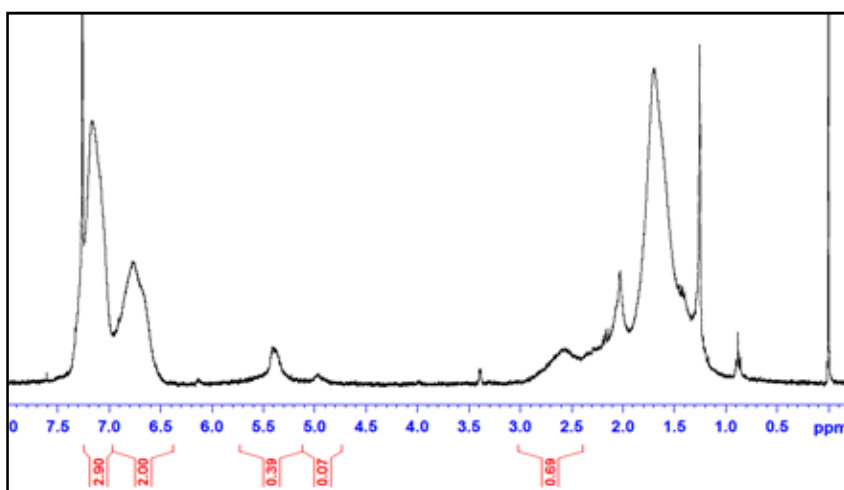
การวิเคราะห์หาสัดส่วนโน้มเนื้อในเม็ดพลาสติกเอบีอีสทั้งสามเกรดจะใช้เทคนิคในการวิเคราะห์ 2 เทคนิคด้วยกัน นั่นคือ H-NMR และ CHN Elemental analysis

###### 4.1.1.1 ผลการวิเคราะห์ด้วยเทคนิค H-NMR

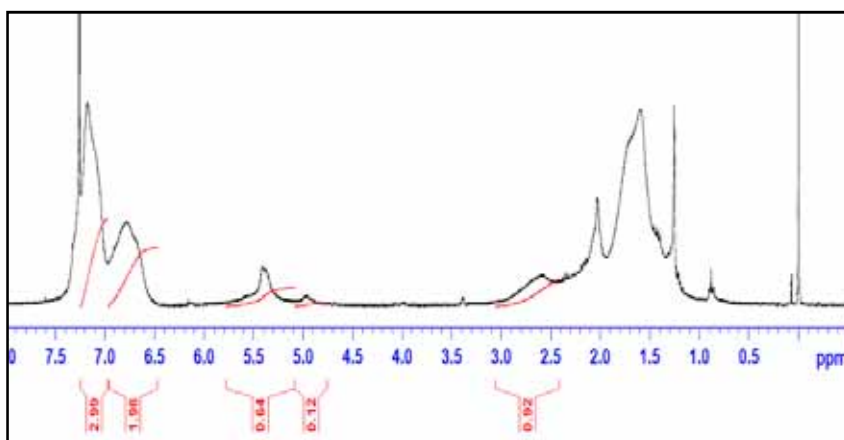
ผลการวิเคราะห์หาสัดส่วนโน้มเนื้อจากเทคนิค H-NMR ของเม็ดพลาสติกเอบีอีสทั้งสามเกรดแสดงดังในภาพที่ 33-35 ซึ่งจากภาพเห็นว่าพลาสติกเอบีอีสทั้งสามเกรดปราศจากสัญญาณที่สำคัญ ณ ที่ตำแหน่งเดียวกัน ได้แก่ ที่ 7.3-6.5 ppm และการเกิดเรโซแนนซ์ของโปรตอนที่เกาะกับวงแหวนเบนซินซึ่งเป็นองค์ประกอบของสไตรีน ช่วง 5.5-4.9 ppm และสัญญาณที่เกิดจากโปรตอนที่เกาะกับ  $-C=C-$  ของบิวติโคอิน และที่ตำแหน่ง 2.6 ppm จะปราศจากสัญญาณที่เกิดจากโปรตอนบนคาร์บอนที่ติดกับหมู่  $-CN$  ของอะคริโลไนไตร



ภาพที่ 33 แสดง H-NMR spectra ของพลาสติกอะบีส เกรด High Flow (HF-ABS)



ภาพที่ 34 แสดง H-NMR spectra ของพลาสติกอะบีส เกรด Medium Impact (MI-ABS)



ภาพที่ 35 แสดง H-NMR spectra ของพลาสติกอะบีส เกรด Super High Impact (SI-ABS)

สัดส่วนของโภม โนนเมอร์ทั้งสามสามารถคำนวณได้จากพื้นที่ไดกราฟในแต่ละส่วน แต่อย่างไรก็ตามบริเวณสัญญาณที่เกิดจากโปรตอนในอะคริโลไนไตร ( $2.6 \text{ ppm}$ ) มีการซ้อนทับกับสัญญาณจากโปรตอนของหมู่  $-\text{CH}_2-$  ในสายโซ่หลักของพอลิเมอร์ทำให้ไม่สามารถเทียบสัดส่วนของอะคริโลไนไตรได้ จึงบอกได้เพียงสัดส่วนระหว่างสไตรีนต่อบิวตะไดอีนเท่านั้นซึ่งแสดงดังตารางที่ 5

ตารางที่ 5 แสดงสัดส่วน (molar) ระหว่าง Styrene monomer ต่อ Butadiene monomer

พลาสติกเอบีอีส	สัดส่วนระหว่างสไตรีนต่อบิวตะไดอีน
HF	1 : 0.25
MI	1 : 0.22
SI	1 : 0.36

เนื่องจากการวิเคราะห์ด้วยเทคนิค H-NMR ไม่สามารถบอกถึงสัดส่วนของโภม โนนเมอร์ทั้งสามชนิดได้โดยเฉพาะอะคริโลไนไตรดังนั้นจึงต้องใช้เทคนิค Elemental analysis เพื่อวิเคราะห์หาปริมาณของอะคริโลไนไตร

#### 4.1.1.2 ผลการวิเคราะห์ด้วยเทคนิค CHN Elemental analysis

การวิเคราะห์ด้วยเทคนิคดังกล่าวใช้การเผาตัวอย่างเม็ดพลาสติกขนาดประมาณ 1.0-1.5 มิลลิกรัม โดยใช้แก๊สผสมระหว่างออกซิเจนกับไฮเดรียม แก๊สทั้งหมดที่ได้จากการเผาถูกนำมาระบาย และแสดงผลออกมายังรูปของสัดส่วนของธาตุทั้งหมดในพลาสติก ดังในตารางที่ 6

ตารางที่ 6 แสดงผลการวิเคราะห์ธาตุองค์ประกอบในเม็ดพลาสติกเอบีอีสด้วย Elemental analyzer

Sample	Carbon (%)	Hydrogen (%)	Nitrogen (%)	Sample weight (mg)
HF-ABS	86.30	7.57	5.00	1.394
MI-ABS	86.85	7.68	5.47	1.380
SI-ABS	85.50	7.45	5.64	1.197

จากธาตุที่วิเคราะห์ได้ทั้งหมด เมื่อพิจารณาโครงสร้างทางเคมีของพลาสติกเอบีอีส จะพบว่าที่ตำแหน่งอะคริโลไนไตรโภม โนนเมอร์ 1 หน่วย มีธาตุไนโตรเจนหนึ่งตัว ดังนั้นสัดส่วนของ

ชาตุในไตรเงนที่วิเคราะห์ได้จากเทคนิคนี้สามารถใช้คำนวณหาปริมาณอะคริโลไนไตรได้ และผลการวิเคราะห์หาปริมาณโนโนเมอร์ต่างๆ ในพลาสติกเอบีโอดแต่ละเกรดแสดงในตารางที่ 7

ตารางที่ 7 แสดงปริมาณโนโนเมอร์ในพลาสติกเอบีโอดแต่ละเกรด

พลาสติกเอบี โอด	ร้อยละโดยน้ำหนักโนโนเมอร์ในเอบีโอด			น้ำหนักโมเลกุล (M <sub>v</sub> )
	อะคริโลไนไตร	บิวตะไดอิน	สไตรีน	
HF-ABS	18.9	9.5	71.5	312,440
MI-ABS	20.7	8.6	70.7	536,295
SI-ABS	21.4	12.5	66.2	342,529

สัดส่วนของโนโนเมอร์ที่วิเคราะห์ได้พบว่า SI-ABS มีปริมาณบิวตะไดอินมากที่สุด ถัดมาเป็น HF-ABS ส่วน MI-ABS มีปริมาณบิวตะไดอินน้อยที่สุด สำหรับสัดส่วนของอะคริโลไนไตร SI-ABS และ MI-ABS พบร่วมกัน มีปริมาณอะคริโลไนไตรที่มากและใกล้เคียงกัน นอกจากนี้เอบีโอดเกรด HF-ABS และ MI-ABS จะมีสไตรีนที่ใกล้เคียงกันและมากกว่า SI-ABS นอกจากนี้ในตารางที่ 6 แสดงน้ำหนักโมเลกุลเฉลี่ย M<sub>v</sub> ของเอบีโอดเกรดทั้งสามเกรดซึ่งพบว่า เอบีโอดเกรด MI-ABS เป็นเอบีโอดที่มีน้ำหนักโมเลกุลสูง ส่วน HF-ABS และ SI-ABS จะมีน้ำหนักโมเลกุลใกล้เคียงกันแต่ต่ำกว่า MI-ABS

#### 4.2 การศึกษาสมบัติการไหลของวัสดุคอมโพสิตผงไม้กันเอบีโอด

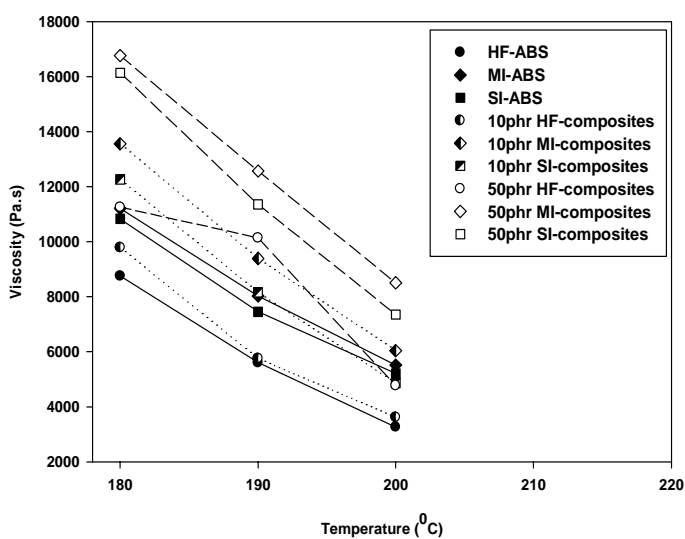
การศึกษาสมบัติการไหลของวัสดุคอมโพสิตทำให้ได้ข้อมูลซึ่งประกอบไปด้วยความหนืดของวัสดุที่อัตราเครียดเฉือน  $5-1500 \text{ s}^{-1}$  และอุณหภูมิต่างๆ กันคือ 180 190 และ 200 องศาเซลเซียส รวมทั้งศึกษาการบวนตัวที่หัวขึ้นรูป (Die) โดยในการวิจารณ์ผลการทดลองแบ่งเป็นหัวข้ออยู่ต่างๆ ดังต่อไปนี้

##### 4.2.1 อิทธิพลของโนโนเมอร์ อุณหภูมิและอัตราเครียดเฉือน ต่อความหนืดของวัสดุคอมโพสิตผงไม้กันเอบีโอด

จากภาพที่ 36 และ 37 แสดงความสัมพันธ์ของอุณหภูมิและอัตราเครียดเฉือนที่มีต่อความหนืดของเอบีโอดและวัสดุคอมโพสิต ซึ่งพบว่าทั้งพลาสติกเอบีโอดและคอมโพสิตแสดงพฤติกรรมการไหลแบบ shear-thinning กล่าวคือความหนืดลดลงตามอัตราเครียดเฉือนและอุณหภูมิที่เพิ่มขึ้นซึ่งเป็นพฤติกรรมการไหลของพอลิเมอร์โดยทั่วไป

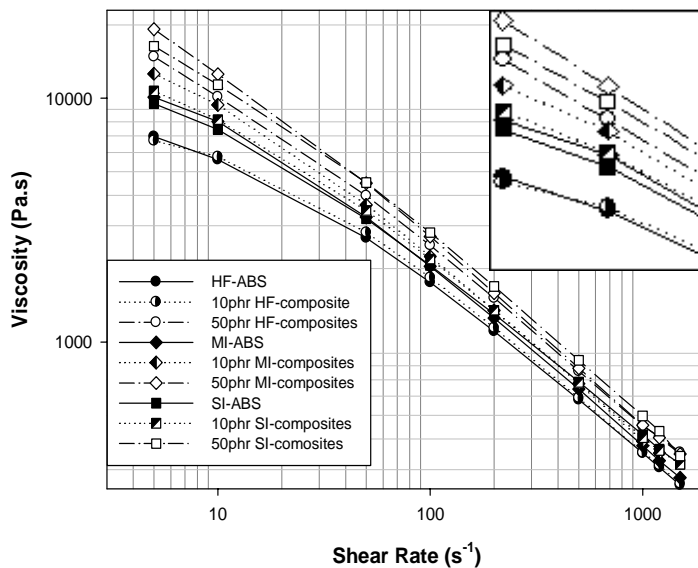
ในกรณีของเอบีโอดบริสุทธิ์ จากภาพที่ 36 พบร่วมกับอุณหภูมิ ค่าความหนืดของ HF-ABS < SI-ABS < MI-ABS ทั้งนี้เนื่องจาก หมู่ไซยาโน(-CN) ที่ตำแหน่งอะคริโลไนไตรโนโนเมอร์

สามารถเกิดแรงดึงดูดทุติยภูมิระหว่างสายโซ่ซึ่งส่งผลทำให้ความหนืดสูงขึ้น ดังนั้นจากภาพเห็นว่า เอบีเอสเกรด HF-ABS มีความหนืดน้อยที่สุดเนื่องจากมีปริมาณอะคริโลไนไตรน้อยที่สุดประกอบกับการที่มีน้ำหนักโมเลกุลต่ำแสดงในตารางที่ 6 จึงทำให้อบีเอสเกรด HF-ABS มีความหนืดต่ำ สำหรับพลาสติกเอบีเอสเกรด MI-ABS และ SI-ABS มีความหนืดสูงเนื่องจากเอบีเอสทั้งสองเกรดมีปริมาณอะคริโลไนไตรที่มากและถึงแม้ว่าเอบีเอสทั้งสองเกรดจะมีปริมาณอะคริโลไนไตรที่ใกล้เคียงกัน (MI-ABS 20.7 เปอร์เซ็นต์ และ SI 21.4 เปอร์เซ็นต์) แต่จากการจะเห็นว่าความหนืดของ MI-ABS มีค่าสูงกว่าความหนืดของ SI-ABS เนื่องจากน้ำหนักโมเลกุลที่สูงกว่าของ MI-ABS ทำให้ระดับการการเกี่ยวพันกันของสายโซ่โมเลกุลมากกว่า ดังนั้นจึงทำให้ความหนืดสูงกว่า



ภาพที่ 36 แสดงความสัมพันธ์ระหว่างอุณหภูมิกับความหนืดของพลาสติกเอบีเอสบริสุทธิ์เกรดต่างๆ และวัสดุคอมโพลิทที่อัตราเครียดเท่า 10 s<sup>-1</sup>

ในกรณีของวัสดุคอมโพลิท การเติมผงไม้เข้าไปในพลาสติกทำให้ความหนืดของวัสดุคอมโพลิทเพิ่มขึ้นตามปริมาณผงไนทั้งนี้เป็นเพราะอัตราการของผงไม้ไปขัดขวางการเคลื่อนที่ของโมเลกุลของเอบีเอส ดังแสดงในภาพที่ 37 วัสดุคอมโพลิทของผงไม้และพลาสติกเอบีเอสทั้งสามเกรดมีค่าความหนืดเพิ่มขึ้นเมื่อปริมาณผงไม้เพิ่มขึ้น



ภาพที่ 37 แสดงความสัมพันธ์ระหว่างอัตราเครียดเนื่องกับความหนืดของพลาสติกเอบีเอสบริสุทธิ์เกรดต่างๆและวัสดุคอมโพสิตที่อุณหภูมิ 190 องศาเซลเซียส

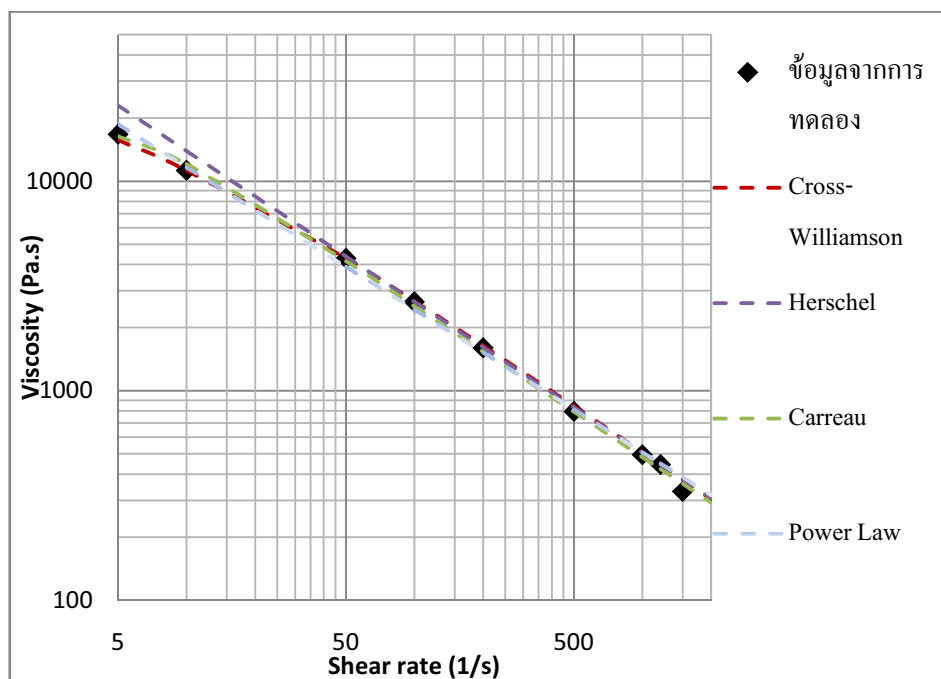
เมื่อพิจารณาเปรียบเทียบความหนืดของเอบีเอสบริสุทธิ์และวัสดุคอมโพสิตของผงไม้กับเอบีเอส ในกรณีที่การเติมผงไม้ในปริมาณต่ำ (10 phr) ที่อัตราเครียดเนื่อง  $10 \text{ s}^{-1}$  อุณหภูมิ 190 องศาเซลเซียส พบว่าวัสดุคอมโพสิตของผงไม้กับ HF-ABS มีค่าความหนืดเพิ่มขึ้น 2.7 เบอร์เซ็นต์ ในขณะที่วัสดุคอมโพสิตของผงไม้กับ MI-ABS และ SI-ABS มีความหนืดเพิ่มขึ้น 16.9 และ 9.5 เบอร์เซ็นต์ ตามลำดับ ซึ่งเหตุการณ์ดังกล่าวอาจอธิบายด้วยการเกิดปฏิกิริยาเคมีระหว่างสารคู่ควบคุมกับเอบีเอสที่ตำแหน่งอะคริโลไนไตรดังแสดงในภาพที่ 24 โดย HF-ABS เป็นเอบีเอสที่มีปริมาณอะคริโลไนไตรน้อยจึงมีโอกาสที่จะเกิดการเชื่อมโยงกับสารคู่ควบคุมน้อย ประกอบกับการที่มีน้ำหนักโมเลกุลที่ต่ำจึงทำให้ HF-ABS มีความหนืดเพิ่มขึ้นเพียงเล็กน้อยที่ปริมาณการเติมผงไม้ในปริมาณน้อย แต่ในกรณี SI-ABS และ MI-ABS พบว่าความหนืดเพิ่มขึ้นสูงนั่นเป็นเพราะการที่เอบีเอสทั้งสองมีการเชื่อมโยงกับโมเลกุลของผงไม้ได้มากกว่าและอาจเป็นไปได้ว่าเอบีเอสทั้งสองเกรด มีการเกิดปฏิกิริยากับสารคู่ควบคุม ใช้เลนในระดับที่เท่ากัน แต่เอบีเอสเกรด MI-ABS มีน้ำหนักโมเลกุลที่สูงกว่าคือมีสายโซ่ที่ยาวกว่า จึงทำให้เกิดการเกี่ยวพันกันทางกายภาพของสายโซ่พอลิเมอร์และโมเลกุลของผงไม้ที่มากกว่า SI ทำให้ความหนืดของวัสดุคอมโพสิตจากเอบีเอสเกรด MI-ABS มีความหนืดที่เพิ่มขึ้นมากที่สุด

ในกรณีการเติมผงไม้ในปริมาณที่สูงขึ้น (50 phr) พบร่วมกับความหนืดของวัสดุคอมโพสิต จะมีลำดับเช่นเดียวกันกับในกรณีของเอบีเอสบริสุทธิ์และคอมโพสิตที่การเติมผงไม้ 10 phr แต่วัสดุ

คอมโพสิตจากเอบีเอสทั้งสามเกรดมีความหนืดที่ใกล้เคียงกัน ทั้งนี้อาจเนื่องมาจากการที่เติมผงไม้ในปริมาณที่มากขึ้น ทำให้เฟสของพลาสติกมีปริมาณน้อยลง ทำให้ทั้งผลของโนมโนเมอร์และน้ำหนักโนมเลกุลลดน้อยลง

#### 4.2.2 สมการของการไหล

จากค่าความหนืดที่สัมพันธ์กับอัตราเครียดเฉือน สามารถใช้สมการของการไหล มาอธิบายความสัมพันธ์ดังกล่าวซึ่งสมการการไหลที่จะนำมาใช้ประกอบไปด้วยสมการของ Power Law (สมการที่ 3.4) Carreau (สมการที่ 3.5) Herschel-Bulkley (สมการที่ 3.6) Cross-Williamson (สมการที่ 3.7) โดยความสัมพันธ์ที่ได้จากการต่างๆจะถูกนำมาเปรียบเทียบกับข้อมูลจากการทดลองจริง ดังแสดงในภาพที่ 38



ภาพที่ 38 แสดงการใช้สมการการไหลในการ Fit กับข้อมูลจากการทดลองของวัสดุคอมโพสิตผงไม้กับเอบีเอสเกรด HF-ABS ที่การเติมผงไม้ 50 phr

ในการเปรียบเทียบความใกล้เคียงกับข้อมูลที่ได้จากการทดลองจริง สามารถพิจารณาได้จากค่า Secound virial coefficient ( $R^2$ ) ซึ่งถ้าค่าดังกล่าวมีค่าเท่ากับ 1 หมายความว่าข้อมูลจากการทดลองสามารถแสดงพฤติกรรมการไหลจากสมการการไหลได้ถูกต้อง โดยค่า  $R^2$  จากสมการการไหลต่างๆแสดงในตารางที่ 8 ดังต่อไปนี้

ตารางที่ 8 แสดงค่า  $R^2$  ระหว่างข้อมูลที่ได้จากการทดลองจริงกับข้อมูลที่ได้จากการสมการการไหล

สมการ	$R^2$
Power Law	0.9960
Carreau	0.9993
Cross-Williamson	0.9987
Herschel-Bulkley	0.9944

สมการ Power law เป็นสมการที่ใช้อธิบายความสัมพันธ์ระหว่างความหนืดกับอัตราเครียดเฉือนได้ดีในช่วงที่ความสัมพันธ์เป็นแบบเชิงเส้น (อัตราเครียดเฉือนในช่วง  $50-1000 \text{ s}^{-1}$ ) ส่วนสมการของ Hershel-Bulkley จะใช้อธิบายความสัมพันธ์ระหว่างความหนืดกับอัตราเครียดเฉือนได้ดีที่อัตราเครียดเฉือนสูงมากๆ ดังนั้นมีอัตราค่า  $R^2$  จากตารางที่ 7 จะเห็นว่าสมการทั้งสองใช้อธิบายความสัมพันธ์ระหว่างความหนืดกับอัตราเครียดเฉือนของวัสดุคอมโพสิตของพองไม้กับพลาสติกเอบีเอสในช่วงอัตราเครียดเฉือนที่ทำการศึกษาได้ไม่ดีนัก

สำหรับสมการ Carreau และสมการของ Cross-Williamson สามารถใช้อธิบายพฤติกรรมการไหลของวัสดุคอมโพสิตเอบีเอสกับพองไม้ในช่วงอัตราเครียดเฉือนที่ทำการศึกษาได้ดีเห็นได้จากค่า  $R^2$  ในตารางที่ 7 ซึ่งมีค่าใกล้เคียงกับ 1 มาก ซึ่งจากทฤษฎีแล้วสมการของ Carreau ออกแบบไว้สำหรับอธิบายพฤติกรรมการไหลในช่วงของความหนืดที่มีการเปลี่ยนแปลงจากช่วง Newtonian ไปเป็นช่วงที่มีพฤติกรรมการไหลแบบ Power-law ได้ดีกว่าสมการของ Cross-Williamson ซึ่งปรากฏค่า  $R^2$  ที่เข้าใกล้ 1 มากกว่า นอกจากนี้ถึงแม้มีว่าภาพที่ 37 จะแสดงให้เห็นการเปรียบเทียบการใช้สมการการไหลสำหรับเพียงแค่ตัวอย่างเดียว อันที่จริงแล้วเราพบว่าสมการของ Carreau สามารถใช้อธิบายพฤติกรรมการไหลของของทุกๆ ตัวอย่าง ได้ดีที่สุด โดยแสดงไว้ในภาคผนวก ๖

จากการเปรียบเทียบที่ผ่านมาพบว่าสมการของ Carreau สามารถใช้อธิบายพฤติกรรมการไหลของวัสดุคอมโพสิตเอบีเอสกับพองไม้ในช่วงอัตราเครียดเฉือนที่ทำการศึกษาได้ดีที่สุด ดังนั้นในงานวิจัยนี้จะใช้สมการดังกล่าวในการศึกษาพฤติกรรมการไหลของวัสดุ โดยสมการดังกล่าวประกอบไปด้วยตัวแปรที่สำคัญ ๓ ตัวแปร ได้แก่ ความหนืดที่อัตราเครียดเฉือนเป็นศูนย์ (Zero-shear viscosity;  $\eta_0$ ) ค่า Characteristic time ( $\lambda$ ) และ ค่า Power law index ( $n$ ) ซึ่งตัวแปรต่างๆ เหล่านี้แสดงในตารางที่ 9

ตารางที่ 9 แสดงค่าคงที่จากสมการของ Carreau ของวัสดุคอมโพสิทระหว่างผงไม้และเยอบีอีสเทอร์ด ต่างๆ

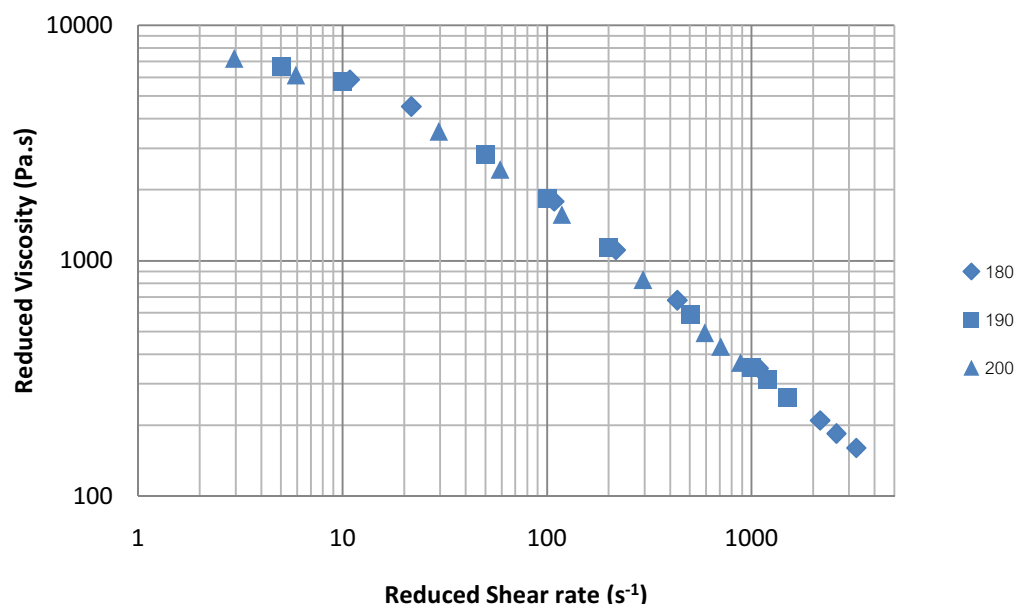
ค่าคงที่ของ Carreau		$\eta_0$			$\lambda$			n		
อุณหภูมิ ( $^{\circ}\text{C}$ )	ABS	Sawdust content			Sawdust content			Sawdust content		
		0	10	50	0	10	50	0	10	50
180	HF	12491	14185	20267	0.14	0.14	0.18	0.31	0.29	0.28
	MI	21127	27042	40157	0.20	0.24	0.30	0.29	0.27	0.24
	SI	20881	22026	34672	0.20	0.19	0.24	0.30	0.29	0.26
190	HF	7346	6899	17232	0.08	0.08	0.15	0.33	0.33	0.29
	MI	11504	15393	25095	0.13	0.17	0.20	0.30	0.29	0.25
	SI	10532	11971	22592	0.12	0.14	0.19	0.34	0.32	0.28
200	HF	4134	4305	6547	0.06	0.05	0.09	0.34	0.30	0.33
	MI	7208	8328	15520	0.08	0.09	0.17	0.30	0.28	0.28
	SI	6794	6927	12217	0.08	0.09	0.16	0.32	0.32	0.32

จากตารางที่ 9 เมื่อพิจารณาค่า ความหนืดที่อัตราเครียดเฉือนเป็นศูนย์ (Zero-shear viscosity;  $\eta_0$ ) ที่ทุกๆ อุณหภูมิ ซึ่งเป็นไปตามความหนืดของวัสดุคอมโพสิทดังที่กล่าวไว้แล้วในหัวข้อที่ผ่านมา คือ วัสดุคอมโพสิทของผงไม้กับ MI-ABS มีความหนืดมากที่สุด แต่วัสดุคอมโพสิทของผงไม้กับ HF-ABS จะมีความหนืดน้อยที่สุด และความหนืดยังเพิ่มขึ้นตามปริมาณผงไม้ที่ใส่ลงไป สำหรับค่า Power law index (n) ซึ่งเป็นค่าที่แสดงถึงความตอบสนองต่ออัตราเครียดเฉือนของวัสดุ พบว่าตัวอย่างจาก MI-ABS (ทั้งเยอบีอีสเทอร์ดและวัสดุคอมโพสิท) มีค่าต่ำที่สุดสำหรับทุกๆ อุณหภูมิที่ทำการศึกษา นั่นก็หมายความว่าเมื่อเปรียบเทียบสำหรับตัวอย่างจากเยอบีอีสทั้งสามเกรด ค่าความหนืดของตัวอย่าง MI-ABS ลดลงอย่างรวดเร็วตามอัตราเครียดเฉือนที่เพิ่มขึ้น เมื่อพิจารณาที่ไม่เลกุลของบิวตะ ไดอิน พบร่วมกับไม่เลกุลของยางเป็นโนเลกุลที่มีความไม่เป็นระเบียบสูงจะส่งผลให้ทำให้สายโซ่พอลิเมอร์จัดเรียงตัวไปตามทิศทางการไหลได้ยาก ดังนั้น การที่ MI-ABS มีบิวตะ ไดอิน โนโนเมอร์น้อยทำให้สายโซ่สามารถจัดเรียงตัวไปตามทิศทางการไหลได้ยากกว่าทำให้ความหนืดลดลงอย่างรวดเร็วตามอัตราเครียดเฉือนที่เพิ่มขึ้น สำหรับค่า Characteristic time ( $\lambda$ ) ซึ่งเป็นค่าที่บ่งบอกถึงความรวดเร็วในการคลายความเก็บหรือที่เรียกว่า Relaxation time ยิ่งวัสดุมีค่า

Characteristic time ที่มากนั่นหมายความว่าต้องใช้เวลาเพิ่มมากกว่าในการคลายความเห็นในระบบเพื่อกลับสู่สมดุล จากตารางที่ 9 เห็นว่าตัวอย่างจาก MI-ABS จะมีค่า Characteristic time มากที่สุด และตัวอย่างจาก HF-ABS มีค่าน้อยที่สุดที่อุณหภูมิในการทดลอง

#### 4.2.3 Master Curve

การสร้าง Master Curve จะใช้หลักการของ Time-temperature superposition โดยที่ตัวอย่างแต่ละตัวอย่างที่ถูกนำมาวัดความหนืดที่อัตราการการเรือนในช่วง  $5-1500 \text{ s}^{-1}$  และที่อุณหภูมิต่างๆกันคือ 180, 190 และ 200 องศาเซลเซียส โดยข้อมูลที่อุณหภูมิต่างๆกันเหล่านี้ถูกนำมาเลื่อนแกน โดยเทียบอุณหภูมิที่ 190 องศาเซลเซียส เป็นจุดศูนย์กลางแล้วนำมารวบรวม แล้วขึ้นรูปวัสดุ โดยในการเลื่อนแกนจะทำโดยการใช้ค่า Shift factor จากการคำนวณดังสมการที่ (3.8) Master curve ที่ได้แสดงดังต่อไปนี้

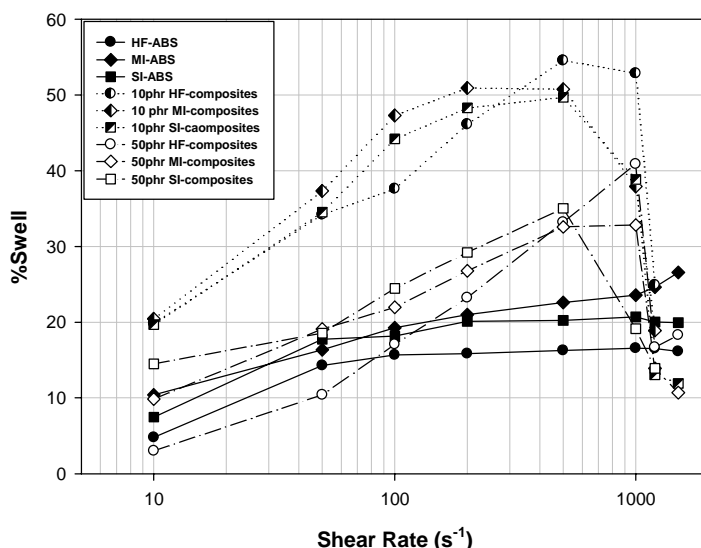


ภาพที่ 39 แสดง Master curve ของวัสดุคอมโพสิตพงไม้กับเอบีเอสเกรด HF-ABS ที่การเติมพงไม้ 10 phr ที่อุณหภูมิอ้างอิง (refferent temperature) 190 องศาเซลเซียส

สำหรับ Master Curve ที่ได้จะทำให้เราสามารถคำนวณหนืดของตัวอย่างที่ช่วงอัตราเครียดเฉลี่ยที่กว้างขึ้น สำหรับในภาพที่ 38 แสดง Master curve ของตัวอย่างเพียงบางส่วนเท่านั้น ส่วน Master Curve ของตัวอย่างอื่นๆ ได้แสดงไว้ในภาคผนวก ข

#### 4.2.4 การศึกษาการบวมตัวที่หัวขึ้นรูป ของวัสดุคอมโพลิทของไม้กับเอ็นจีอีส

การศึกษาการบวมตัวที่หัวขึ้นรูปของวัสดุคอมโพลิทของพงไม้กับเอ็นจีอีส โดยทำการทดสอบที่อุณหภูมิและอัตราเครียดเฉือนในช่วงเดียวกันกับการทดสอบสมบัติการไหลในหัวข้อที่ผ่านมาคือ ที่อุณหภูมิ 180 190 และ 200 องศาเซลเซียส และอัตราเครียดเฉือนในช่วง  $5 - 1500 \text{ s}^{-1}$  โดยผลการทดลองแสดงดังภาพต่อไปนี้

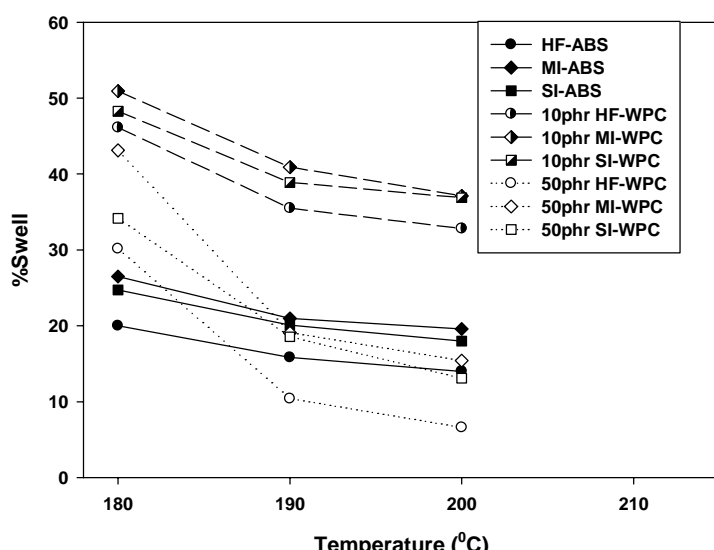


ภาพที่ 40 แสดงความสัมพันธ์ระหว่างอัตราเครียดเฉือนกับการบวมตัวที่หัวขึ้นรูปที่อุณหภูมิ 190 องศาเซลเซียส

โดยปกติแล้วการบวมตัวที่หัวขึ้นรูป ของพอลิเมอร์ หลอมเหลว จะเพิ่มขึ้นตามอัตราเครียดเฉือนแต่จะลดลงเมื่ออุณหภูมิ ซึ่งสำหรับพฤติกรรมการบวมตัวของพลาสติกเอ็นจีอีสบริสุทธิ์จะเป็นไปตามทฤษฎีดังกล่าวดังแสดงในภาพที่ 40 และ 42 สำหรับการบวมตัวที่หัวขึ้นรูป ของวัสดุคอมโพลิทพบว่าจะลดลงตามอุณหภูมิที่เพิ่มขึ้น แต่จะเพิ่มขึ้นตามอัตราเครียดเฉือนเฉพาะในช่วงอัตราเครียดเฉือนในช่วงต่ำๆเท่านั้น ( $10-500 \text{ s}^{-1}$ ) ที่อัตราเครียดเฉือนสูงๆการบวมตัวของวัสดุคอมโพลิกลับลดลง ซึ่งเหตุการณ์ดังกล่าวอาจเป็นผลมาจากการปัจจัยด้วยกันได้แก่ ปัจจัยแรกคือที่อัตราเครียดเฉือนสูงๆ คอมโพลิทหลอมเหลวที่ไหลผ่านหัวขึ้นรูปมีการเกิดลักษณะของรอยฟันฉลาม (Sharkskin) ที่ผิว ดังแสดงในภาพที่ 42 นั้นหมายความว่า พลังงานที่ใช้ในการบวมตัวสูญเสียไปกับการเกิดลักษณะดังกล่าว ทำให้การบวมตัวที่หัวขึ้นรูปลดลง ปัจจัยที่สองอาจเป็นผลมาจากการร้อนที่เกิดจากแรงเนื้อน (Shear heating effect) [44, 45]



ภาพที่ 41 แสดงการเกิดรอยฟันกลามที่ของวัสดุคอมโพสิตของพงไม้กับเอบีเอสในการทดสอบสมบัติการไฟล์ที่อัตราเครียดเนื่องสูง



ภาพที่ 42 ผลของอุณหภูมิต่อการบวมตัวที่หัวขึ้นรูป ของเอบีเอสและวัสดุคอมโพสิตที่อัตราเครียดเนื่อง 200 s<sup>-1</sup>

ผลของโนโนเมอร์ที่มีต่อการบวมตัวที่หัวขึ้นรูป สามารถพิจารณาได้จากภาพที่ 42 พบว่าในกรณีของเอบีเอสบริสุทธิ์ MI-ABS จะมีการบวมตัวที่มากที่สุด จากการศึกษาของกลุ่มวิจัยของ Kumar [46] และกลุ่มวิจัยของ Varghese [47] พบว่าถ้าในระบบมีส่วนที่มีความยืดหยุ่นสูงจะทำให้เกิดการบวมตัวที่หัวขึ้นรูปมาก ซึ่งในกรณีนี้คือส่วนของยางบิวตะ ไดอีน แต่ MI-ABS ที่มีปริมาณยางน้อยที่สุดกลับมีการบวมตัวที่มากที่สุดในทุกอุณหภูมิที่ทำการศึกษา เมื่อพลาสติกหลอมเหลวถูกอัดผ่านหัวขึ้นรูป นั่นคือการที่พลาสติกหลอมเหลวได้รับความเค้นและพลาสติกจะพยายามคลายความเค็นนั้น แต่เมื่อพลาสติกออกมากจากหัวขึ้นรูป ความเค็นที่หลงเหลืออยู่ในเนื้อพอลิเมอร์หลอมเหลวจะเป็นสาเหตุให้เกิดการบวมตัว ดังนั้นการที่ MI-ABS มีน้ำหนักไม่เท่ากันมากที่สุด ทำให้การเกี่ยวพันกันของสายโซ่มีมากและทำให้พลาสติกหลอมเหลวผ่อนคลายความเค็น ได้ยากและใช้

เวลานาน ซึ่งสัมพันธ์กับค่า Characteristic time ที่กำหนดให้จากสมการของ Carreau ดังแสดงในตารางที่ 9 (ตัวอย่าง MI-ABS มีค่ามากที่สุด) ดังนั้นมีผ่านออกมาจากหัวขึ้นรูป จึงมีความเครียดหลงเหลืออยู่มากและเป็นสาเหตุให้เกิดการบวมตัวที่มากของเยื่ออีอสเกรด MI-ABS

เมื่อเปรียบเทียบกับ HF-ABS และ SI-ABS ซึ่งมีน้ำหนักไมเลกุลต่างกันเพียงเล็กน้อย แต่ SI มีปริมาณยางที่มากกว่า จึงทำให้มีการบวมตัวที่มากกว่า และในกรณีของวัสดุคอมโพสิตก็แสดงให้เห็นถึงแนวโน้มที่เหมือนกัน จากผลดังกล่าวแสดงให้เห็นว่า น้ำหนักไมเลกุลของพลาสติกเยื่ออีอส มีอิทธิพลต่อพฤติกรรมการบวมตัวที่หัวขึ้นรูปมากกว่าผลของโนโนเมอร์

จากผลการทดลองข้างต้นสรุปได้ว่า พันธะทุติยภูมิและการเกิดปฏิกิริยาระหว่างสารคู่ควร และอะคริโลไนไตรโนโนเมอร์ในเยื่ออีอสกับพิงไม้ รวมทั้งอิทธิพลของน้ำหนักไมเลกุลของเยื่ออีอส จะส่งผลอย่างมากต่อความหนืดของเยื่ออีอสและวัสดุคอมโพสิตของพิงไม้กับเยื่ออีอส ส่วนบัวจะได้อินจะส่งผลต่อความสามารถในการตอบสนองต่อการเปลี่ยนแปลงอัตราเครียดเฉือน กล่าวคือเมื่อเพิ่มอัตราเครียดเฉือนให้กับระบบ เยื่ออีอสที่มีปริมาณบัวจะได้อินสูง จะทำให้ความหนืดของเยื่ออีอสและวัสดุคอมโพสิตพิงไม้กับเยื่ออีอสลดลงช้ากว่าเยื่ออีอสที่มีปริมาณยางบัวจะได้อินน้อย ส่วนการบวมตัวที่หัวขึ้นรูป พบว่า ทั้งในเยื่ออีอสบริสุทธิ์และวัสดุคอมโพสิต จะได้รับอิทธิพลจากน้ำหนักไมเลกุลมากกว่าปริมาณยางบัวจะได้อินโดยเยื่ออสที่มีน้ำหนักไมเลกุลสูงกว่า จะมีการบวมตัวที่มากกว่าแม้ว่าจะมีปริมาณบัวจะได้อินน้อยกว่าก็ตาม

การศึกษาสมบัติการไหลของวัสดุคอมโพสิตจะทำให้ได้ข้อมูลซึ่งเป็นประโยชน์ต่อการนำไปใช้ขึ้นรูปวัสดุเพื่อใช้ในการทดสอบสมบัติเชิงกล หรือนำไปใช้ในการขึ้นรูปผลิตภัณฑ์ต่อไปในอนาคต แต่ในความเป็นจริง นอกจากสมบัติสมบัติการไหลแล้ว ในการขึ้นรูปผลิตภัณฑ์จะต้องคำนึงในเรื่องของสมบัติทางความร้อนของวัสดุอีกด้วย

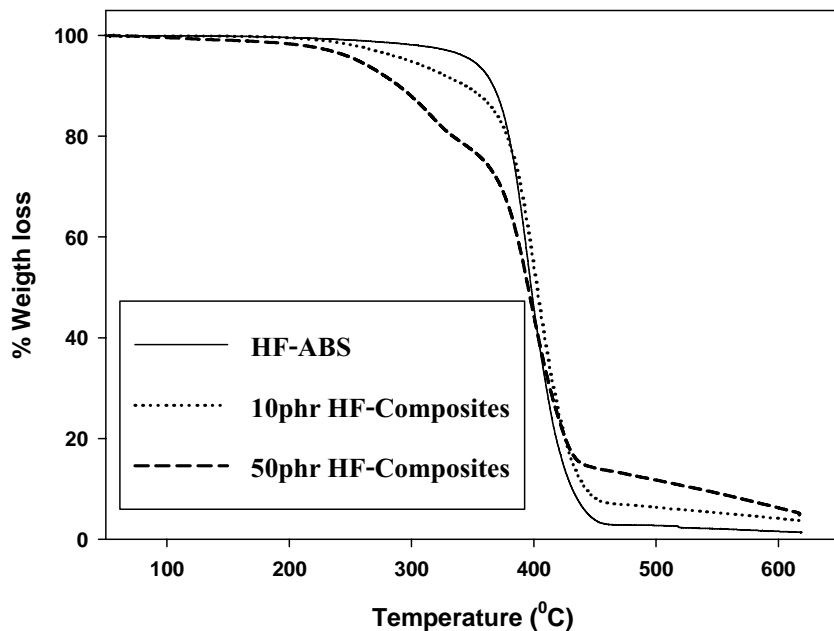
#### 4.3 การศึกษาสมบัติทางความร้อนของวัสดุคอมโพสิตพิงไม้กับเยื่ออีอส

การศึกษาในส่วนนี้ ประกอบไปด้วยการศึกษาอุณหภูมิการสลายตัวทางความร้อนของวัสดุ ด้วยเทคนิค TGA และอุณหภูมิการเปลี่ยนสถานะคล้ายแก้วด้วยเทคนิค DMA ซึ่งผลการทดลองมีดังต่อไปนี้

##### 4.3.1 อุณหภูมิการสลายตัวของวัสดุคอมโพสิตพิงไม้กับเยื่ออีอส

ผลจากการทดสอบอุณหภูมิการสลายตัวด้วยเทคนิค TGA แสดงดังภาพที่ 43 แสดงการสูญเสียน้ำหนักของเยื่ออีอสเกรด HF-ABS และวัสดุคอมโพสิตพิงไม้กับ HF-ABS ที่ช่วงอุณหภูมิ 50 – 600 องศาเซลเซียส ในกรณีของเยื่ออีอสบริสุทธิ์ปรากฏให้เห็นการสูญเสียน้ำหนักที่ช่วงอุณหภูมิประมาณ 380-410 องศาเซลเซียส แต่ในกรณีของวัสดุคอมโพสิตจะปรากฏให้เห็นการสูญเสีย

น้ำหนักสองช่วงอุณหภูมิคือที่ช่วงอุณหภูมิ 200 – 350 องศาเซลเซียสซึ่งเกิดจากการถ่ายตัวทางความร้อนของพลาสติกไม้ขางพารา และการถ่ายตัวช่วงที่สองคือที่ช่วงอุณหภูมิ 380 – 410 องศาเซลเซียส ซึ่งเกิดการถ่ายตัวทางความร้อนของเอปีโอดีฟอกจากนี้การถ่ายตัวทางความร้อนของเอปีโอดีฟและวัสดุคอมโพสิตของพลาสติกไม้กับ MI-ABS และ SI-ABS แสดงลักษณะที่เหมือนกันกับ HF-ABS ซึ่งแสดงไว้ในภาคผนวก ๑



ภาพที่ 43 แสดงการสูญเสียน้ำหนักเนื่องจากความร้อนของตัวอย่างเกรด HF

อุณหภูมิการถ่ายตัวทางความร้อนของพลาสติกเอปีโอดีฟบริสุทธิ์เกรดต่างๆ และวัสดุคอมโพสิตแสดงดังในตารางที่ 10 พบว่าการเติมพลาสติกไม้ในปริมาณน้อย (10phr) ใน MI-ABS และ SI-ABS ไม่ทำให้เกิดการเปลี่ยนแปลงของอุณหภูมิการถ่ายตัวของเอปีโอดีฟ แต่สำหรับในการผลิตของ HF-ABS ที่มีการเติมพลาสติกไม้ในปริมาณต่ำ พบว่ามีการเพิ่มขึ้นของอุณหภูมิการถ่ายตัวของเอปีโอดีฟอย่างเห็นได้ชัด ทั้งนี้อาจเป็นเพราะการที่ HF-ABS มีปริมาณอะคริโลไนไตรน้อย จึงมีโอกาสที่จะเกิดปฏิกิริยาการเชื่อมโดยกับสารคู่ควบคุมมีน้อย ทำให้สารคู่ควบคุมเกิดการรวมตัวกันของกลไกเป็นพอลิไซล็อกเซน ประกอบกับในกระบวนการการถ่ายตัวของพลาสติกจะเกิดอนุมูลอิสระขึ้นซึ่งจะเป็นตัวเร่งให้เกิดการเชื่อมโดยระหว่างโมเลกุลของพอลิไซล็อกเซน ซึ่งช่วยเพิ่มเส้นใยรากพากทางความร้อนให้กับวัสดุ [48, 49]

ตารางที่ 10 แสดงค่าอุณหภูมิการสลายตัวของพลาสติกเย็บและวัสดุคอมโพสิต

พลาสติกเย็บ เกรดต่างๆ	อุณหภูมิการสลายตัว ( $t_d$ , องศาเซลเซียส)		
	เย็บบริสุทธิ์	วัสดุคอมโพสิต (ผงไม้ 9.1%)	วัสดุคอมโพสิต (ผงไม้ 33.3%)
<b>HF-ABS</b>	395.0	399.6	393.7
<b>MI-ABS</b>	393.3	392.0	393.8
<b>SI-ABS</b>	397.3	396.9	393.5

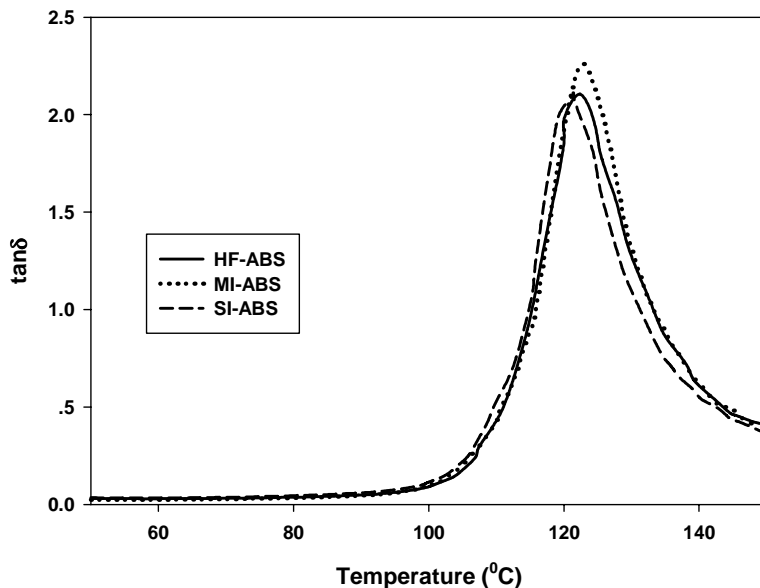
สำหรับอุณหภูมิการสลายตัวทางความร้อนของวัสดุคอมโพสิตที่มีการเติมผงไม้ในปริมาณสูง (50 phr) จากตารางพบว่า วัสดุคอมโพสิตจากพลาสติกเย็บสุดทุกเกรดมีอุณหภูมิการสลายตัวที่ใกล้เคียงกัน ทั้งนี้อาจเป็นผลจากการเติมผงไม้มากขึ้นทำให้สัดส่วนของพลาสติกเย็บลดลง ทำให้ผลของปริมาณองค์ประกอบในโโนเมอร์ต่อการสลายตัวของพลาสติกลดลง

#### 4.3.2 อุณหภูมิการเปลี่ยนสถานะคล้ายแก้วของวัสดุคอมโพสิตผงไม้กับเย็บและ

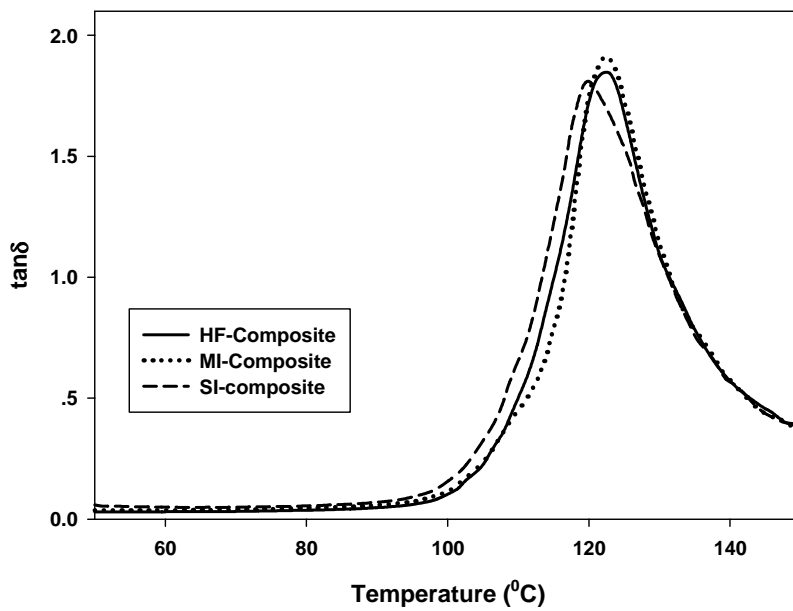
ในการวิเคราะห์หาอุณหภูมิการเปลี่ยนสถานะคล้ายแก้วของวัสดุจะใช้เทคนิค DMA โดยผลการทดสอบจะแสดงในรูปความสัมพันธ์ระหว่างอุณหภูมิกับค่า  $\tan\delta$  ดังแสดงในภาพที่ 44 และ 45 ซึ่งค่า  $\tan\delta$  จะเป็นความสัมพันธ์ระหว่าง Storage modulus ( $E'$ ) และ Loss modulus ( $E''$ ) ดังสมการต่อไปนี้

$$\tan\delta = E'' / E' \quad (\text{สมการที่ } 4.1)$$

ค่า  $E''$  บ่งบอกถึงการตอบสนองต่อแรงภายนอกแบบของไอล ส่วน  $E'$  แทนการตอบสนองต่อแรงภายนอกแบบของแข็ง ที่ช่วงอุณหภูมิ 50 – 100 องศาเซลเซียส ค่า  $\tan\delta$  มีค่าน้อยแสดงว่า  $E'' > E'$  นั่นคือการตอบสนองของวัสดุมีการตอบสนองแบบของแข็งมากกว่า แต่เมื่ออุณหภูมิสูงขึ้น ค่า  $\tan\delta$  มีค่าเพิ่มขึ้นและปรากฏเป็นพีคจีนี หมายความว่า ณ ที่อุณหภูมนั้น การตอบสนองต่อแรงภายนอกของชิ้นงานตัวอย่างเกิดการเปลี่ยนแปลงจากการตอบสนองแบบของแข็งไปเป็นการตอบสนองต่อแรงแบบของไอล ซึ่งที่อุณหภูมนั้นก็คืออุณหภูมิการเปลี่ยนสถานะคล้ายแก้วของวัสดุนั้นเอง



ภาพที่ 44 แสดงความสัมพันธ์ระหว่างค่า  $\tan\delta$  กับอุณหภูมิของเอ็นบีเอสนิสุทธิ์



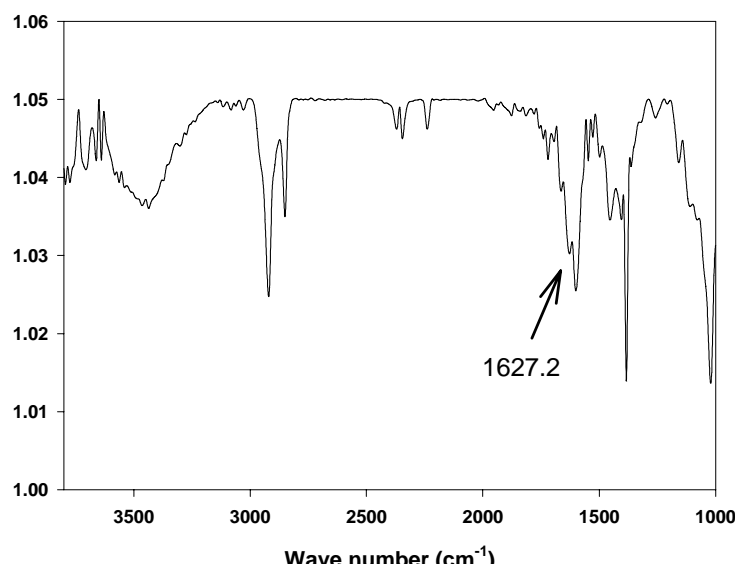
ภาพที่ 45 แสดงความสัมพันธ์ระหว่างค่า  $\tan\delta$  กับอุณหภูมิของวัสดุคอมโพลิทของผงไม้กับเอ็นบีเอส

ภาพที่ 44 และ 45 แสดงความสัมพันธ์ระหว่าง  $\tan\delta$  กับอุณหภูมิจากการทดสอบ DMA ของเอ็นบีเอสนิสุทธิ์และวัสดุคอมโพลิทของผงไม้กับเอ็นบีเอสตามลำดับ และอุณหภูมิการเปลี่ยนสถานะคล้ายแก้วของวัสดุสรุปไว้ในตารางที่ 11 ในกรณีของเอ็นบีเอสนิสุทธิ์ พบว่าอุณหภูมิการเปลี่ยนสถานะคล้ายแก้วของเอ็นบีเอสทั้งสามเกรดไม่แตกต่างกันเลย

ตารางที่ 11 อุณหภูมิการเปลี่ยนสถานะคล้ายแก้วของเอ็นบีเอสและคอมโพลิท

อุณหภูมิการเปลี่ยนสถานะคล้ายแก้ว (องศาเซลเซียส)		
ชนิดเอ็นบีเอส	พลาสติกเอ็นบีเอส	คอมโพลิท
<b>HF-ABS</b>	122.4	123.0
<b>MI-ABS</b>	122.9	122.5
<b>SI-ABS</b>	121.4	120.5

สำหรับอุณหภูมิการเปลี่ยนสถานะคล้ายแก้วของวัสดุคอมโพลิทพบว่าไม่แตกต่างไปจากพลาสติกเอ็นบีเอสบริสุทธิ์ ซึ่งพฤติกรรมดังกล่าวคล้ายกับวัสดุคอมโพลิทในหลายระบบ [50, 51] อันที่จริงการเติมพูนไม่ได้ผ่านการปรับปรุงพื้นผิวด้วยสารคุ้มครองนิดหน่อยเท่านั้น แต่ต้องใช้สารช่วยเหลือในการรักษาความคงทนของวัสดุคอมโพลิท เช่น สารฟอกขาว สารกันเสียหาย สารกันออกซิเจน สารกันเชื้อรา และสารกันแมลง เป็นต้น ซึ่งสารเหล่านี้จะทำให้สารตัวกลางที่อยู่ในวัสดุคอมโพลิทมีอิสระในการเคลื่อนที่มากขึ้น ทำให้เกิดการขยายตัวของวัสดุคอมโพลิท แต่เมื่อสารเหล่านี้ถูกเผาไหม้จะหลุดลอกออกจากผิวของวัสดุคอมโพลิท ทำให้เกิดรอยแตก รอยหลุดลอก และรอยชำรุด ซึ่งจะส่งผลต่อคุณภาพของวัสดุคอมโพลิท เช่น ทำให้ลดลงของค่าความแข็ง ค่าความต้านทานต่อการดัดแปลง และค่าความต้านทานต่อการสึก摩耗 รวมถึงค่าความต้านทานต่อการกัดกร่อน ซึ่งจะส่งผลกระทบต่อการใช้งานและการคงทนของวัสดุคอมโพลิท ดังนั้น การเลือกใช้สารตัวกลางที่เหมาะสมจึงเป็นสิ่งสำคัญที่ต้องคำนึงถึง



ภาพที่ 46 แสดงผลการการวิเคราะห์วัสดุคอมโพลิทของผงไม้กับ MI-ABS ด้วยเทคนิค FTIR

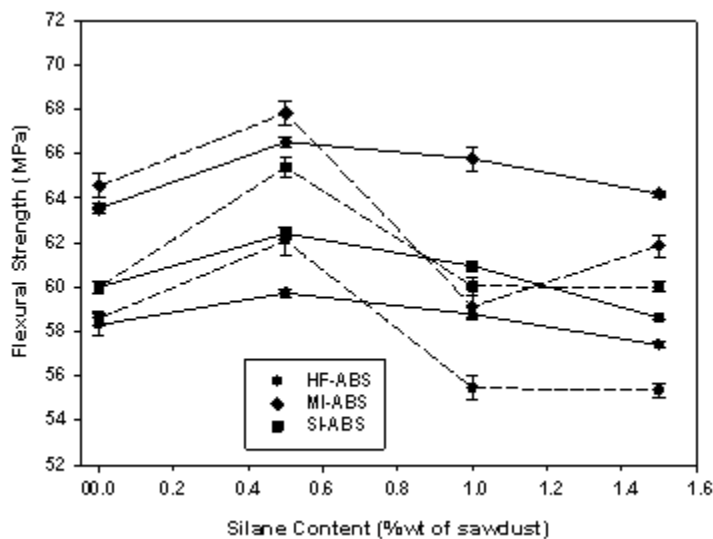
ดังนั้นจึงสรุปได้ว่าการเติมสารคุ้กคามในปริมาณน้อย (0.5 % โดยน้ำหนักของผงไม้) ทำให้เกิดการซึมอย่างของสายโซ่เอ็นบีอีสกับผงไม้ แต่ระดับการซึมอย่างนั้นน้อยมากจึงไม่ส่งผลต่ออุณหภูมิการเปลี่ยนสถานะคล้ายเก้าของวัสดุคอมโพลิทของผงไม้กับเอ็นบีอีส

#### 4.4 การศึกษาสมบัติเชิงกลของวัสดุคอมโพลิทผงไม้กับเอ็นบีอีส

การศึกษาสมบัติเชิงกลของเอ็นบีอีสและวัสดุคอมโพลิทของผงไม้กับเอ็นบีอีสซึ่งประกอบไปด้วย สมบัติแรงดึง (Tensile properties) สมบัติความโค้งงอ (Flexural properties) และ สมบัติความทนต่อแรงกระแทก (Impact property) โดยในงานวิจัยที่ผ่านมาพบว่า ใช้เลนชnidที่ใช้คือN-2-(aminoethyl)-3-(aminopropyl)trimethoxysilane พบว่ามีปริมาณการใช้ที่เหมาะสมอยู่ที่ 0.5% ของน้ำหนักผงไม้ แต่นั่นก็เป็นเพียงการทดลองโดยใช้พลาสติกเอ็นบีอีสเพียงเกรดเดียวเท่านั้น ดังนั้นในงานวิจัยนี้จะศึกษาปริมาณ ใช้เลนที่เหมาะสมสำหรับเอ็นบีอีสทุกเกรด

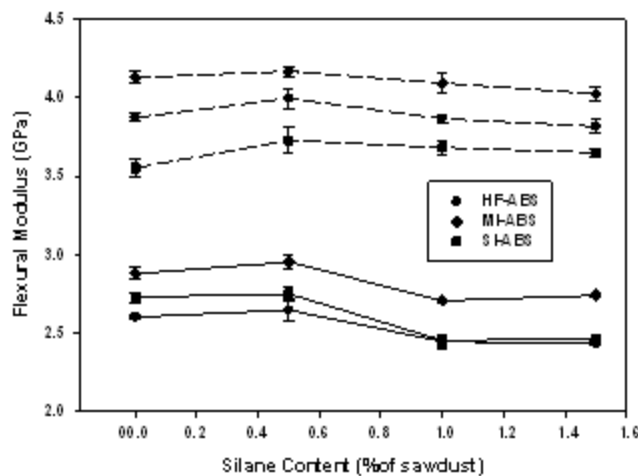
##### 4.4.1 อิทธิพลของปริมาณใช้เลนที่มีต่อสมบัติเชิงกลของวัสดุเชิงประ风俗ของผงไม้กับพลาสติกเอ็นบีอีส

การศึกษาอิทธิพลของปริมาณใช้เลนต่อสมบัติเชิงกลของวัสดุคอมโพลิท ซึ่งปริมาณใช้เลนที่ใช้จะอยู่ในช่วง 0 – 1.5 % ของน้ำหนักผงไม้ ซึ่งผลการทดลองแสดงในภาพที่ 47-49 แสดงให้เห็นถึงอิทธิพลของปริมาณสารคุ้กคามที่มีต่อความต้านการโค้งงอสูงสุด (flexural strength) modulus โค้งงอ (flexural modulus) ความต้านแรงดึง (tensile strength) และ modulus แรงดึง (tensile modulus) ของวัสดุคอมโพลิทตามลำดับ

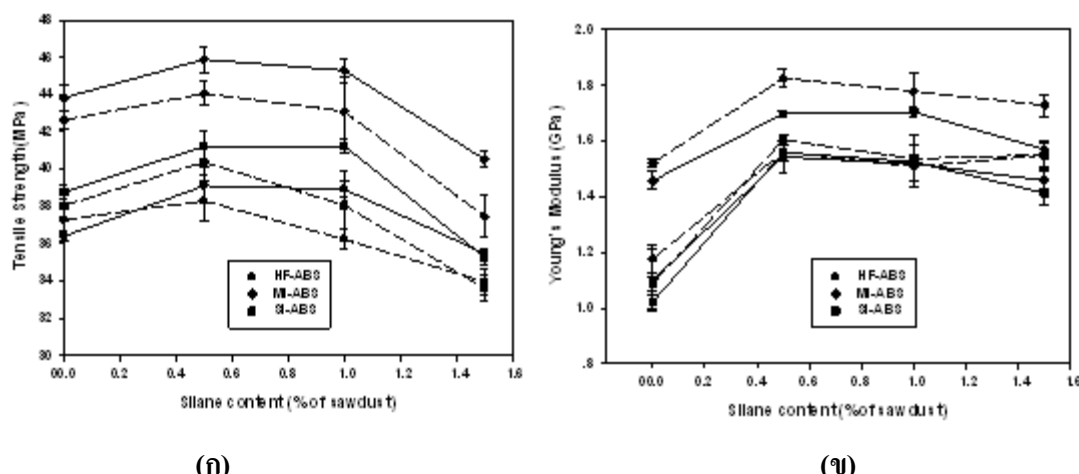


ภาพที่ 47 แสดงผลของปริมาณสารคุ้กคามต่อค่าความต้านการโค้งงอสูงสุดของวัสดุคอมโพลิท โดยที่เส้นทึบและเส้นประแสดงวัสดุคอมโพลิทที่มีปริมาณใช้เลน 9.1% (10 phr) และ 33.3% (50 phr) ตามลำดับ

จากการพบว่าสมบัติดังกล่าวของวัสดุคอมโพลิททุกสูตรมีค่าสูงสุดที่การใช้สารคุ้มครอง 0.5 เบอร์เซ็นต์โดยน้ำหนักของผงไม้ซึ่งสอดคล้องกับงานวิจัยที่ผ่านมา[33] การใช้สารคุ้มครองชนิดนี้ (*N*-2-(aminoethyl)-3-(aminopropyl)trimethoxysilane) สำหรับวัสดุคอมโพลิทผงไม้กับพลาสติกเอบีเอส มีปริมาณการใช้สูงสุดอยู่ที่ 0.5 เบอร์เซ็นต์โดยน้ำหนักผงไม้ เนื่องจากที่การใช้สารคุ้มครองในปริมาณที่มากเกินไป อาจส่งผลทำให้เกิดการรวมตัวกันเองของสารคุ้มครองแล้วเกิดเป็นเฟลของพอลิไซโลกเซน (polysiloxane) ขึ้นไปแทรกระหว่างเฟลของเอบีเอสกับผงไม้ ทำให้การยึดเหนี่ยวของผงไม้กับเอบีเอสลดลง ส่งผลให้สมบัติเชิงกลเหล่านี้ลดลง

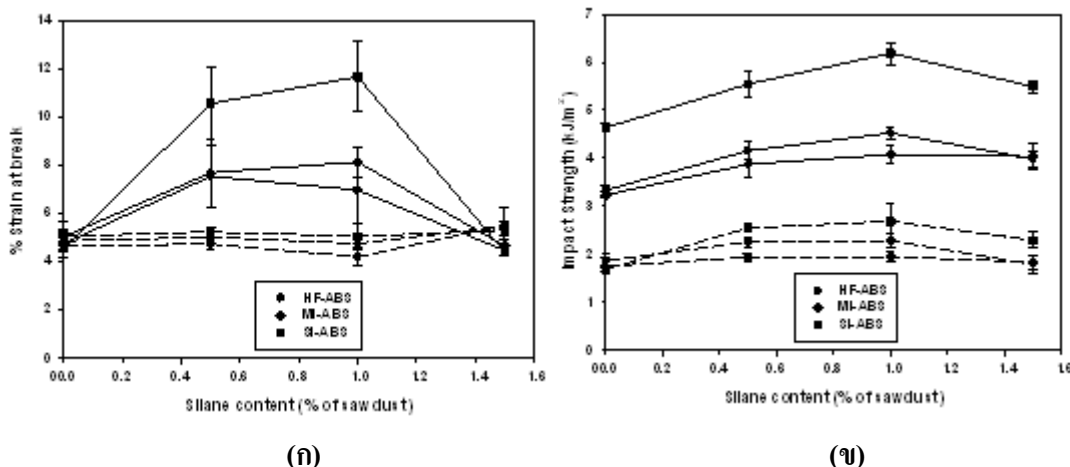


ภาพที่ 48 แสดงผลของปริมาณสารคุ้มครองต่อค่ามอดูลัสโค้งของวัสดุคอมโพลิท โดยที่เส้นทึบและเส้นประแสดงวัสดุคอมโพลิทที่มีปริมาณปิลีอิเมจ 9.1% (10 phr) และ 33.3% (50 phr) ตามลำดับ



ภาพที่ 49 แสดงผลของปริมาณสารคุ้มครองต่อ (ก) ค่าความทนต่อแรงดึงสูงสุด และ (ข) ค่ามอดูลัสแรงดึง โดยที่เส้นทึบและเส้นประแสดงค่าคอมโพลิทที่มีปริมาณปิลีอิเมจ 9.1% (10 phr) และ 33.3% (50 phr) ตามลำดับ

อย่างไรก็ตามในกรณีของค่าเบอร์เซ็นต์ยึดตัว ณ จุดขาด (% strain at break) และค่าความต้านแรงกระแทก (Impact Strength) ของวัสดุของโพลิกลัมมีค่าสูงสุดที่การใช้ปริมาณสารคู่ควบคุม 1.0 เบอร์เซ็นต์โดยน้ำหนักของพลาสติกไม้ ดังแสดงในภาพที่ 50 ทั้งนี้อาจเป็นเพราะขลุกวัสดุเชิงประกลับได้รับแรงกระแทก การที่มีพอลิไชลอกเซนนั้นจะทำให้การเลื่อนผ่านของสายโซ่พอลิเมอร์ง่ายขึ้น ส่งผลให้วัสดุมีความเหนียวมากขึ้น จึงยึดตัวเมื่อได้รับแรงดึงและทนต่อแรงกระแทกได้มากขึ้น แต่ที่การใช้สารคู่ควบคุมที่ปริมาณมากสุด (1.5 เบอร์เซ็นต์โดยน้ำหนักของพลาสติกไม้) พบว่าสมบัติดังกล่าวมีค่าลดลง อาจเนื่องมาจากการเกิดเป็นเฟสของพอลิไชลอกเซนที่มากขึ้น ทำให้การยึดเหนี่ยวของพลาสติกไม้กับเอ็นบีเอสลดลงอย่างมากและเกิดจุดบกพร่องที่มากขึ้นภายในชิ้นงาน



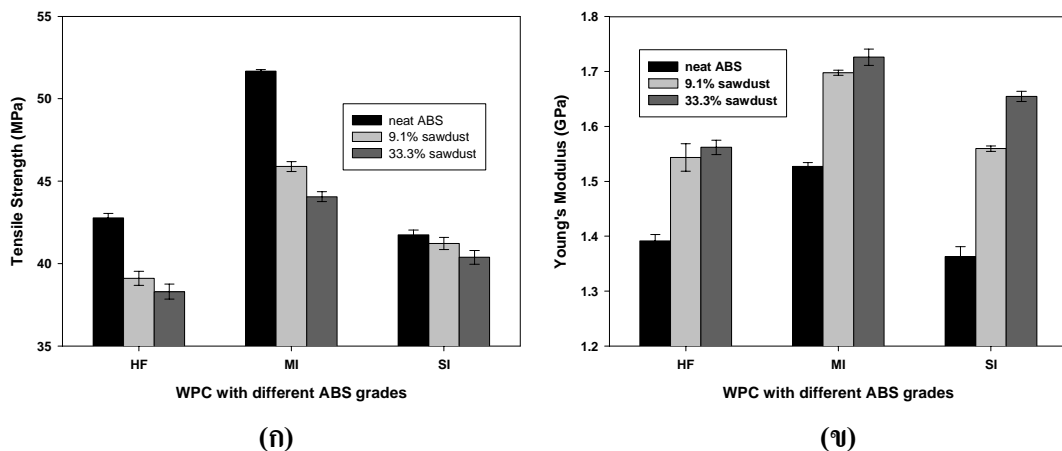
ภาพที่ 50 แสดงผลของปริมาณสารคู่ควบคุมต่อ (ก) เบอร์เซ็นต์ยึดตัว ณ จุดขาด (ข) ความต้านแรงกระแทกของวัสดุคอมโพลิท โดยที่เส้นทึบและเส้นประแสดงวัสดุคอมโพลิทที่มีปริมาณบีเอสเพียง 9.1% (10 phr) และ 33.3% (50 phr) ตามลำดับ

ดังนั้นในการศึกษาอิทธิพลของโโคโนโนเมอร์ต่อสมบัติเชิงกลของวัสดุคอมโพลิทในหัวข้อต่อไปจะใช้วัสดุคอมโพลิทที่การใช้ปริมาณบีเอสเพียง 0.5% ของน้ำหนักพลาสติกไม้

#### 4.4.2 อิทธิพลของปริมาณโโคโนโนเมอร์ในเอ็นบีเอสต่อสมบัติเชิงกลของวัสดุคอมโพลิทพลาสติกไม้กับเอ็นบีเอส

จากภาพที่ 51 แสดงค่าความทนต่อแรงดึงสูงสุด (Tensile strength) และมอดูลัสแรงดึง (Tensile modulus) ของเอ็นบีเอสและวัสดุคอมโพลิทพลาสติกไม้กับเอ็นบีเอส ในกรณีของเอ็นบีเอสนับริสุทช์พบว่า เอ็นบีเอสเกรด MIABS มีค่าความทนต่อแรงดึงสูงสุดและมอดูลัสแรงดึงมากที่สุด เนื่องจากการที่มีน้ำหนักไม้เล็กน้อย ประกอบกับการที่มีปริมาณยางบิวตะไดอินต์ต่ำโดยความแข็งแรงของเอ็นบีเอสจะแปรผกผันกับปริมาณยางบิวตะไดอิน [15, 16] และด้วยเหตุนี้จึงทำให้เอ็นบีเอสเกรด MI-ABS มีค่า

ความทันต่อแรงดึงสูงสุดและมอดุลส์สามารถที่สุดและในทางกลับกัน SI-ABS มีค่าความทันต่อแรงดึงสูงสุดและมอดุลส์แรงดึงต่ำที่สุด



ภาพที่ 51 แสดง (ก) ความต้านแรงดึงสูงสุด และ (ข) มอดุลส์แรงดึงของพลาสติกเอบีเอสและวัสดุคอมโพลิท

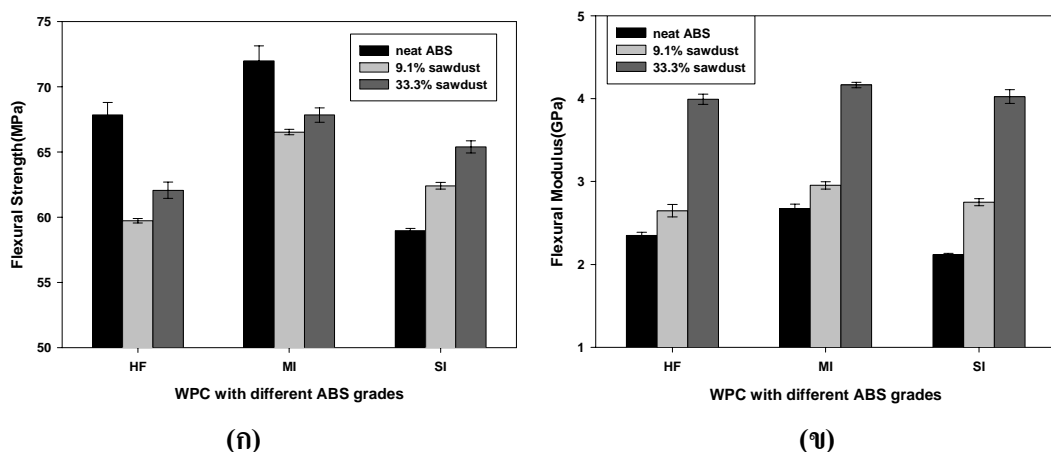
ในการผลิตของวัสดุคอมโพลิทค่าความทันต่อแรงดึงสูงสุดของวัสดุมีค่าลดลงเมื่อเทียบกับเอบีเอสบริสุทธิ์ ทั้งนี้เป็นเพราะในการขึ้นรูปปั๊นงานจากการนิด พนวจจะเกิดจุดบกพร่อง (Defect) ในชิ้นงานอย่างหลีกเลี่ยงไม่ได้ นั่นคือฟองอากาศ (Void) ที่เกิดขึ้นเนื่องจากสาเหตุของความเข้ากันได้ ยากของผงไม้กับเอบีเอส และถึงแม้จะมีการเติมสารกู้คืนเพื่อเพิ่มความเข้ากัน ได้ของเฟสทั้งสอง แต่ก็มีข้อจำกัดในการเติมสารดังกล่าวทำให้เกิดการเชื่อมโยงระหว่างผงไม้กับเอบีเอสในระดับต่ำ ดังแสดงให้เห็นจากการวิเคราะห์ด้วยเทคนิค FTIR ดังภาพที่ 46 การเกิดฟองอากาศดังกล่าวและเป็นผลทำให้เกิดการลดลงของค่าความต้านทานแรงดึงสูงสุดของวัสดุคอมโพลิทผงไม้กับเอบีเอส

สำหรับค่ามอดุลส์แรงดึงของวัสดุคอมโพลิทผงไม้กับเอบีเอสพบว่าค่ามอดุลส์แรงดึงของวัสดุคอมโพลิทผงไม้กับเอบีเอสทุกตัวอย่างจะมีค่ามอดุลส์ที่สูงขึ้นเมื่อเทียบกับเอบีเอสบริสุทธิ์และเพิ่มมากขึ้นตามปริมาณผงไม้ เนื่องจากการเติมผงไม้ซึ่งเป็นเฟสที่มีมอดุลส์สูงกว่าในพลาสติกดังแสดงในตารางที่ 12 ทำให้มอดุลส์โดยรวมของวัสดุคอมโพลิทนั้นสูงกว่าพลาสติกบริสุทธิ์

ตารางที่ 12 แสดงการเปรียบเทียบสมบัติเชิงกลระหว่างเอปีโอลีอีสและไม้ยางพารา

สมบัติ	พลาสติกเอปีโอลีอีส			ไม้ยางพารา [52]
	HF-ABS	MI-ABS	SI-ABS	
<b>Tensile modulus (GPa)</b>	1.39	1.53	1.36	2.07
<b>Flexural modulus (GPa)</b>	2.35	2.67	2.12	7.92
<b>Tensile strength (MPa)</b>	42.8	51.7	41.7	49.6
<b>Flexural strength (MPa)</b>	67.8	72.0	59.0	84.6

นอกจากนี้ในการทดสอบสมบัติการโค้งงอ พบร่วมกับค่าความหนืดต่อการโค้งงอสูงสุดมีแนวโน้มเข่นเดียวกับในกรณีของมอดูลัสแรงดึงและความหนืดต่อแรงดึงสูงสุด ดังแสดงในภาพที่ 51



ภาพที่ 52 แสดง (ก) ความหนืดต่อการโค้งงอสูงสุด และ (ข) มอดูลัสโค้งงอ ของพลาสติกเอปีโอลีอีสและวัสดุคอมโพลิทซึ่งอาจจะอธิบายได้ด้วยกฎการผสม [53] ดังสมการที่ 4.1

สำหรับผลของโมโนเมอร์ต่อค่าความหนืดต่อการโค้งงอ ความหนืดต่อแรงดึงสูงสุด และความหนืดต่อการโค้งงอสูงสุดสามารถอธิบายได้ด้วยกฎการผสม [53] ดังสมการต่อไปนี้

$$E_c = E_m V_s + E_p V_p \quad (\text{สมการที่ 4.2})$$

เมื่อ  $E_c$  คือค่าความหนืดหรือค่าความแข็งแรงของคอมโพลิท

$E_m$  คือค่าความหนืดหรือความแข็งแรงของสารเสริมแรง (ผงไม้)

$E_p$  คือ ค่าความหนืดหรือความแข็งแรงของพอลิเมอร์แมททริกซ์ (เอปีโอลีอีส)

$V_s$  คือสัดส่วนโดยมวลของสารเสริมแรง

$V_p$  คือสัดส่วนโดยมวลของพอลิเมอร์แมททริกซ์

และเมื่อเทนค่ามอดุลัสและความแข็งแรงจากตารางที่ 11 ค่ามอดุลัสแรงดึง มอดุลัสโถ้งของความหนาต่อแรงดึงสูงสุดและความหนาต่อการโค้งงอสูงสุด ที่คำนวณได้จากการทดสอบ แสดงดังในตารางที่ 13 และ 14

ตารางที่ 13 แสดงค่ามอดุลัสแรงดึง มอดุลัสโถ้งของความหนาต่อแรงดึงสูงสุดและความหนาต่อการโค้งงอสูงสุดของวัสดุคอมโพสิทพงไม้กับเอบีเอสที่ปริมาณการเติมพงไม้ 10 phr

สมบัติ	วัสดุคอมโพสิทพงไม้กับเอบีเอสเกรดต่างๆ					
	HF-ABS		MI-ABS		SI-ABS	
	ทดลอง	ทฤษฎี	ทดลอง	ทฤษฎี	ทดลอง	ทฤษฎี
<b>Tensile modulus (GPa)</b>	1.54	1.45	1.70	1.58	1.56	1.43
<b>Flexural modulus (GPa)</b>	2.65	2.86	2.95	3.15	2.75	2.65
<b>Tensile strength (MPa)</b>	39.1	43.5	45.9	51.6	41.2	42.5
<b>Flexural strength (MPa)</b>	59.7	69.4	66.5	73.2	62.4	61.4

ตารางที่ 14 แสดงค่ามอดุลัสแรงดึง มอดุลัสโถ้งของความหนาต่อแรงดึงสูงสุดและความหนาต่อการโค้งงอสูงสุดของวัสดุคอมโพสิทพงไม้กับเอบีเอสที่ปริมาณการเติมพงไม้ 50 phr

สมบัติ	วัสดุคอมโพสิทพงไม้กับเอบีเอสเกรดต่างๆ					
	HF-ABS		MI-ABS		SI-ABS	
	ทดลอง	ทฤษฎี	ทดลอง	ทฤษฎี	ทดลอง	ทฤษฎี
<b>Tensile modulus (GPa)</b>	1.56	1.61	1.73	1.71	1.65	1.59
<b>Flexural modulus (GPa)</b>	4.00	4.18	4.17	4.40	4.03	4.03
<b>Tensile strength (MPa)</b>	38.3	45.0	44.1	51.0	40.4	44.3
<b>Flexural strength (MPa)</b>	62.1	69.4	67.8	73.2	65.4	61.4

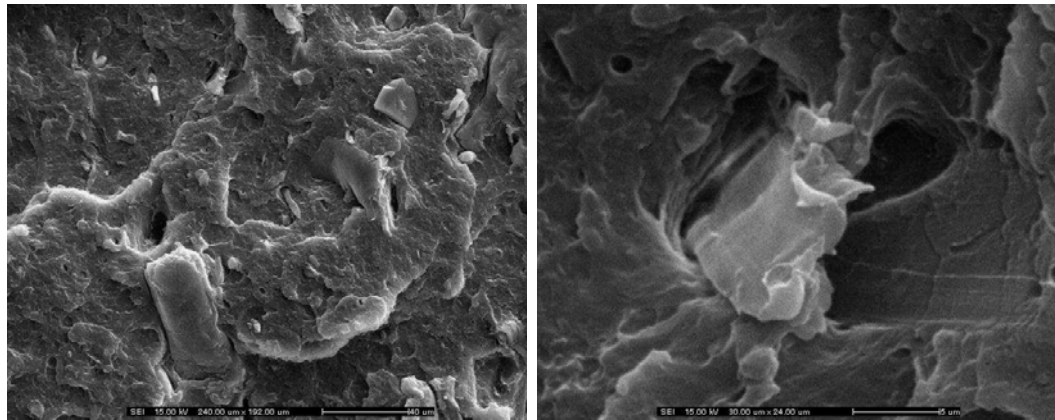
โดยการเปรียบเทียบค่าของสมบัติเชิงกลเหล่านี้สามารถแบ่งเป็นการเปรียบเทียบได้สองกรณีซึ่งก็คือ เปรียบเทียบกรณีการใช้อบีเอสที่มีน้ำหนักโมเลกุลที่ใกล้เคียงกันแต่มีปริมาณอะคริโลไนไตรต่างกัน (เปรียบเทียบระหว่างวัสดุคอมโพสิทพงไม้กับเอบีเอสเกรด HF-ABS และ SI-ABS) ส่วนกรณีที่สองคือการเปรียบเทียบสมบัติของวัสดุกรฟที่ใช้อบีเอสที่มีปริมาณอะคริโลไนไตรเท่ากันแต่มีน้ำหนักโมเลกุลต่างกัน (เปรียบเทียบระหว่างวัสดุคอมโพสิทพงไม้กับเอบีเอสเกรด MI-ABS และ SI-ABS)

การเปรียบเทียบสมบัติของวัสดุคอมโพสิตของพงไม้กับเอบีอีอสเกรด HF-ABS และ SI-ABS โดยเปรียบเทียบในรูปของเปอร์เซ็นต์ความแตกต่างจากค่าที่คำนวณได้จากการทดสอบดังแสดงในตารางต่อไปนี้

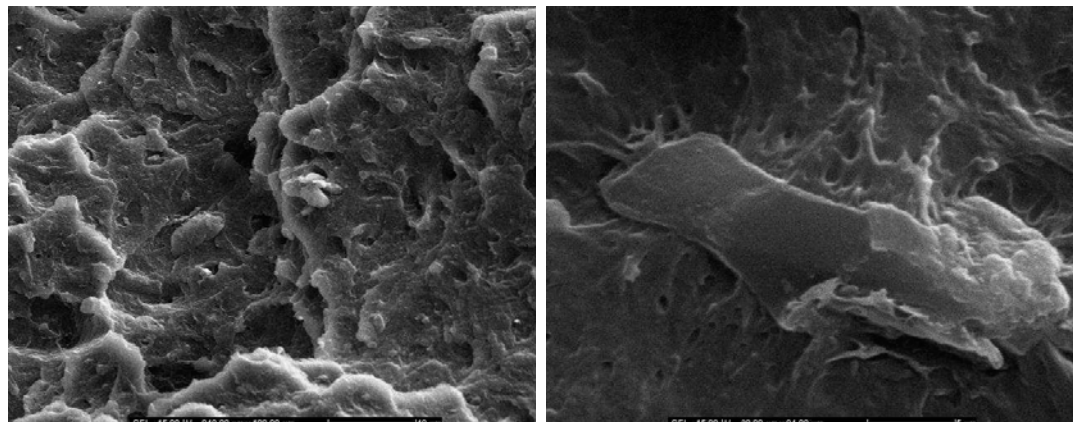
ตารางที่ 15 แสดงค่าความแตกต่างของสมบัติเชิงกลที่ได้จากการทดลองเทียบกับค่าที่ได้จากการทดสอบของวัสดุคอมโพสิตของพงไม้กับ HF-ABS และวัสดุคอมโพสิตของพงไม้กับ SI-ABS

สมบัติ	เปอร์เซ็นต์ความคลาดเคลื่อนจากทฤษฎี สำหรับวัสดุคอมโพสิตของพงไม้กับเอบีอีอส			
	พงไม้ 10 phr		พงไม้ 50 phr	
	HF-ABS	SI-ABS	HF-ABS	SI-ABS
<b>Tensile modulus (GPa)</b>	+6.21	+9.09	-3.11	+3.77
<b>Flexural modulus (GPa)</b>	-7.34	+3.77	-4.31	0.00
<b>Tensile strength (MPa)</b>	-10.11	-3.06	-14.89	-8.80
<b>Flexural strength (MPa)</b>	-13.98	+1.63	-10.52	+6.51

จากตารางที่ 15 พบร่วมกันความทนทานต่อแรงดึงสูงสุด ความทนต่อการโค้งงอสูงสุด ของคุลลัสแรงดึงและมอดูลัสโค้งของ วัสดุคอมโพสิตของพงไม้กับเอบีอีอสเกรด SI-ABS มีค่าความแตกต่างจากทฤษฎีในเชิงบวกมากกว่าคอมโพสิตของพงไม้กับเอบีอีอสเกรด HF-ABS ทึ้งในการเพิ่มค่าความต้านทานต่อแรงดึงสูงสุดและลดค่าความต้านทานต่อการโค้งงอลง แต่ค่าความต้านทานต่อการโค้งงอของวัสดุคอมโพสิตของพงไม้กับเอบีอีอสเกรด HF-ABS ทึ้งในกรณีการเติมพงไม้ในปริมาณน้อย (10 phr) และ ในปริมาณมาก (50 phr) ทึ้งนี้เป็นเพราะผลของปริมาณอะคริโลไนโตร ซึ่งเป็นส่วนสำคัญที่เกิดปฏิกิริยาเชื่อมโยงกับสารคู่ควบใช้เลน เนื่องจาก SI-ABS มีปริมาณอะคริโลไนโตรที่มากกว่าจึงทำให้ระดับการเกิดการเชื่อมโยงกับสารคู่ควบใช้เลนที่เก่าอยู่บนผิวของอนุภาคพงไม้สูงกว่า ทำให้เอบีอีอสเกรด SI-ABS มีการเข้ากันได้และการเกาะยึดบนผิวของพงไม้ได้ดีกว่าเอบีอีอสเกรด HF-ABS ซึ่งสามารถยืนยันได้จากภาพถ่ายจากกล้องจุลทรรศน์อิเล็กตรอนแบบส่องการดังแสดงในภาพที่ 53 และ 54



ภาพที่ 53 แสดงภาพถ่ายจากกล้องจุลทรรศน์อิเล็กตรอนแบบส่องกราด ของวัสดุคอมโพลิทพงไม้กับเอ็นบีเอสเกรด HF-ABS ที่กำลังขยาย 500 เท่า (ซ้าย) และ 1500 เท่า (ขวา)



ภาพที่ 54 แสดงภาพถ่ายจากกล้องจุลทรรศน์อิเล็กตรอนแบบส่องกราด ของวัสดุคอมโพลิทพงไม้กับเอ็นบีเอสเกรด SI-ABS ที่กำลังขยาย 500 เท่า (ซ้าย) และ 1500 เท่า (ขวา)

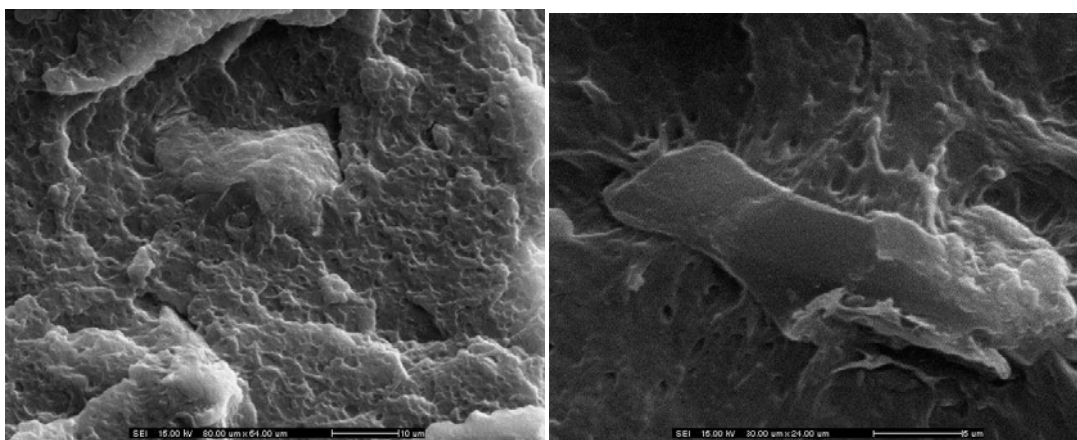
จากภาพที่ 53 และ 54 เห็นได้ว่าวัสดุคอมโพลิทของพงไม้กับเอ็นบีเอสเกรด HF-ABS ปรากฏให้เห็นช่องว่าง (Void) ระหว่างเฟสของพงไม้กับเอ็นบีเอสซึ่งแสดงให้เห็นถึงการยึดเกาะที่แย่ ซึ่งตรงกันข้ามกับในกรณีของคอมโพลิทของพงไม้กับเอ็นบีเอสเกรด SI-ABS โดยมีการยึดเกาะที่ดีกว่าของพงไม้กับเอ็นบีเอส

สำหรับการเปรียบเทียบค่าความแตกต่างของสมบัติของวัสดุคอมโพลิทพงไม้กับเอ็นบีเอสที่ใช้เอ็นบีเอสที่มีน้ำหนักโมเลกุลต่างกันแสดงดังในตารางที่ 15 โดยที่ MI-ABS เป็นเอ็นบีเอสที่มีน้ำหนักโมเลกุลสูง ส่วน SI-ABS เป็นเอ็นบีเอสที่มีน้ำหนักโมเลกุลต่ำกว่า

ตารางที่ 16 แสดงเปรียบเทียบคุณภาพต่างของสมบัติเชิงกลที่ได้จากการทดลองเทียบกับค่าที่ได้จากกฎการผสม ของวัสดุคอมโพสิตของผงไม้กับ MI-ABS และวัสดุคอมโพสิตของผงไม้กับ SI-ABS

สมบัติ	เปรียบเทียบคุณภาพต่างของวัสดุคอมโพสิตของผงไม้กับ MI-ABS และวัสดุคอมโพสิตของผงไม้กับ SI-ABS			
	ผงไม้ 10 phr		ผงไม้ 50 phr	
	MI-ABS	SI-ABS	MI-ABS	SI-ABS
<b>Tensile modulus (GPa)</b>	+7.59	+9.09	+1.17	+3.77
<b>Flexural modulus (GPa)</b>	-6.35	+3.77	-5.23	0.00
<b>Tensile strength (MPa)</b>	-11.05	-3.06	-13.53	-8.80
<b>Flexural strength (MPa)</b>	-9.15	+1.63	-7.38	+6.51

เนื่องจากความเข้ากันได้ และการยึดเกาะที่ดีของผงไม้กับพลาสติกอ่อนเบอร์เจสชั้นอยู่กับปริมาณอะคริโลไนไตรเป็นหลัก ดังนั้นสำหรับพลาสติกอ่อนเบอร์เจสทั้งสองเกรดนี้ซึ่งมีปริมาณอะคริโลไนไตรที่เท่าๆกัน จึงแสดงการยึดเกาะที่ดีระหว่างเฟสของผงไม้กับอ่อนเบอร์เจสชั้งแสดงให้เห็นด้วยภาพถ่ายจากกล้องอิเล็กทรอนแบบส่องกระดาษดังในภาพที่ 55

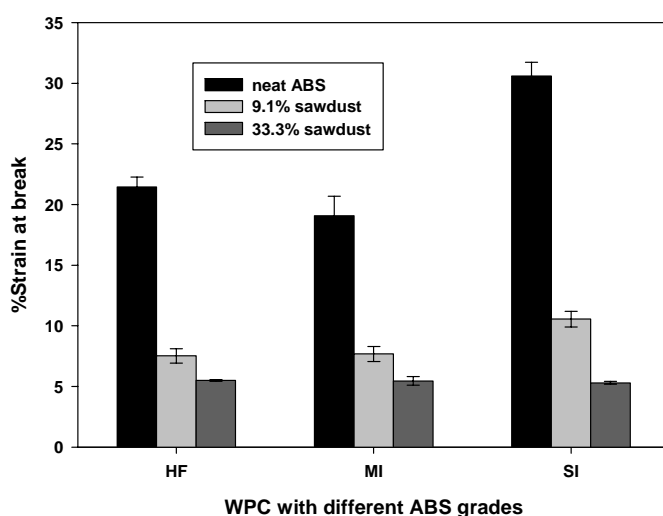


ภาพที่ 55 แสดงภาพถ่ายจากกล้องจุลทรรศน์อิเล็กทรอนแบบส่องกระดาษ ของวัสดุคอมโพสิตของผงไม้กับอ่อนเบอร์เจสเกรด MI-ABS (ซ้าย) และ SI-ABS (ขวา) ที่กำลังขยาย 1500 เท่า

จากรูปที่ 55 แม้ว่าวัสดุคอมโพสิตของผงไม้กับอ่อนเบอร์เจสทั้งสองเกรดนี้จะแสดงการยึดเกาะที่ดีระหว่างเฟสของผงไม้กับอ่อนเบอร์เจสในลักษณะที่เหมือนๆกัน แต่เมื่อพิจารณาจากเปรียบเทียบคุณภาพต่างของสมบัติเชิงกลจากทฤษฎีพบว่า ความทนทานต่อแรงดึงสูงสุด ความทนต่อการโค้งงอสูงสุด มอดูลัสแรงดึงและมอดูลัสโค้งงอของ วัสดุคอมโพสิตของผงไม้กับอ่อนเบอร์เจสเกรด MI-ABS มี

ความแตกต่างจากทฤษฎีไปในเชิงลบมากกว่าสัดคุณมโพลิทพงไม้กับเอบีอีสเกรด SI-ABS ทั้งนี้อาจเป็นเพราะว่าการที่ MI-ABS มีน้ำหนักไม่เลกุลที่มากกว่าและมีปริมาณสไตรีนมากกว่า ทำให้หั้งพลาสติกเอบีอีส MI-ABS และคอมโพลิทของผงไม้กับ MI-ABS มีความแข็งเกร็ง (Stiffness) ที่สูงกว่าตัวอย่าง SI-ABS ทำให้ในขั้นตอนการเย็บตัว บริเวณผิวของแม่พิมพ์จะเกิดการเย็บตัวก่อนแล้วทำให้เกิดการดึงเอามีพลาสติกจากแกนกลาง สำหรับสัดคุณที่มีความยืดหยุ่นน้อยจะทำให้เนื้อพลาสติกบริเวณแกนกลางมีโอกาสแยกออกจากกัน ได้มากกว่าเกิดเป็นฟองสุญญากาศขึ้นในปริมาณที่มากกว่า ซึ่งฟองสุญญากาศเหล่านี้เองที่ทำให้สมบัติเชิงกลทั้งในส่วนของความทนทานต่อแรงดึงสูงสุด ความทนต่อการโก้งงอสูงสุด มอดูลัสแรงดึงและมอดูลัสโก้งงอ ของสัดคุณมโพลิทของผงไม้กับ MI-ABS มีค่าต่ำกว่าสัดคุณมโพลิทของผงไม้กับ SI-ABS เมื่อเปรียบเทียบกับค่าที่คำนวณได้จากทฤษฎีการผสม

สำหรับค่าเปลอร์เซ็นต์การยืดตัว ณ จุดขาด (Percent strain at break) ของพลาสติกเอบีอีส และสัดคุณมโพลิทของผงไม้กับเอบีอีส แสดงดังภาพที่ 56 โดยในกรณีของพลาสติกเอบีอีสบริสุทธิ์ ค่าดังกล่าวจะเป็นอยู่กับปริมาณยาง นั่นคือเอบีอีสเกรดที่มีปริมาณยางมากจะทำให้พลาสติกมีความเหนียวและยืดตัวออกได้มากเมื่อได้รับแรงดึง ดังนั้นเอบีอีสเกรด SI-ABS จึงมีเปลอร์เซ็นต์การยืดตัว ณ จุดขาดมากที่สุด

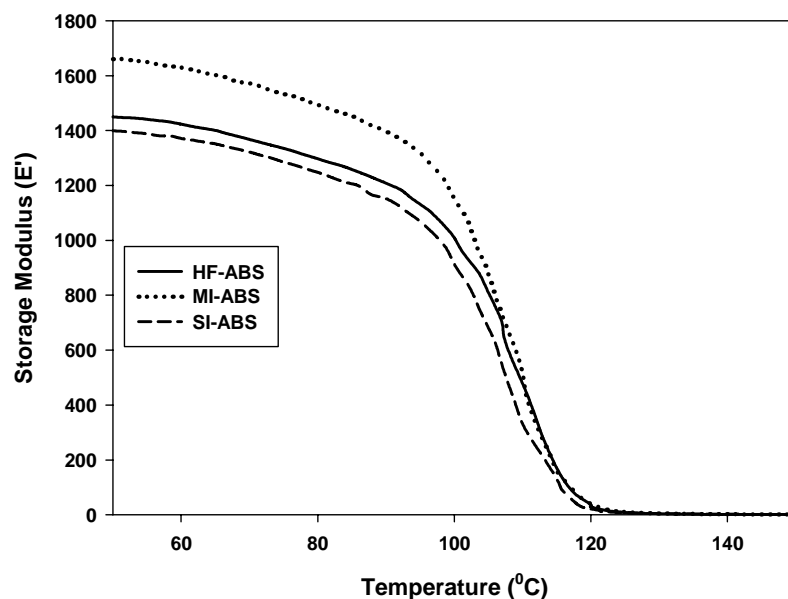


ภาพที่ 56 แสดงเปลอร์เซ็นต์การยืดตัว ณ จุดขาดของพลาสติกเอบีอีสบริสุทธิ์และสัดคุณมโพลิทของผงไม้กับเอบีอีส

ในกรณีของสัดคุณมโพลิทจะพบว่าค่าการยืดตัวของสัดคุณมีค่าลดลงอย่างมาก เนื่องจาก การเติมผงไม้ลังไปซึ่งเป็นการลดปริมาณเฟสที่มีความเหนียว (เอบีอีส) ประกอบกับฟองสุญญากาศ

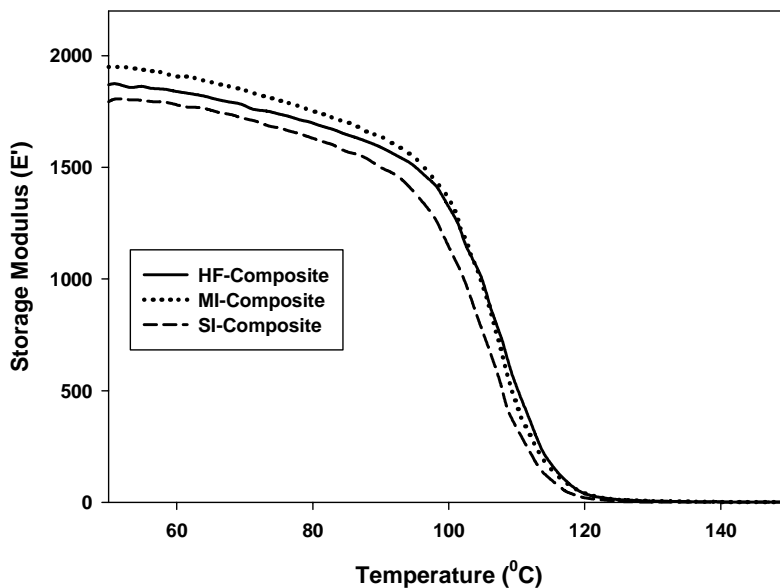
ที่เกิดจากความไม่เข้ากันระหว่างพงไม้กับเอบีเอส ส่งผลให้ความเหนียวของวัสดุลดลง เมื่อพิจารณาการเติมพงไม้ในปริมาณน้อย (ร้อยละ 9.1) อิทธิพลของบิวตะไดอีนยังคงส่งผลต่อวัสดุคอมโพลิท นั่นคือ วัสดุคอมโพลิทที่มีปริมาณยางมาก ก็จะมีความเหนียวมากกว่าคอมโพลิทที่มีปริมาณยางน้อย แต่ที่ระดับการเติมพงไม้ในปริมาณมาก (ร้อยละ 33.3) อิทธิพลของสัดส่วนโโคโนเมอร์ส่งผลน้อยมากต่อความเหนียวของวัสดุ

ภาพที่ 57 แสดงค่า Storage modulus จากการทดสอบด้วยเทคนิค DMA ของเอบีเอสบริสุทธิ์และวัสดุคอมโพลิทของพงไม้กับเอบีเอสตามลำดับ สำหรับค่า Storage modulus ของเอบีเอสบริสุทธิ์ พบร่วมกับเอบีเอสเกรด MI-ABS มีค่ามอดูลัส (Storage modulus) สูงที่สุด ส่วน SI-ABS จะมีมอดูลัสต่ำที่สุด ซึ่งสอดคล้องกับการทดสอบสมบัติเชิงกล (มอดูลัสแรงดึงและมอดูลัสโค้งงอ) ทั้งนี้ เป็นผลมาจากการน้ำหนักโมเลกุลที่สูงและประกอบกับการที่มีปริมาณบิวตะไดอีนต่ำ



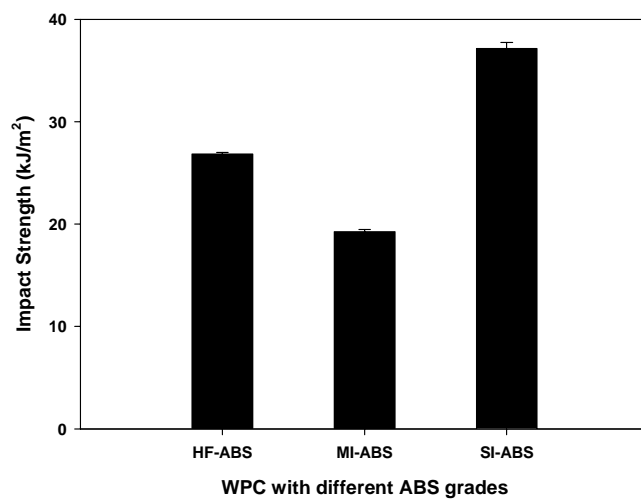
ภาพที่ 57 แสดงความสัมพันธ์ระหว่างค่า Storage modulus กับอุณหภูมิของเอบีเอสบริสุทธิ์

ส่วนในกรณีของวัสดุคอมโพลิทจะเห็นว่าการเติมพงไม้ลงไปในเอบีเอสจะทำให้ค่ามอดูลัสของวัสดุเพิ่มขึ้น เนื่องมาจากการเติมพงไม้ซึ่งเป็นเฟลที่มีความแข็งแรงไปในพลาสติกทำให้ความแข็งของวัสดุเพิ่มขึ้นผลดังกล่าวสอดคล้องกับ มอดูลัสแรงดึง และมอดูลัสโค้งงอ

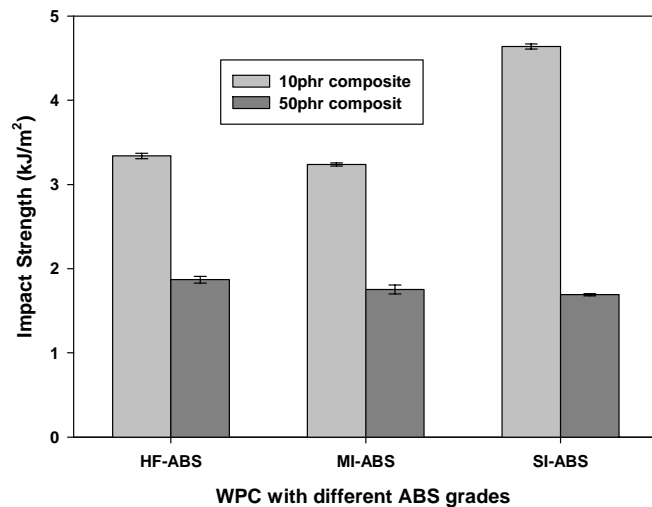


ภาพที่ 58 แสดงความสัมพันธ์ระหว่างค่า Storage modulus กับอุณหภูมิของวัสดุคอมโพสิตของพังไม้กับเอบีโอดีส

ในส่วนของสมบัติความทนต่อแรงกระแทกของเอบีโอดีส มีความสัมพันธ์โดยตรงกับความหน่วงของวัสดุดังนั้นผลการทดลองในส่วนนี้จึงมีแนวโน้มเช่นเดียวกันกับเปอร์เซ็นต์การยึดตัว ณ จุดขาด ซึ่งแสดงดังภาพที่ 59 โดยความทนต่อแรงกระแทกของเอบีโอดีสบริสุทธิ์ได้รับอิทธิพลจากปริมาณยางโดยตรง เอบีโอดีสเกรด SI-ABS มีความทนต่อแรงกระแทกมากที่สุดแต่ MI-ABS จะมีความทนทานต่อแรงกระแทกน้อยที่สุดตามปริมาณยาง



ภาพที่ 59 แสดงความทนต่อแรงกระแทกของพลาสติกเอบีโอดีสบริสุทธิ์



ภาพที่ 60 แสดงความทนต่อแรงกระแทกของวัสดุคอมโพลิท

ความทนทานต่อแรงกระแทกของวัสดุคอมโพลิทผงไม้กับเอบีเอสแสดงในภาพที่ 60 พบว่า ความทนต่อแรงกระแทกของวัสดุคอมโพลิทลดลงอย่างมากเมื่อเทียบกับเอบีเอสนิสูตรชีเนื่องมาจากการลดปริมาณของเพสพลาสติกทำให้ความหนึ่งของวัสดุลดลง ทำให้วัสดุมีความเปลี่ยนแปลง โดยที่การเติมผงไม้ 10 phr พบว่าบิวตะได้อินยังคงส่งผลต่อความทนต่อแรงกระแทกของวัสดุคอมโพลิทเช่นเดียวกับเอบีเอสนิสูตรชี แต่สำหรับการเติมผงไม้ 50 phr พบว่าอิทธิพลของปริมาณโคไมโนนเมอร์ไม่ส่งผลต่อความทนทานต่อแรงกระแทกของวัสดุคอมโพลิทผงไม้กับพลาสติกเอบีเอสเลย

## บทที่ 5

### สรุปผลการทดลอง

#### 5.1 สมบัติการไหลของวัสดุคอมโพสิตเอ็นโอสกับผงไม้

จากการศึกษาพบว่าปริมาณอะคริโลไลน์ไตรมิอิทิพลต่อสมบัติการไหลของวัสดุนั้นคือทำให้ความหนืดของพลาสติกเอ็นโอสบริสุทธิ์และวัสดุคอมโพสิทหลอมเหลวมีค่าสูงขึ้นเมื่อปริมาณอะคริโลไลน์ไตรามากขึ้น ในกรณีของบิวตะไคลอีนส่งผลต่อสมบัติ Shear thinning ของเอ็นโอสและวัสดุคอมโพสิท กล่าวคือการที่มีปริมาณบิวตะไคลอีนมากทำให้ความหนืดของพอลิเมอร์หลอมเหลวลดลงอย่างรวดเร็วตามอัตราเครียดเดือนที่เพิ่มขึ้นซึ่งแสดงให้เห็นจากค่าบรรชนีกำลัง และในส่วนของการศึกษาการบวนตัวที่หัวขึ้นรูป แม้ว่าบิวตะไคลอีนจะเป็นเฟสที่ทำให้เกิดการบวนตัวที่มาก แต่กลับพบว่าอิทิพลของน้ำหนักโน้มเลกูลของเอ็นโอสมีผลมากกว่าแม้ว่าจะเป็นเอ็นโอสที่มีปริมาณยางน้อยที่สุดก็ตาม

#### 5.2 สมบัติทางความร้อนของวัสดุคอมโพสิตเอ็นโอสกับผงไม้

ในการศึกษาการสลายตัวทางความร้อนของวัสดุคอมโพสิทพบว่าเฟสของพอลิไซลิโอดอกเซนที่เกิดขึ้นจากสารคู่คบในวัสดุคอมโพสิทของผงไม้กับเอ็นโอสที่มีปริมาณอะคริโลไลน์ไตรน้อยทำให้วัสดุคอมโพสิทสามารถสลายตัวที่อุณหภูมิสูงขึ้น อย่างไรก็ตามปริมาณอะคริโลไลน์ไตรไม่มีผลต่ออุณหภูมิการสลายตัวของในคอมโพสิทที่การเติมผงไม้ในปริมาณมาก นอกจานี้การศึกษาอุณหภูมิการเปลี่ยนสถานะคล้ายแก้วพบว่าทั้งในเอ็นโอสและคอมโพสิทไม่ปรากฏให้เห็นถึงความแตกต่างของอุณหภูมิการเปลี่ยนสถานะจากการทดสอบด้วยเทคนิค DMA

#### 5.3 สมบัติเชิงกลของวัสดุคอมโพสิทผงไม้กับเอ็นโอส

วัสดุคอมโพสิทผงไม้กับเอ็นโอสที่มีปริมาณอะคริโลไลน์ไตรมากจะมีสมบัติเชิงกลที่ดีกว่าทึ้งความแข็งแรงและมอดคลั๊สเนื่องจากอะคริโลไลน์ไตรมีส่วนสำคัญในการเข้าทำปฏิกิริยา กับสารคู่คบทำให้เกิดการเข้ากันได้ดีระหว่างเฟสพลาสติกกับผงไม้ โดยปริมาณสารคู่คบ N-2-(aminoethyl)-3-(aminopropyl)trimethoxysilane ที่เหมาะสมได้แก่ 0.5 เปอร์เซนต์โดยน้ำหนักของผงไม้

ส่วนยางบิวตะไคลอีนจะเป็นส่วนที่สำคัญในการรับแรงกระแทกของเอ็นโอสแต่ในกรณีของคอมโพสิทพบว่าความแตกต่างของปริมาณยางบิวตะไคลอีนในวัสดุคอมโพสิทไม่ส่งอิทธิพลต่อ

ความทันทันต่อแรงกระแทกของวัสดุคอมโพสิต อีกทั้งยังมีค่าลดลงอย่างมากเมื่อเทียบกับเย็นบีโอด  
บริสุทธิ์

### បរវត្ថាណុករម

1. A.K.Bledzki, J.Gassan, and S.Theis, "Wood-Filled Thermoplastic Composite," **Mechanics of Composite Materials** 34 (1998):
2. A.K.Bledzki, M.Letman, A.Viksne, and L.Renceb, "A comparison of compounding processes and wood type for wood fibre-PP composites," **Composites: Part A** 36 (2005): 789-797.
3. B.Kamal, P.Shusheng, and P.M. "Dimensional stability and mechanical behaviour of wood-plastic composites based on recycled and virgin high-density polyethylene (HDPE)," **Composites: Part B** (2007):
4. D.Geum-Hyun, L.Sun-Young, K.In-Aeh, and K.Young-To, "Thermal behavior of liquefied wood polymer composites (LWPC)," **Composite Structures** 68 (2005): 103-108.
5. D.Livia, J.Tünde, S.Zoltán, N.Gábor, M.János, and P.Béla, "Wood flour filled PP composites: compatibilization and adhesion," **Composites Science and Technology** 67 (2007): 2838-2846.
6. G.K.Ryan, Creep Behavior of a wood-polypropylene composite, 2005, Washington State University, 96.
7. K.Richard, Z.S.Audrey, H.Scott, and G.Wolfgang, "Mechanical properties of wetlaid lyocell and hybrid fiber-reinforced composites with polypropylene," **Composites: Part A** 39 (2008): 470-477.
8. M.Fatih and K.Ayse, "Determination of thermal properties and morphology of eucalyptus wood residue filled high density polyethylene composites," **International Journal of Molecular Sciences** 9 (2008): 107-119.
9. Y.T.Zheng, D.R.Cao, D.S.Wang, and J.J.Chen, "Study on the interface modification of bagasse fibre and the mechanical properties of its composite with PVC," **Composites:Part A** 38 (2007): 20-25.
10. Z.Yongsheng, W.Kejian, Z.Fuhua, X.Ping, and J.Mingyin, "Properties of poly(vinyl chloride)/wood flour/montmorillonite composites: Effects of coupling agents and layered silicate," **Polymer Degradation and Stability** 91 (2006): 2874-2883.

11. I.I.Rubin, Handbook of plastic materials and technology Vol. John Wiley & Sons, (New York, 1990).
12. J.C.Salamone, Polymer Materials Encyclopedia, (New York: CRC Press, 1996).
13. J.Scheirs and D.Priddy, Modern styrenic polymers, (West Sussex: John Wiley & Sons Ltd, 2003), 757.
14. I.-J. Kim, O.-S. Kwon, J.B. Park, and H. Joo, "Synthesis and characterization of ABS/silica hybrid nanocomposites," **Current Applied Physics** 6S1 (2006): e43-e47.
15. H.Kim, H.Keskkula, and D.R.Paul, "Toughening of SAN copolymer by an SAN emulsion grafted rubber," **Polymer** 31 (1990): 869-876.
16. H.Kim, H.Keskkula, and D.R.Paul, "Effect of acrylonitrile content on the toughness of ABS materials," **Polymer** 32 (1991): 1447-1455.
17. K.H.Gardner and J.Blackwel, "Structure of Native Cellulose," **Biopolymers** 13 (1974): 1975-2001.
18. D.N.S. Hon and N. Shiraishi, Wood and cellulosic chemistry, (New York: Marcel Dekker INC., 2001).
19. A.K.Bledzki and J.Gassan, "Composites reinforced with cellulose based fibers," **Progress in Polymer Science** 24 (1999): 221-274.
20. D.N.S. Hon and N.H. Ou, "Thermoplasticization of wood. I. Benzylation of wood," **Journal of Polymer Science Part A: Polymer Chemistry** 27 (1989): 2457–2482.
21. X.Lu, M.Q.Zhang, M.Z.Rong, G.Shi, and G.C.Yang, "All-plant fiber composites. II: water absorption behavior and biodegradability of unidirectional sisal fiber reinforced benzylated wood," **Polymer Composites** 3 (2004):
22. M.Q.Zhang, M.Z.Rong, and X.Lu, "Fully biodegradable natural fiber composites from renewable resources: All-plant fiber composites," **Composites Science and Technology** 65 (2005):
23. C.S.R. Freire, A.J.D. Silvestre, C. Pascoal Neto, M.N. Belgacem, and A. Gandini, "Controlled heterogeneous modification of cellulose fibers with fatty acids: effect of reaction conditions on the extent of esterification and fiber properties," **Journal of Applied Polymer Science** 100 (2006): 1093–1102.

24. G.Chauvelon, L.Saulnie, A.Buleon, J.F.Thibault, C.Gourson, and R.Benhaddou, "Acidic activation of cellulose and its esterification by long-chain fatty acid," **Journal of Applied Polymer Science** 74 (1999): 1933–1940.
25. M. Baiardo, G. Frisoni, M. Scandola, and A. Licciardello, "Surface chemical modification of natural cellulose fibers," **Journal of Applied Polymer Science** 83 (2002): 38–45.
26. P. Jandura, B.V. Kokta, and B. Riedl, "Fibrous long-chain organic acid cellulose esters and their characterization by diffuse reflectance FTIR spectroscopy, solid state CP/MAS <sup>13</sup>C-NMR, and X-Ray diffraction," **Journal of Applied Polymer Science** 78 (2000): 1354–1365.
27. P.Jandura, B.Ried, and B.V. Kokta, "Thermal degradation behavior of cellulose fibers partially esterified with some long chain organic acids," **Polymer Degradation and Stability** 70 (2000): 387-394.
28. S. Thiebaud and M.E. Borredon, "Solvent-free wood esterification with fatty acid chlorides " **Bioresource Technology** 52 (1995): 169-173.
29. S.Thiebaud, M.E. Borredon, G.Baziard, and F.Senocq, "Properties of wood esterified of wood esterified by fatty-acid chlorides " **Bioresource Technology** 59 (1997): 103-107.
30. V. Tserki, N.E. Zafeiropoulos, F. Simon, and C. Panayiotou, "A study of the effect of acetylation and propionylation surface treatments on natural fibres," **Composites: Part A** 36 (2005): 1110–1118.
31. Z.Dominkovics, L.Danyadi, and B.Pukanszky, "Surface modification of wood flour and its effect on the properties of PP/wood composites," **Composites: Part A** 38 (2007): 1893–1901.
32. B.T.Astrom, **Manufacturing of polymer composites**, (London: Chapman & Hall, 1997), 120-125.
33. L.Chotirat, K.Chaochanchaikul, and N.Sombatsompop, "On adhesion mechanisms and interfacial strength in acrylonitrile–butadiene–styrene/wood sawdust composites," **International Journal of Adhesion & Adhesives** 27 (2007): 669–678.

34. B.E Tiganis, L.S Burn, P Davis, and A.J. Hill, "Thermal degradation of acrylonitrile–butadiene–styrene (ABS) blends," **Polymer Degradation and Stability** 76 (2002): 425–434.
35. M.W. Chastagner, Slit die rheology of HDPE and ABS based wood plastic composites, 2005, WASHINGTON STATE UNIVERSITY, 96.
36. PerkinElmer Inc. Carpillary Rheometer [online], 1998-2009. Available from <Http://las.perkinelmer.com>.
37. D.Cambell and J.R.White, Polymer characterization (London: Chapman&Hall, 1989), 362.
38. Fungilab. Viscometer [online], 2009. Available from <http://www.fungilab.com/en/prop:Cos/0/1:2:22:23>.
39. Malvern Instruments. Understanding dilute solution viscosity (DSV) [online], 2010. Available from <http://www.malvern.com/LabEng/company/company.htm>.
40. P.Davis, R.A.Grazia, N.Roberto, and V.Nicola, *Process for the preparation of ABS resins*. 1998: United State of America.
41. Direct Industry. Virtual industrial exhibition [online], 2009. Available from <Http://directindustry.com>.
42. P.J. Carreau, D. De Kee, and R.P. Chhabra, Rheology of polymeric systems, (Munich: Hanser publication Inc., 1997), 520.
43. M.Rubinstein and R.H.Colby, Polymer physics, (New York: Oxford University Press Inc., 2003), 440.
44. N. Sombatsompop and W. Chaiwattanapipat, "Temperature distributions of molten polypropylene during injection-molding" **Advances in Polymer Technology** 19 (2000): 79-86.
45. N. Sombatsompop and N.-T. Intawong, "A comparative study on extrudate swell ratio of polystyrene in a capillary rheometer and a single screw extruder," **Polymer Testing** 24 (2005): 948–952.
46. C.R.Kumar, S.V. Nair, K.E. George, Z. Oommen, and S.Thomas, *Blends of nylon/acrylonitrile butadiene rubber: effects of blend ratio, dynamic vulcanization and*

- reactive compatibilization on rheology and extrudate morphology*, in *Polymer Engineering and Science*. 2003, CBS Interactive Inc.
47. H.Varghese, J.S.Anand, K. Ramamurth, R.Janardhan, S.S.Bhagawan, and S.Thomas, "Melt rheology and morphology of nitrile rubber and ethylene-vinyl acetate copolymer blends," **Polymer plastics technology and engineering** 38 (1999): 319-339.
  48. S. Zulfiqar and S. Ahmad, "Thermal degradation of blends of PVAC with polysiloxane-II," **Polymer Degradation and Stability** 71 (2001): 299-304.
  49. S.Tiptipakorn, S.Damrongsakkul, S.Ando, K.Hemvichian, and S.Rimdusit, "Thermal degradation behaviors of polybenzoxazine and silicon-containing polyimide blends," **Polymer Degradation and Stability** 92 (2007): 1265-1278.
  50. H.Hsich, "Composite rheology- I. Elastomer-filler interaction and its effect on viscosity," **Journal of materials science** 17 (1982): 438-446.
  51. R.A.C.Altafim, C.R.Murakami, S.C.Neto, L.C.R.Araújo, and G.O.Chierice, "The effects of fillers on polyurethane resin-based electrical insulators," **Materials Research** 6 (2003): 187-191.
  52. S.Chirasatitsin, S.Prasertsan, W.Wisutmethangoon, and B.Kyokong, "Mechanical properties of rubberwood oriented strand lumber (OSL): The effect of strand length," **Songklanakarin Journal of Science and Technology** 25 (2005): 1047-1055.
  53. C. J. R.Verbeek and W. W.Focke, "Modelling the Young's modulus of platelet reinforced thermoplastic sheet composites," **Composites Part A: Applied Science and Manufacturing** 33 (2002): 1697-1704.

ภาคผนวก

ภาคผนวก ก

องค์ประกอบและสมบัติของพลาสติกอีวีเอส

**ก-1 ข้อมูลสมบัติของพลาสติกเอปีโอดจากบริษัท ไออาร์พีซี จำกัด มหาชน**

ตารางที่ 17 แสดงสมบัติของพลาสติกเอปีโอดที่ใช้ในงานวิจัย จากบริษัท ไออาร์พีซี จำกัด มหาชน

เกรด	MFI g/10min	Impact strength (kg·cm/cm)	Tensile strength (kg/cm <sup>2</sup> )	Flexural strength (kg/cm <sup>2</sup> )	Flexural Modulus (x10 <sup>4</sup> kg/cm <sup>2</sup> )	Rockwell Hardness	HDT
GA300	30	22	480	670	2.3	112	86
MH1	18	26	530	700	2.3	116	86
SP200	17	36	420	570	2.05	109	84

**ก-2 ตัวอย่างการคำนวณหาองค์ประกอบโคไมโนเมอร์**

เอปีโอดเกรด HF-ABS จากการทดสอบด้วย Elemental analysis พบร่วมีปริมาณธาตุ ในไตรเจนทั้งหมด 5.00% ในตัวอย่าง 1.394 มิลลิกรัม

$$\text{คิดเป็นน้ำหนักธาตุในไตรเจน } 0.05 \times 1.395 = 0.0697 \text{ มิลลิกรัม}$$

$$\text{คิดเป็นจำนวนโมลจะได้ } \text{ โมลในไตรเจน} = \text{มวล} \div \text{มวลโมเลกุล}$$

$$\text{มวลโมเลกุลในไตรเจนเท่ากับ 14 } \text{ โมลในไตรเจน} = 0.0697 \div 14$$

$$= 0.00498 \text{ มิลลิโมล}$$

ใน 1 โมเลกุลของอะคิโลในไตรามีในไตรเจน 1 อะตอม ดังนั้น

$$\text{โมลอะคิโลในไตร} = \text{โมลในไตรเจน}$$

$$= 0.00498 \text{ มิลลิโมล}$$

มวลโมเลกุลอะคิโลในไตรเท่ากับ 53

$$\text{คิดเป็นน้ำหนักอะคิโลในไตร} = 0.00498 \times 53 = 0.26 \text{ มิลลิกรัม}$$

$$\text{คิดเป็น } (0.26/1.394) \times 100 = 18.9 \% \text{ โดยน้ำหนักเอปีโอด}$$

น้ำหนักที่เหลือของตัวอย่างเท่ากับ  $1.394 - 0.26 = 1.134$  มิลลิกรัม ซึ่งเป็นองค์ประกอบในส่วนของสไตรีนกับบิวตะไคอีน และจากการทดสอบด้วย H-NMR พบร่วมสัดส่วนโดยโมลของสไตรีนต่อบิวตะไคอีนของ HF-ABS เท่ากับ  $1 : 0.25$  คิดเป็นสัดส่วนโดยน้ำหนักโดยการคูณน้ำหนักโมเลกุล ( $\text{สไตรีน} = 104$ ,  $\text{บิวตะไคอีน} = 54$ ) จะได้

$$(1 \times 104) : (0.25 \times 54) = 104 : 13.5$$

ดังนั้น ปริมาณสไตรีนเท่ากับ  $\frac{104}{104+13.5} \times 1.134 = 1.00$  มิลลิกรัม  
 คิดเป็น 71.5 % โดยน้ำหนักของตัวอย่าง

ดังนั้นปริมาณบิวตะไดอีนจึงเท่ากับ 0.134 มิลลิกรัม

คิดเป็น 9.5 % โดยน้ำหนักของตัวอย่าง

ภาคผนวก ข

สมบัติการไฟฟ้า

**ข-1 ข้อมูลจากการทดสอบสมบัติการไหลด้วยเครื่อง Capillary die rheometer**

ตารางที่ 18 แสดงข้อมูลการไหลและการบวมตัวของ HF-ABS ที่อุณหภูมิต่างๆ

อัตราเครียดเดื่อน (sec <sup>-1</sup> )	180		190		200	
	องศาเซลเซียส	ความหนืด (Pa.s)	องศาเซลเซียส	ความหนืด (Pa.s)	องศาเซลเซียส	ความหนืด (Pa.s)
5	10982	-	6962	-	4025	-
10	8752	6.35	5605	4.76	3260	1.34
50	3619	14.67	2675	14.26	1964	7.32
100	2304	19.06	1758	15.65	1369	12.9
200	1431	20.01	1107	15.85	896	14
500	749	20.85	581	16.26	476	13.93
1000	441	19.85	351	16.55	285	14.32
1200	384	20.38	306	16.5	250	14.12
1500	328	20.75	259	16.13	213	13.7

ตารางที่ 19 แสดงข้อมูลการไขलและการบวมตัวของ MI-ABS ที่อุณหภูมิต่างๆ

อัตราเครียดเฉือน (sec <sup>-1</sup> )	180		190		200	
	องคากาเซลเซียส (Pa.s)	%Swell	องคากาเซลเซียส (Pa.s)	%Swell	องคากาเซลเซียส (Pa.s)	%Swell
5	16508	10.79	10107	0.03	6827	-
10	11210	8.82	8030	10.4	5515	2.04
50	4076	24.54	3251	16.33	2578	15.04
100	2557	23.58	2043	19.24	1650	17.89
200	1568	26.47	1254	20.97	1021	19.59
500	791	27.71	642	22.59	527	19.44
1000	475	29.41	376	23.59	313	20.18
1200	422	30.83	326	24.61	270	20.69
1500	-	-	278	26.56	228	21.36

ตารางที่ 20 แสดงข้อมูลการไขलและการบวมตัวของ SI-ABS ที่อุณหภูมิต่างๆ

อัตราเครียดเฉือน (sec <sup>-1</sup> )	180		190		200	
	องค่าเซลเซียส	ความหนืด (Pa.s)	องค่าเซลเซียส	ความหนืด (Pa.s)	องค่าเซลเซียส	ความหนืด (Pa.s)
5	16285	10.49	9510	5.38	6435	-
10	10833	12.19	7451	7.46	5210	1.16
50	4128	20.62	3208	17.74	2526	16
100	2637	23.99	2064	18.18	1661	16.23
200	1665	24.73	1303	20.1	1054	17.97
500	868	24.83	687	20.25	556	18.48
1000	517	23.94	416	20.69	337	20.48
1200	453	23.11	364	20.02	296	17.33
1500	392	23.87	315	19.92	255	17.94

ตารางที่ 21 แสดงข้อมูลการไหลและการบวมตัวของวัสดุคอมโพสิตของพงไม้กับ HF-ABS ที่การเติมพงไม้ 10 phr ที่อุณหภูมิต่างๆ

อัตราเครียดเนื้อน (sec <sup>-1</sup> )	180		190		200	
	คงคาเซลเซียส	คงคาเซลเซียส	คงคาเซลเซียส	คงคาเซลเซียส	คงคาเซลเซียส	คงคาเซลเซียส
	ความหนืด (Pa.s)	%Swell	ความหนืด (Pa.s)	%Swell	ความหนืด (Pa.s)	%Swell
<b>5</b>	12742	25.5	6700	12.44	4250	14.01
<b>10</b>	9786	31.93	5757	19.86	3615	17.27
<b>50</b>	3871	47.75	2815	34.2	2085	24.13
<b>100</b>	2410	49.45	1837	37.61	1439	32.29
<b>200</b>	1472	38.88	1144	46.13	926	36.88
<b>500</b>	757	17.59	590	54.55	489	41.82
<b>1000</b>	455	15.9	352	52.85	291	43.57
<b>1200</b>	400	13.19	312	24.91	255	29.34
<b>1500</b>	348	13.55	263	-	218	21.03

ตารางที่ 22 แสดงข้อมูลการไฟลและการบวมตัวของวัสดุคอมโพสิตของพงไม้กับ MI-ABS ที่การเติมพงไม้ 10 phr ที่อุณหภูมิต่างๆ

อัตราเครียดเนื่อง (sec <sup>-1</sup> )	180		190		200	
	คงคาเซลเซียส	คงคาเซลเซียส	คงคาเซลเซียส	คงคาเซลเซียส	คงคาเซลเซียส	คงคาเซลเซียส
	ความหนืด (Pa.s)	%Swell	ความหนืด (Pa.s)	%Swell	ความหนืด (Pa.s)	%Swell
<b>5</b>	19622	26.02	12607	16.31	7835	6.91
<b>10</b>	13557	35.45	9390	20.44	6041	15.51
<b>50</b>	4621	25.2	3651	37.31	2771	28.11
<b>100</b>	2814	16.98	2247	47.29	1775	31.87
<b>200</b>	1701	16.91	1348	50.91	1085	37.12
<b>500</b>	855	18.36	675	50.74	550	50.11
<b>1000</b>	501	18.38	392	37.93	328	42.22
<b>1200</b>	437	18.49	351	18.89	288	24.17
<b>1500</b>	381	19.74	-	-	246	17.78

ตารางที่ 23 แสดงข้อมูลการไฟลและการบวมตัวของวัสดุคอมโพสิตของพงไม้กับ SI-ABS ที่การเติมพงไม้ 10 phr ที่อุณหภูมิต่างๆ

อัตราเครียดเนื่อง (sec <sup>-1</sup> )	180		190		200	
	คงคาเซลเซียส	คงคาเซลเซียส	คงคาเซลเซียส	คงคาเซลเซียส	คงคาเซลเซียส	คงคาเซลเซียส
	ความหนืด (Pa.s)	%Swell	ความหนืด (Pa.s)	%Swell	ความหนืด (Pa.s)	%Swell
<b>5</b>	16990	24.39	10717	16.92	6522	10.83
<b>10</b>	12261	30.14	8158	19.67	4858	11.42
<b>50</b>	4418	49.68	3465	34.53	2482	22.17
<b>100</b>	2717	45.12	2191	44.17	1663	28.88
<b>200</b>	1656	35.49	1349	48.28	1052	32.81
<b>500</b>	861	24.45	682	49.68	540	40.02
<b>1000</b>	523	14.34	405	38.83	328	35.13
<b>1200</b>	461	14.06	359	13.02	288	21.79
<b>1500</b>	414	14.51	315	11.89	246	16.34

ตารางที่ 24 แสดงข้อมูลการไฟลและการบวมตัวของวัสดุคอมโพสิตของพงไม้กับ HF-ABS ที่การเติมพงไม้ 50 phr ที่อุณหภูมิต่างๆ

อัตราเครียดเนื่อง (sec <sup>-1</sup> )	180		190		200	
	คงคาเซลเซียส	คงคาเซลเซียส	คงคาเซลเซียส	คงคาเซลเซียส	คงคาเซลเซียส	คงคาเซลเซียส
	ความหนืด (Pa.s)	%Swell	ความหนืด (Pa.s)	%Swell	ความหนืด (Pa.s)	%Swell
<b>5</b>	16732	5.9	14820	8.41	6125	1.3
<b>10</b>	11257	5.54	10142	14.48	4770	1.25
<b>50</b>	4279	17.21	3987	18.55	2288	3.21
<b>100</b>	2656	24.62	2494	24.45	1474	5.36
<b>200</b>	1599	30.16	1516	29.2	946	6.59
<b>500</b>	795	35.7	759	35.03	503	13.08
<b>1000</b>	496	24.44	453	19.15	311	14.42
<b>1200</b>	444	17.15	409	13.91	285	22.86
<b>1500</b>	331	16.76	353	-	249	26.89

ตารางที่ 25 แสดงข้อมูลการไหลและการบวมตัวของวัสดุคอมโพสิตของพงไม้กับ MI-ABS ที่การเติมพงไม้ 50 phr ที่อุณหภูมิต่างๆ

อัตราเครียดเนื่อง (sec <sup>-1</sup> )	180		190		200	
	คงคาเซลเซียส	คงคาเซลเซียส	คงคาเซลเซียส	คงคาเซลเซียส	คงคาเซลเซียส	คงคาเซลเซียส
	ความหนืด (Pa.s)	%Swell	ความหนืด (Pa.s)	%Swell	ความหนืด (Pa.s)	%Swell
<b>5</b>	26771	10.63	19185	6.36	12722	1.04
<b>10</b>	16771	13.91	12571	9.83	8503	2.91
<b>50</b>	5373	24.53	4485	19.09	3344	7.73
<b>100</b>	3142	28.73	2711	21.95	2054	10.07
<b>200</b>	1823	34.15	1589	26.77	1208	15.41
<b>500</b>	885	43.16	782	32.58	595	36.46
<b>1000</b>	537	18.08	456	32.82	360	38.5
<b>1200</b>	475	12.34	406	13.91	321	29.15
<b>1500</b>	383	11.4	348	10.68	257	28.69

ตารางที่ 26 แสดงข้อมูลการไหลและการบวมตัวของวัสดุคอมโพสิตของพงไม้กับ SI-ABS ที่การเติมพงไม้ 50 phr ที่อุณหภูมิต่างๆ

อัตราเครียดเนื่อง (sec <sup>-1</sup> )	180		190		200	
	คงคาเซลเซียส	%Swell	คงคาเซลเซียส	%Swell	คงคาเซลเซียส	%Swell
<b>5</b>	25055	9.94	16357	2.63	10330	1.49
<b>10</b>	16141	12.49	11358	3.01	7353	2.04
<b>50</b>	5523	25	4508	10.4	3243	5.07
<b>100</b>	3230	33.51	2813	17.07	2077	8.95
<b>200</b>	1879	43.1	1692	23.23	1266	13.08
<b>500</b>	943	42.65	842	33.19	635	30.63
<b>1000</b>	582	24.44	498	40.87	388	32.77
<b>1200</b>	523	13.01	431	16.67	348	21.37
<b>1500</b>	435	10.94	341	18.28	299	28.66

### ข-2 ค่าคงที่จากสมการการไหลแบบต่างๆ

ตารางที่ 27 ค่าคงที่จากสมการการไหลแบบต่างๆของ HF-ABS ที่อุณหภูมิ 180 องศาเซลเซียส

สมการ	$\eta_0$	$\sigma_0$	$m$	$\lambda$	$n$	$R^2$
Cross-williamson	37554.87	-	-	0.311	0.25	0.9987
Power law	-	-	55860	-	0.32	0.9960
Carreau	20267	-	-	0.18	0.28	0.9993
Herschel-Bulkley	-	3.60E-13	73100	-	0.28	0.9944

ตารางที่ 28 ค่าคงที่จากสมการการไหลแบบต่างๆของ MI-ABS ที่อุณหภูมิ 180 องศาเซลเซียส

สมการ	$\eta_0$	$\sigma_0$	$M$	$\lambda$	$n$	$R^2$
Cross-williamson	46920	-	-	0.45	0.25	0.9986
Power law	-	-	53402	-	0.33	0.9980
Carreau	21126.64	-	-	0.2	0.29	0.9998
Herschel-Bulkley	-	162330	8326	-	0.52	0.9754

ตารางที่ 29 ค่าคงที่จากสมการการไหลแบบต่างๆของ SI-ABS ที่อุณหภูมิ 180 องศาเซลเซียส

สมการ	$\eta_0$	$\sigma_0$	$M$	$\lambda$	$n$	$R^2$
Cross-williamson	30331	-	-	0.25	0.26	0.9959
Power law	-	-	50755	-	0.35	0.9973
Carreau	20880.54	-	-	0.2	0.3	0.9980
Herschel-Bulkley	-	102353	33872	-	0.36	0.9851

ตารางที่ 30 ค่าคงที่จากสมการการไหลแบบต่างๆของ HF-ABS ที่อุณหภูมิ 190 องศาเซลเซียส

สมการ	$\eta_0$	$\sigma_0$	M	$\lambda$	n	$R^2$
Cross-williamson	11941	-	-	0.12	0.30	0.9886
Power law	-	-	22540	-	0.41	0.9860
Carreau	7346	-	-	0.08	0.33	0.9960
Herschel-Bulkley	-	137981	2546	-	0.66	0.9064

ตารางที่ 31 ค่าคงที่จากสมการการไหลแบบต่างๆของ MI-ABS ที่อุณหภูมิ 190 องศาเซลเซียส

สมการ	$\eta_0$	$\sigma_0$	M	$\lambda$	n	$R^2$
Cross-williamson	27546	-	-	0.36	0.30	0.9969
Power law	-	-	35308	-	0.36	0.9920
Carreau	11504.35	-	-	0.13	0.3	0.9996
Herschel-Bulkley	-	168361	2339	-	0.67	0.9265

ตารางที่ 32 ค่าคงที่จากสมการการไหลแบบต่างๆของ SI-ABS ที่อุณหภูมิ 190 องศาเซลเซียส

สมการ	$\eta_0$	$\sigma_0$	M	$\lambda$	n	$R^2$
Cross-williamson	16646	-	-	0.13	0.25	0.9989
Power law	-	-	30669	-	0.39	0.9920
Carreau	10532.19	-	-	0.12	0.34	0.9999
Herschel-Bulkley	-	168149	2282	-	0.70	0.9263

ตารางที่ 33 ค่าคงที่จากสมการการไหลแบบต่างๆของ HF-ABS ที่อุณหภูมิ 200 องศาเซลเซียส

สมการ	$\eta_0$	$\sigma_0$	M	$\lambda$	n	$R^2$
Cross-williamson	6921	-	-	0.08	0.32	0.9956
Power law	-	-	12132	-	0.48	0.9700
Carreau	4134	-	-	0.06	0.34	0.9986
Herschel-Bulkley	-	104598	2589	-	0.63	0.8600

ตารางที่ 34 ค่าคงที่จากสมการการไหลแบบต่างๆของ MI-ABS ที่อุณหภูมิ 200 องศาเซลเซียส

สมการ	$\eta_0$	$\sigma_0$	M	$\lambda$	n	$R^2$
Cross-williamson	11489	-	-	0.11	0.28	0.9966
Power law	-	-	23182	-	0.39	0.9860
Carreau	7208	-	-	0.08	0.3	0.9998
Herschel-Bulkley	-	130891	2380	-	0.65	0.9074

ตารางที่ 35 ค่าคงที่จากสมการการไหลแบบต่างๆของ SI-ABS ที่อุณหภูมิ 200 องศาเซลเซียส

สมการ	$\eta_0$	$\sigma_0$	M	$\lambda$	n	$R^2$
Cross-williamson	12402	-	-	0.12	0.26	0.9963
Power law	-	-	20511	-	0.42	0.9860
Carreau	6794	-	-	0.08	0.32	0.9985
Herschel-Bulkley	-	135733	1862	-	0.70	0.9012

ตารางที่ 36 ค่าคงที่จากสมการการไหลแบบต่างๆของวัสดุคอมโพสิตผงไม้กับ HF-ABS ทำการเติม

ผงไม้ 10 phr อุณหภูมิ 180 องศาเซลเซียส

สมการ	$\eta_0$	$\sigma_0$	M	$\lambda$	n	$R^2$
Cross-williamson	26187	-	-	0.21	0.25	0.9995
Power law	-	-	43107	-	0.35	0.9940
Carreau	14184	-	-	0.14	0.29	0.9995
Herschel-Bulkley	-	166315	9061	-	0.50	0.9443

ตารางที่ 37 ค่าคงที่จากสมการการไหลแบบต่างๆของวัสดุคอมโพสิตพงไม้กับ MI-ABS ที่การเติม พงไม้ 10 phr อุณหภูมิ 180 องศาเซลเซียส

สมการ	$\eta_0$	$\sigma_0$	M	$\lambda$	n	$R^2$
Cross-williamson	68290	-	-	0.67	0.25	0.9997
Power law	-	-	67621	-	0.30	0.9980
Carreau	27042	-	-	0.24	0.27	0.9999
Herschel-Bulkley	-	74758	55861	-	0.29	0.9854

ตารางที่ 38 ค่าคงที่จากสมการการไหลแบบต่างๆของวัสดุคอมโพสิตพงไม้กับ SI-ABS ที่การเติม พงไม้ 10 phr อุณหภูมิ 180 องศาเซลเซียส

สมการ	$\eta_0$	$\sigma_0$	M	$\lambda$	n	$R^2$
Cross-williamson	44783	-	-	0.39	0.25	0.9997
Power law	-	-	55783	-	0.33	0.9980
Carreau	22026	-	-	0.19	0.29	0.9999
Herschel-Bulkley	-	107802	29036	-	0.39	0.9745

ตารางที่ 39 ค่าคงที่จากสมการการไหลแบบต่างๆของวัสดุคอมโพสิตพงไม้กับ HF-ABS ที่การเติม พงไม้ 10 phr อุณหภูมิ 190 องศาเซลเซียส

สมการ	$\eta_0$	$\sigma_0$	M	$\lambda$	n	$R^2$
Cross-williamson	11150	--	-	0.09	0.28	0.9983
Power law	-	-	22672	-	0.41	0.9820
Carreau	6898	-	-	0.08	0.30	0.9989
Herschel-Bulkley	-	156096	1721	-	0.70	0.8753

ตารางที่ 40 ค่าคงที่จากสมการการไหลแบบต่างๆของวัสดุคอมโพสิตพงไม้กับ MI-ABS ที่การเติมพงไม้ 10 phr อุณหภูมิ 190 องศาเซลเซียส

สมการ	$\eta_0$	$\sigma_0$	M	$\lambda$	n	$R^2$
<b>Cross-williamson</b>	24923	-	-	0.19	0.22	0.9992
<b>Power law</b>	-	-	43402	-	0.33	0.9940
<b>Carreau</b>	15393	-	-	0.17	0.29	0.9993
<b>Herschel-Bulkley</b>	-	41757	50421	-	0.28	0.9715

ตารางที่ 41 ค่าคงที่จากสมการการไหลแบบต่างๆของวัสดุคอมโพสิตพงไม้กับ SI-ABS ที่การเติมพงไม้ 10 phr อุณหภูมิ 190 องศาเซลเซียส

สมการ	$\eta_0$	$\sigma_0$	M	$\lambda$	n	$R^2$
<b>Cross-williamson</b>	19901	-	-	0.15	0.23	0.9999
<b>Power law</b>	-	-	35932	-	0.37	0.9920
<b>Carreau</b>	11971	-	-	0.14	0.32	0.9999
<b>Herschel-Bulkley</b>	-	207373	765	-	0.83	0.9315

ตารางที่ 42 ค่าคงที่จากสมการการไหลแบบต่างๆของวัสดุคอมโพสิตพงไม้กับ HF-ABS ที่การเติมพงไม้ 10 phr อุณหภูมิ 200 องศาเซลเซียส

สมการ	$\eta_0$	$\sigma_0$	M	$\lambda$	n	$R^2$
<b>Cross-williamson</b>	7852	-	-	0.08	0.31	0.9946
<b>Power law</b>	-	-	13384	-	0.46	0.9710
<b>Carreau</b>	4305	-	-	0.04	0.33	0.9991
<b>Herschel-Bulkley</b>	-	111239	2457	-	0.64	0.8491

ตารางที่ 43 ค่าคงที่จากสมการการไหลแบบต่างๆของวัสดุคอมโพสิตพงไม้กับ MI-ABS ที่การเติมพงไม้ 10 phr อุณหภูมิ 200 องศาเซลเซียส

สมการ	$\eta_0$	$\sigma_0$	M	$\lambda$	n	$R^2$
<b>Cross-williamson</b>	20261	-	-	0.22	0.24	0.9964
<b>Power law</b>	-	-	26316	-	0.38	0.9890
<b>Carreau</b>	8328	-	-	0.09	0.28	0.9974
<b>Herschel-Bulkley</b>	-	10843	49163	-	0.27	0.9607

ตารางที่ 44 ค่าคงที่จากสมการการไหลแบบต่างๆของวัสดุคอมโพสิตพงไม้กับ SI-ABS ที่การเติมพงไม้ 10 phr อุณหภูมิ 200 องศาเซลเซียส

สมการ	$\eta_0$	$\sigma_0$	M	$\lambda$	n	$R^2$
<b>Cross-williamson</b>	9613	-	-	0.07	0.23	0.9968
<b>Power law</b>	-	-	20248	-	0.42	0.9850
<b>Carreau</b>	6927	-	-	0.09	0.32	0.9983
<b>Herschel-Bulkley</b>	-	151208	1054	-	0.76	0.9169

ตารางที่ 45 ค่าคงที่จากสมการการไหลแบบต่างๆของวัสดุคอมโพสิตพงไม้กับ HF-ABS ที่การเติมพงไม้ 50 phr อุณหภูมิ 180 องศาเซลเซียส

สมการ	$\eta_0$	$\sigma_0$	M	$\lambda$	n	$R^2$
<b>Cross-williamson</b>	37554.87	-	-	0.311	0.25	0.9987
<b>Power law</b>	-	-	55860	-	0.32	0.9960
<b>Carreau</b>	20267	-	-	0.18	0.28	0.9993
<b>Herschel-Bulkley</b>	-	3.60E-13	73100	-	0.28	0.9944

ตารางที่ 46 ค่าคงที่จากสมการการไหลแบบต่างๆของวัสดุคอมโพสิตพงไม้กับ MI-ABS ที่การเติมพงไม้ 50 phr อุณหภูมิ 180 องศาเซลเซียส

สมการ	$\eta_0$	$\sigma_0$	M	$\lambda$	n	$R^2$
<b>Cross-williamson</b>	94205	-	-	0.68	0.20	0.9996
<b>Power law</b>	-	-	93975	-	0.26	0.9970
<b>Carreau</b>	40157	-	-	0.30	0.24	0.9995
<b>Herschel-Bulkley</b>	-	267120	3411	-	0.63	0.9859

ตารางที่ 47 ค่าคงที่จากสมการการไหลแบบต่างๆของวัสดุคอมโพสิตพงไม้กับ SI-ABS ที่การเติมพงไม้ 50 phr อุณหภูมิ 180 องศาเซลเซียส

สมการ	$\eta_0$	$\sigma_0$	M	$\lambda$	n	$R^2$
<b>Cross-williamson</b>	99419	-	-	0.84	0.24	0.9998
<b>Power law</b>	-	-	84469	-	0.29	0.9990
<b>Carreau</b>	34673	-	-	0.24	0.26	0.9997
<b>Herschel-Bulkley</b>	-	301721	927	-	0.83	0.9792

ตารางที่ 48 ค่าคงที่จากสมการการไหลแบบต่างๆของวัสดุคอมโพสิตพงไม้กับ HF-ABS ที่การเติมพงไม้ 50 phr อุณหภูมิ 190 องศาเซลเซียส

สมการ	$\eta_0$	$\sigma_0$	M	$\lambda$	n	$R^2$
<b>Cross-williamson</b>	26493	-	-	0.18	0.22	0.9976
<b>Power law</b>	-	-	48517	-	0.33	0.9960
<b>Carreau</b>	17232	-	-	0.15	0.29	0.9995
<b>Herschel-Bulkley</b>	-	1.03E-13	42753	-	0.34	0.9964

ตารางที่ 49 ค่าคงที่จากสมการการไหลแบบต่างๆของวัสดุคอมโพสิตพงไม้กับ MI-ABS ที่การเติมพงไม้ 50 phr อุณหภูมิ 190 องศาเซลเซียส

สมการ	$\eta_0$	$\sigma_0$	M	$\lambda$	n	$R^2$
Cross-williamson	54269	-	-	0.43	0.22	0.9994
Power law	-	-	66451	-	0.29	0.9980
Carreau	25095	-	-	0.20	0.25	0.9998
Herschel-Bulkley	-	128193	28708	-	0.36	0.9853

ตารางที่ 50 ค่าคงที่จากสมการการไหลแบบต่างๆของวัสดุคอมโพสิตพงไม้กับ SI-ABS ที่การเติมพงไม้ 50 phr อุณหภูมิ 190 องศาเซลเซียส

สมการ	$\eta_0$	$\sigma_0$	M	$\lambda$	n	$R^2$
Cross-williamson	37558	-	-	0.28	0.25	0.9995
Power law	-	-	56644	-	0.32	0.9940
Carreau	22591	-	-	0.19	0.30	0.9989
Herschel-Bulkley	-	231441	3909	-	0.62	0.9619

ตารางที่ 51 ค่าคงที่จากสมการการไหลแบบต่างๆของวัสดุคอมโพสิตพงไม้กับ HF-ABS ที่การเติมพงไม้ 50 phr อุณหภูมิ 200 องศาเซลเซียส

สมการ	$\eta_0$	$\sigma_0$	M	$\lambda$	n	$R^2$
Cross-williamson	11725	-	-	0.17	0.35	0.9954
Power law	-	-	18589	-	0.42	0.9910
Carreau	6547	-	-	0.09	0.33	0.9997
Herschel-Bulkley	-	3.10E-15	15145	-	0.44	0.9865

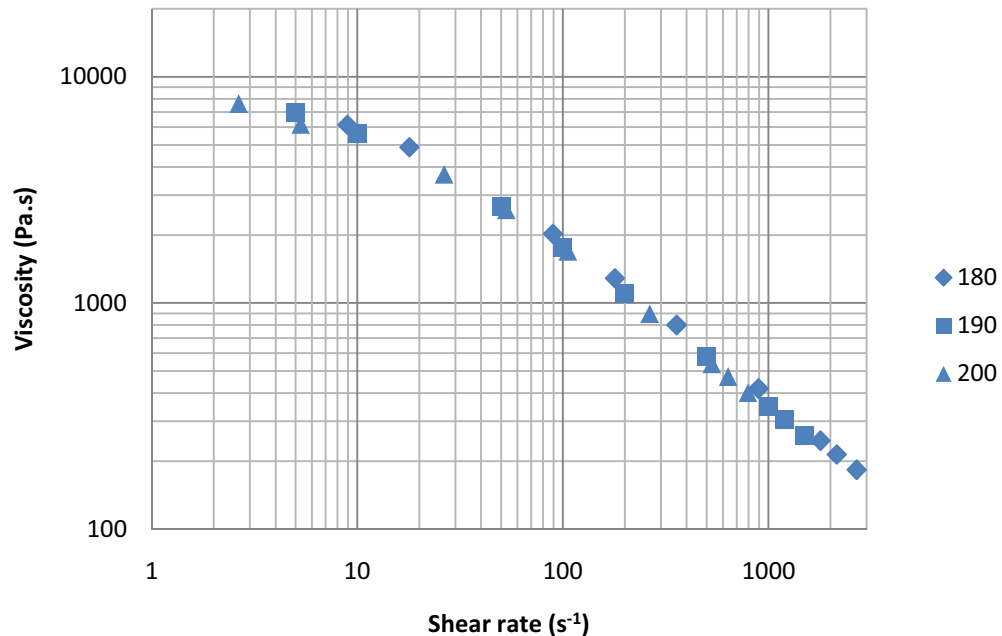
ตารางที่ 52 ค่าคงที่จากสมการการไหลแบบต่างๆของวัสดุคอมโพสิตพงไม้กับ MI-ABS ที่การเติมพงไม้ 50 phr อุณหภูมิ 200 องศาเซลเซียส

สมการ	$\eta_0$	$\sigma_0$	M	$\lambda$	n	$R^2$
<b>Cross-williamson</b>	37662	-	-	0.51	0.28	0.9993
<b>Power law</b>	-	-	43316	-	0.32	0.9960
<b>Carreau</b>	15520	-	-	0.17	0.28	0.9995
<b>Herschel-Bulkley</b>	-	189189	787	-	0.79	0.9670

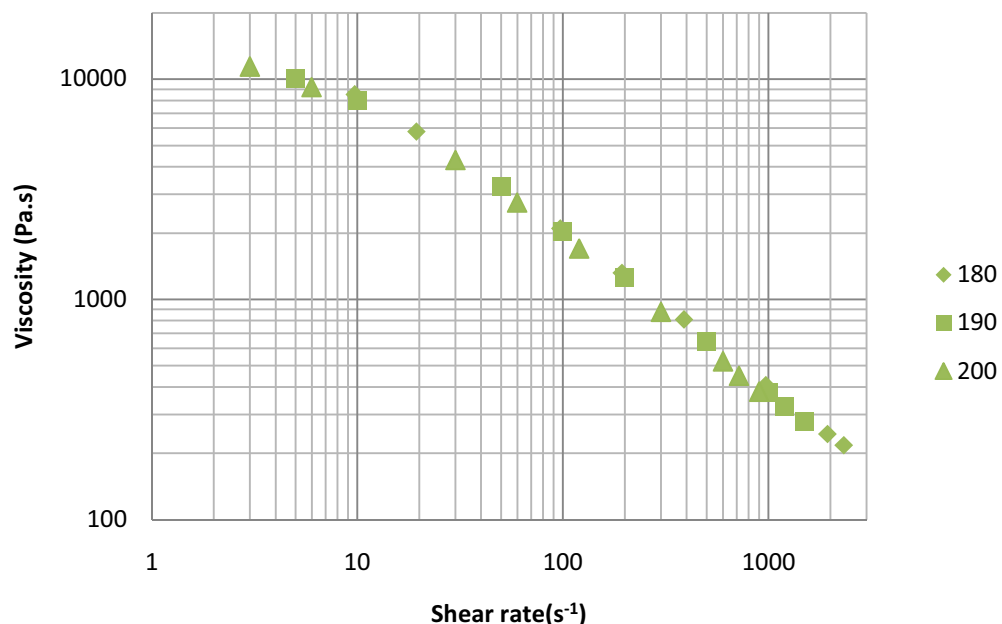
ตารางที่ 53 ค่าคงที่จากสมการการไหลแบบต่างๆของวัสดุคอมโพสิตพงไม้กับ SI-ABS ที่การเติมพงไม้ 50 phr อุณหภูมิ 200 องศาเซลเซียส

สมการ	$\eta_0$	$\sigma_0$	M	$\lambda$	n	$R^2$
<b>Cross-williamson</b>	20072	-	-	0.18	0.25	0.9988
<b>Power law</b>	-	-	33237	-	0.37	0.9930
<b>Carreau</b>	12216	-	-	0.16	0.32	0.9996
<b>Herschel-Bulkley</b>	-	202127	459	-	0.89	0.9448

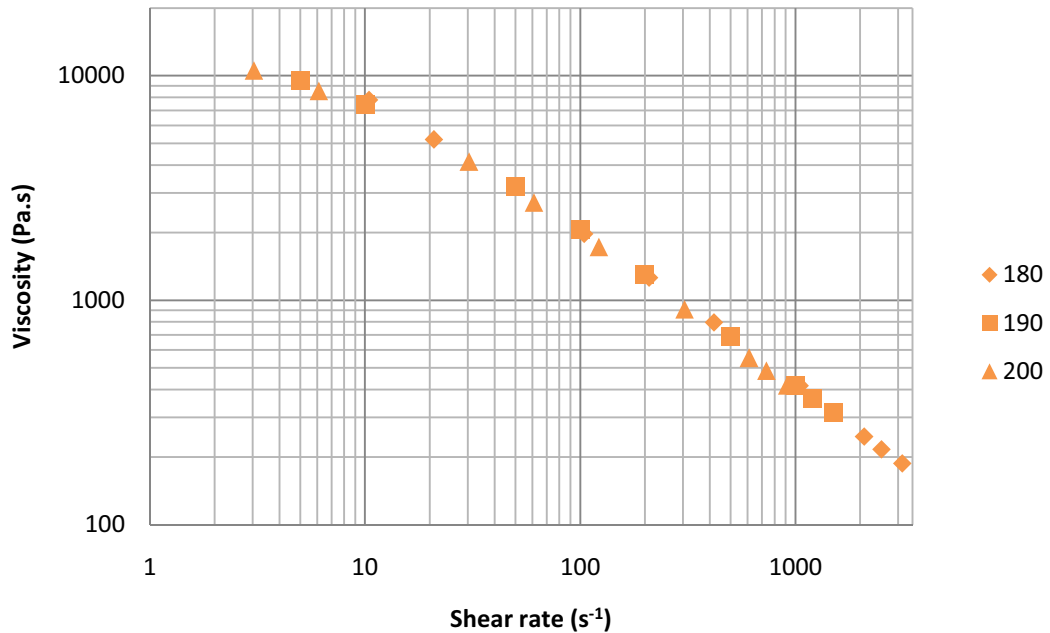
### ข-3 Master curve ของพลาสติกเอบีเอสและวัสดุคอมโพลิท



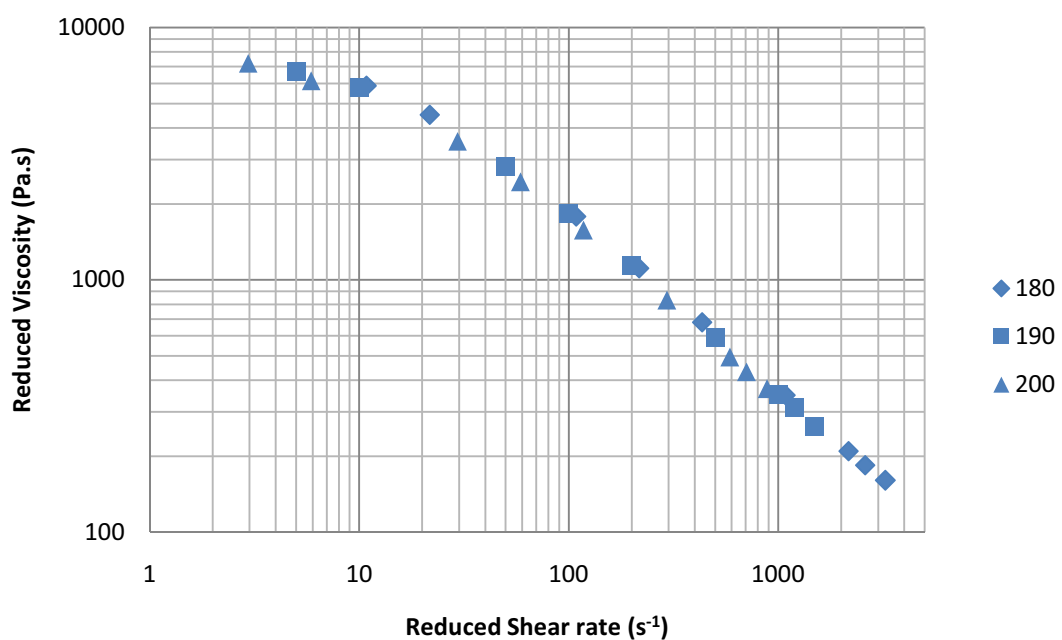
ภาพที่ 61 แสดง Master curve ของเอบีเอสเกรด HF-ABS ที่อุณหภูมิอ้างอิง 190 องศาเซลเซียส



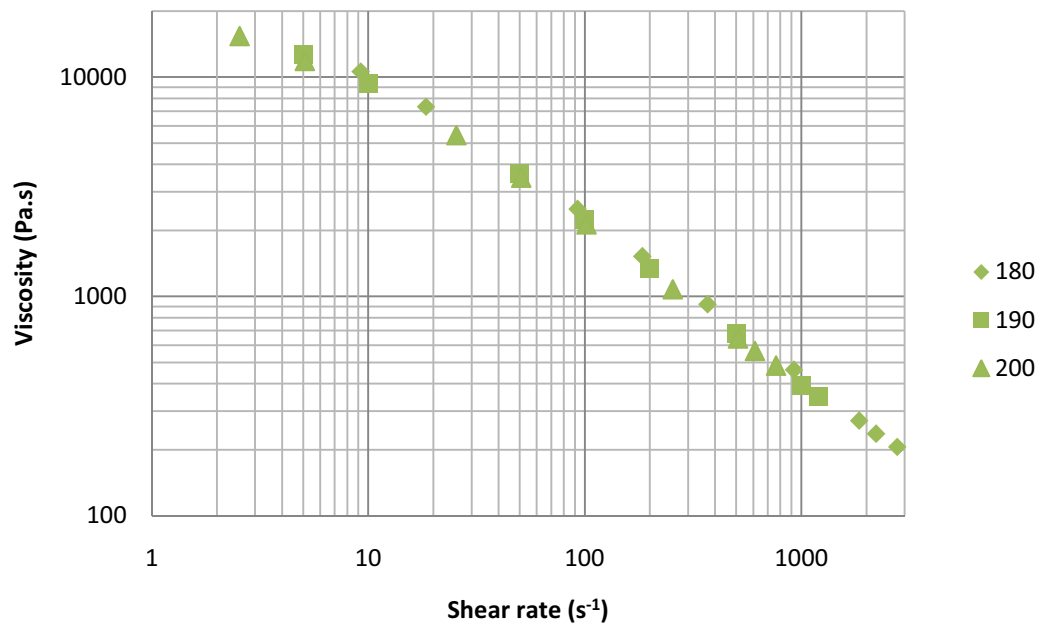
ภาพที่ 62 แสดง Master curve ของเอบีเอสเกรด MI-ABS ที่อุณหภูมิอ้างอิง 190 องศาเซลเซียส



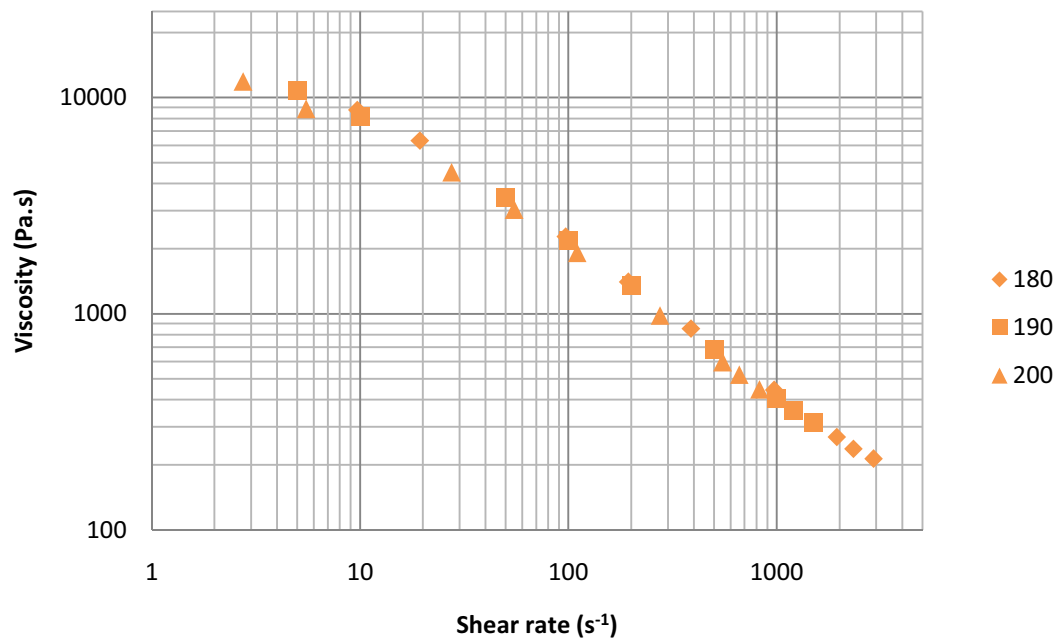
ภาพที่ 63 แสดง Master curve ของเอปีโอลิสเทอร์ SI-ABS ที่อุณหภูมิอ้างอิง 190 องศาเซลเซียส



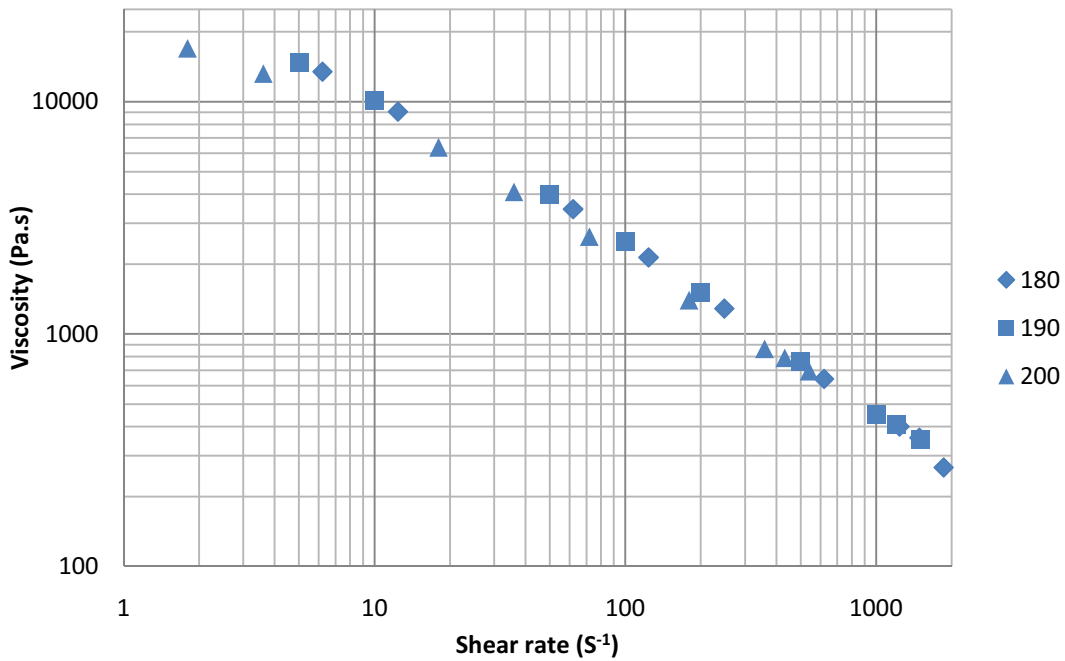
ภาพที่ 64 แสดง Master curve ของวัสดุคอมโพลิทพงไม้กับเอปีโอลิสเทอร์ HF-ABS ทำการเดินคงไม้ 10 phr และที่อุณหภูมิอ้างอิง 190 องศาเซลเซียส



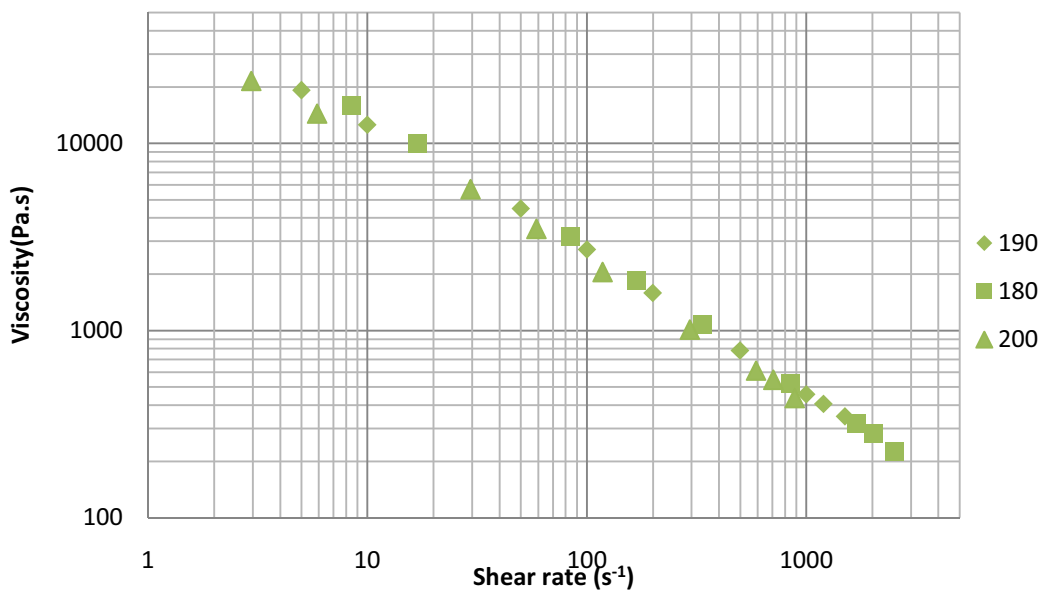
ภาพที่ 65 แสดง Master curve ของวัสดุคอมโพสิตพงไม้กับเอปิโอดีสเกรด MI-ABS ที่การเติมผงไม้ 10 phr และที่อุณหภูมิอ้างอิง 190 องศาเซลเซียส



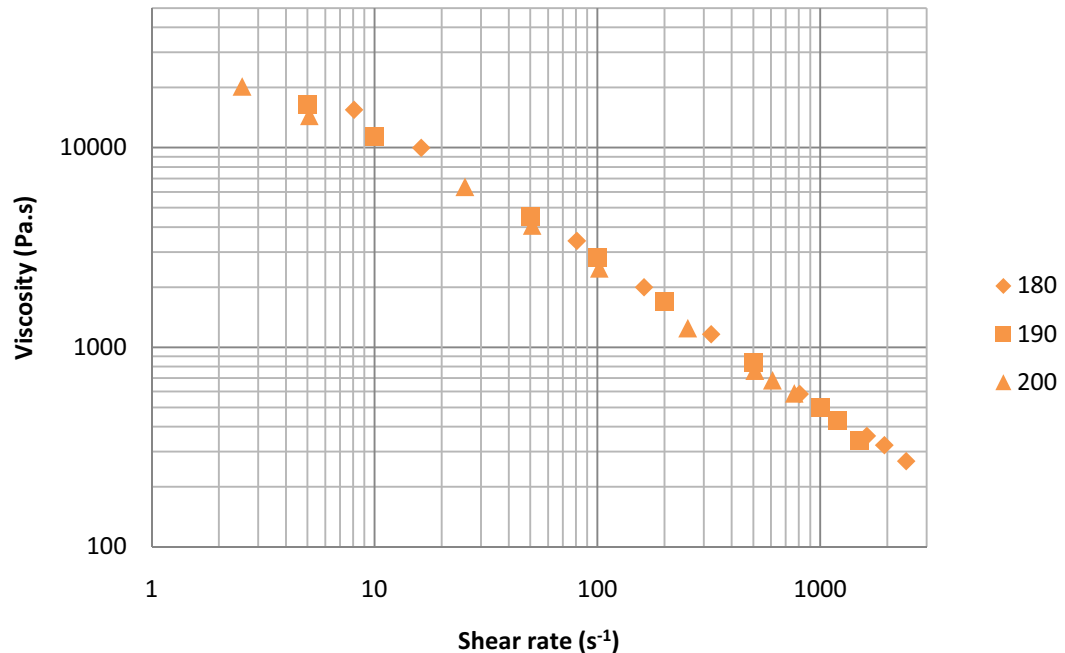
ภาพที่ 66 แสดง Master curve ของวัสดุคอมโพสิตพงไม้กับเอปิโอดีสเกรด SI-ABS ที่การเติมผงไม้ 10 phr และที่อุณหภูมิอ้างอิง 190 องศาเซลเซียส



ภาพที่ 67 แสดง Master curve ของวัสดุคอมโพสิตพงไม้กับเอบีเอสเกรด HF-ABS ที่การเติมพงไม้ 50 phr และที่อุณหภูมิอ้างอิง 190 องศาเซลเซียส



ภาพที่ 68 แสดง Master curve ของวัสดุคอมโพสิตพงไม้กับเอบีเอสเกรด MI-ABS ที่การเติมพงไม้ 50 phr และที่อุณหภูมิอ้างอิง 190 องศาเซลเซียส

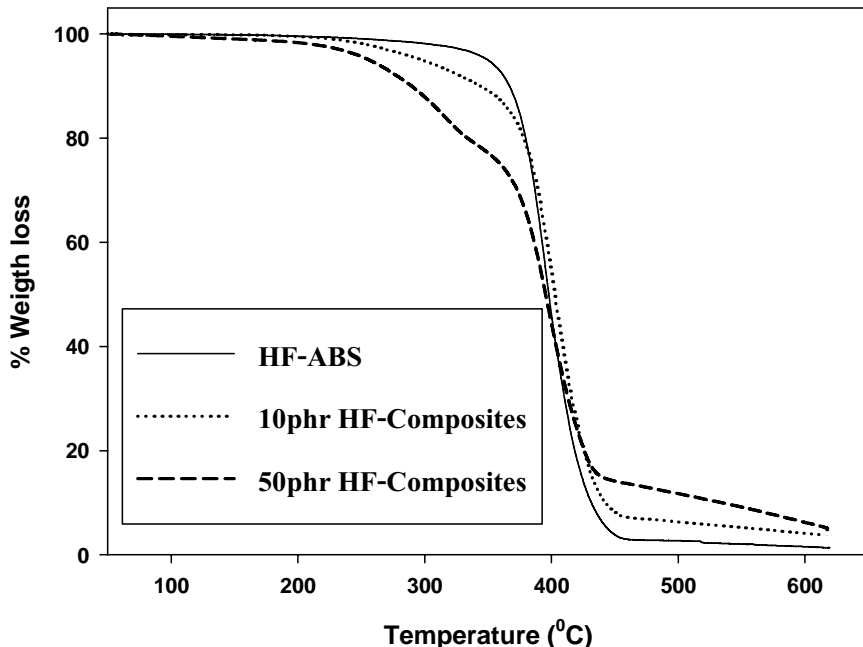


ภาพที่ 69 แสดง Master curve ของวัสดุคอมโพลิทพงไม้กับเอ็นเอสเกรด SI-ABS ทำการเติมพงไม้ 50 phr และที่อุณหภูมิอ้างอิง 190 องศาเซลเซียส

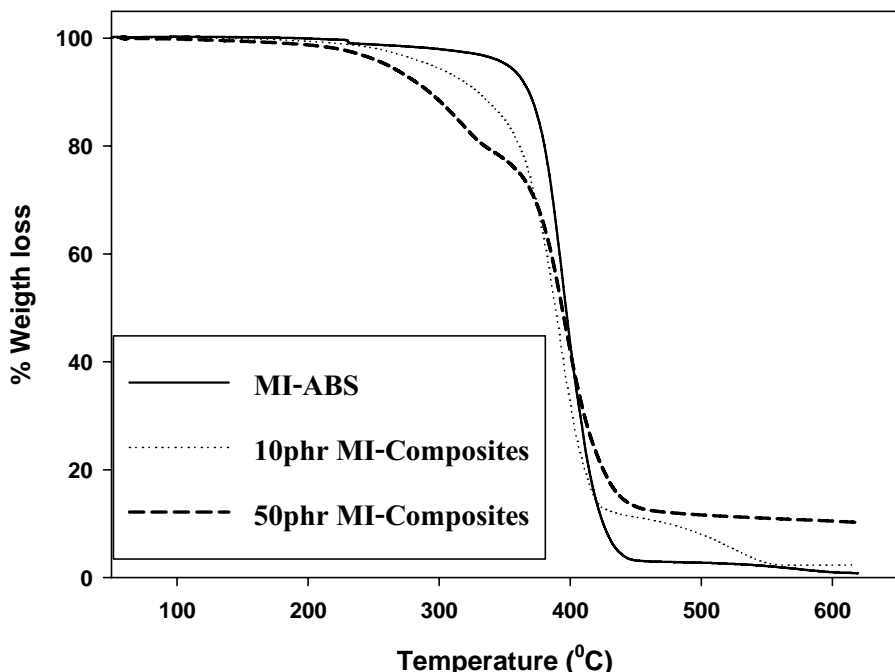
ภาคผนวก ก

สมบัติทางความรู้อน

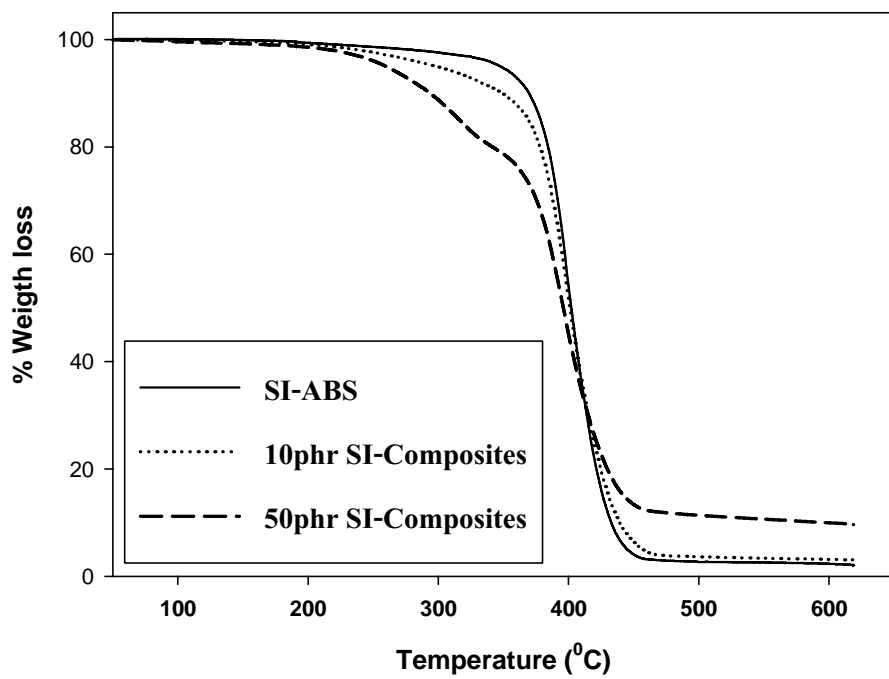
ค-1 ข้อมูลจากการทดสอบด้วย TGA



ภาพที่ 70 แสดงการสูญเสียน้ำหนักเนื่องจากความร้อนของตัวอย่างเกรด HF



ภาพที่ 71 แสดงการสูญเสียน้ำหนักเนื่องจากความร้อนของตัวอย่างเกรด MI



ภาพที่ 72 แสดงการสูญเสียน้ำหนักเนื่องจากความร้อนของตัวอย่างเกรด SI

ภาคผนวก ๔

สมบัติเชิงกล

### ๔-1 ข้อมูลสมบัติเชิงกลของวัสดุ

ตารางที่ 54 แสดงข้อมูลสมบัติเชิงกลของพลาสติกเอปีโอดิฟิลิก

<b>เอปีโอดิฟิลิก</b>	<b>Tensile strength (MPa)</b>	<b>Tensile Modulus (GPa)</b>	<b>% strain at break</b>	<b>Flexural Strength (MPa)</b>	<b>Flexural Modulus (GPa)</b>	<b>Impact Strength (kJ/m<sup>2</sup>)</b>
<b>HF</b>	42.1	1.39	22.5	68.9	2.27	27.2
	42.2	1.35	18.2	69.8	2.25	27.1
	43.1	1.37	22.1	67.8	2.48	26.8
	43.1	1.41	22.7	64.2	2.35	27.5
	43.4	1.30	21.4	68.3	2.38	27.0
<b>MI</b>	51.5	1.53	23.9	74.5	2.80	19.8
	51.9	1.52	15.7	73.6	2.77	18.4
	51.8	1.55	21.7	73.3	2.53	18.4
	51.5	1.53	17.5	69.1	2.66	20.3
	51.9	1.51	16.3	69.3	2.58	19.0
<b>SI</b>	41.9	1.38	28.5	58.9	2.09	39.2
	40.7	1.37	33.9	59.3	2.14	36.9
	41.5	1.41	31.4	58.7	2.15	36.4
	42.5	1.36	31.4	59.3	2.10	38.9
	42.1	1.42	27.5	58.4	2.08	38.3

ตารางที่ 55 แสดงข้อมูลสมบัติเชิงกลของคอมโพสิตที่การใช้สารกู้คืน 0.5% และผงไม้ 9.1%

<b>เอปีโอล</b>	<b>Tensile strength (MPa)</b>	<b>Tensile Modulus (GPa)</b>	<b>% strain at break</b>	<b>Flexural Strength (MPa)</b>	<b>Flexural Modulus (GPa)</b>	<b>Impact Strength (kJ/m<sup>2</sup>)</b>
<b>HF</b>	37.4	1.51	9.0	59.6	2.79	3.9
	38.9	1.51	6.7	59.4	2.64	3.8
	39.7	1.49	8.0	59.7	2.42	4.2
	39.5	1.55	5.6	59.4	2.54	4.0
	39.8	1.63	8.0	60.3	2.82	4.2
<b>MI</b>	44.7	1.69	8.5	66.3	2.77	3.6
	46.0	1.70	9.7	67.2	2.99	3.7
	46.5	1.68	6.9	66.3	2.98	3.4
	45.8	1.71	6.2	66.7	2.97	4.1
	46.1	1.69	6.9	65.9	3.02	3.6
<b>SI</b>	40.0	1.57	8.7	62.6	2.73	5.3
	41.3	1.55	12.1	62.4	2.65	5.5
	41.0	1.56	11.0	62.7	2.67	5.3
	42.3	1.54	11.5	62.7	2.80	5.5
	41.3	1.55	9.3	61.3	2.88	5.4

ตารางที่ 56 แสดงข้อมูลสมบัติเชิงกลของคอมโพสิตที่การใช้สารกู้คืน 0.5% และผงไม้ 33.3%

<b>เอปีโอล</b>	<b>Tensile strength (MPa)</b>	<b>Tensile Modulus (GPa)</b>	<b>% strain at break</b>	<b>Flexural Strength (MPa)</b>	<b>Flexural Modulus (GPa)</b>	<b>Impact Strength (kJ/m<sup>2</sup>)</b>
<b>HF</b>	37.5	1.56	4.6	63.8	4.16	2.3
	37.3	1.59	4.9	61.6	3.95	2.1
	38.5	1.55	4.3	62.5	4.10	2.4
	39.9	1.52	4.8	60.1	3.87	2.2
	38.3	1.59	4.7	62.4	3.86	2.2
<b>MI</b>	44.0	1.85	4.9	66.9	4.230	1.9
	43.5	1.80	4.8	67.1	4.20	1.9
	45.2	1.87	4.8	67.0	4.11	2.0
	43.7	1.79	5.5	69.7	4.06	1.8
	43.9	1.82	4.8	68.3	4.20	1.9
<b>SI</b>	41.2	1.63	5.2	64.3	3.53	2.6
	39.5	1.60	5.3	64.3	3.89	2.6
	40.5	1.59	5.2	66.1	3.89	2.6
	40.8	1.58	4.9	66.6	3.77	2.5
	39.9	1.61	5.5	65.4	3.53	2.4

### ประวัติผู้วิจัย

ชื่อ-สกุล

นายวัฒนา เทพปินดา

ที่อยู่

171 หมู่ 7 ต.บ้านเป้า อ.เมือง จ.ลำปาง รหัสไปรษณีย์ 52100

#### ประวัติการศึกษา

พ.ศ. 2549 สำเร็จการศึกษาปริญญาวิศวกรรมศาสตรบัณฑิต

สาขาวิชาปีโตรเคมีและวัสดุพอลิเมอร์

คณะวิศวกรรมศาสตร์และเทคโนโลยีอุตสาหกรรม

มหาวิทยาลัยศิลปากร

พ.ศ. 2550 ศึกษาต่อระดับปริญญาโทบัณฑิต

สาขาวิชาวิทยาการและวิศวกรรมพอลิเมอร์

บัณฑิตวิทยาลัย มหาวิทยาลัยศิลปากร

#### ผลงานวิจัย

- (1) P.Threepopnatkul, W.Teppinta and N.Sombatsompop, "Effect of Co-monomer Content on Mechanical Properties of Sawdust/Wood Composite", Paper Presented at The 4<sup>th</sup> China-Europe Symposium on Processing and Properties of reinforced Polymers, Guishan Hotel, China 8-12 June 2009.
- (2) P.Threepopnatkul, W.Teppinta and N.Sombatsompop, "Effect of Co-monomer Content on Rheological and Thermal Properties of Sawdust/ABS Composites", Paper Presented at International Conference on Functionalized and Sensing Materials 2009, Chulabhorn Research Institute, Bangkok, Thailand, 7-9 December 2009.